

OFICINA ESPAÑOLA DE PATENTES Y MARCAS

ESPAÑA



11) Número de publicación: 2 384 445

(51) Int. Cl.: C12N 15/50 (2006.01) C07K 14/165 (2006.01) C12N 7/00 (2006.01) A61K 39/215 (2006.01)

12 TRADUCCIÓN DE PATENTE EUROPEA

T3

- 96 Número de solicitud europea: 03738299 .1
- 96 Fecha de presentación: 01.07.2003
- 97 Número de publicación de la solicitud: 1525313
 97 Fecha de publicación de la solicitud: 27.04.2005
- (54) Título: PROTEÍNA SPIKE DE CORONAVIRUS RESPIRATORIO CANINO (CRCV), POLIMERASA Y HEMAGLUTININA / ESTERASA.
- 30 Prioridad: 27.07.2002 GB 0217434

73 Titular/es:

THE ROYAL VETERINARY COLLEGE UNIVERSITY OF LONDON, ROYAL COLLEGE STREET LONDON NW1 0TU, GB

- Fecha de publicación de la mención BOPI: **05.07.2012**
- (72) Inventor/es:

BROWNLIE, John; CHALKER, Victoria Jane y ERLES, Kerstin

- Fecha de la publicación del folleto de la patente: **05.07.2012**
- (74) Agente/Representante:

Urízar Anasagasti, José Antonio

ES 2 384 445 T3

Aviso: En el plazo de nueve meses a contar desde la fecha de publicación en el Boletín europeo de patentes, de la mención de concesión de la patente europea, cualquier persona podrá oponerse ante la Oficina Europea de Patentes a la patente concedida. La oposición deberá formularse por escrito y estar motivada; sólo se considerará como formulada una vez que se haya realizado el pago de la tasa de oposición (art. 99.1 del Convenio sobre concesión de Patentes Europeas).

Descripción

10

25

30

35

[0001] La presente invención se refiere a materia biológica, y en particular a un coronavirus respiratorio canino que esta presente en perros teniendo enfermedad respiratoria infecciosa.

[0002] La enfermedad respiratoria infecciosa canina (ERIC) es una enfermedad altamente contagiosa común en perros alojados en condiciones congestionadas tales como sitios de acogida y perreras de internado o entrenamiento. Muchos perros padecen únicamente una tos leve y se recuperan después de poco tiempo, sin embargo en algunos casos puede desarrolarse una bronconeumonia severa (Appel and Binn, 1987).

[0003] La patogénesis de ERIC esta considerada ser multifactorial, suponiendo varios virus y bacterias. Los agentes infecciosos considerados como los mayores patógenos causantes de ERIC son parainfluenzavirus caninos (PIVC) (Binn et al.,1967), adenovirus canino tipo 2 (CAV-2) (Ditchfield et al., 1962) y la bacteria Bordetella bronchiseptica (Bemis et al., 1977, Keil et al., 1998). También, virus de herpes canino, virus reo humano y especies de micoplasma han sido aisladas de perros con síntomas de ERIC (Karpas et al., 1968, Lou and Wenner 1963, Randolph et al., 1993) Factores adicionales como el estrés pueden ser importantes.

[0004] ERIC es raramente mortal pero retrasa la acogida de perros en sitios de rescate y causa trastorno de horarios en perreras de entrenamiento así como costes considerables de tratamiento.

15 [0005] Las vacunas están disponibles contra algunos de los agentes infecciosos asociados con la enfermedad, concretamente *Bordetella bronchiseptica* asi como CPIV y CAV-2. Sin embargo, a pesar del uso de estas vacunas, ERIC es todavía prevalente en perreras por todo el mundo, lo cual es posiblemente debido a las vacunas que no proporcionan protección contra todos lo agentes infecciosos involucrados en ERIC.

[0006] Hemos descubierto un coronavirus novedoso, que hemos llamado coronavirus respiratorio canino (CRCV), en una población grande de perros en perreras con un historial de enfermedad respiratoria endémica, y hemos mostrado que este virus está asociado con ERIC.

[0007] Se conoce que algunos miembros de la familia *coronaviridae* causan enfermedad respiratoria en humanos, ganado bovino, aves de corral y ganado porcino (Mäkelä *et al.*, 1998, Pensaert *et al.*, 1986, Ignjatovic and Sapats 2000). Por ejemplo, el coronavirus respiratorio bovino está asociado con la fiebre de embarque en ganado que es una enfermedad respiratoria multifactorial (Storz *et al.*, 2000).

[0008] Sin embargo, no se sospechaba que el coronavirus, tenía un papel en la patogénesis de ERIC. En efecto, con únicamente una excepción, los coronavirus han sido declarados ser virus entéricos y causar diarrea aguda principalmente en perros jóvenes (por ejemplo, Tennant *et al.*, 1993). En un gran estudio de virus involucrados en enfermedades respiratorias caninas, Binn *et al.* (1979) declaró la detección de un coronavirus canino en el pulmón de un solo perro que está también infectado de SV5 y adenovirus canino 2, otros dos virus que están asociados con enfermedad respiratoria canina.

[0009] Existen de 30-40 vacunas de perro comercialmente disponibles en el Reino Unido para usar contra un número de patógenos que pueden causar una gama de enfermedades, tales como enfermedades neurológicas, entéricas, hepáticas y respiratorias. La mayoria de las vacunas contienen agentes microbianos tales como el virus moquillo, el Adenovirus-2 Canino, parvovirus canino, virus parainfluenza canino y *Leptospira canicola* y *L. icterohaemorrhagiae*. Ninguna de estas vacunas contiene coronavirus caninos.

[0010] Las vacunas de perro para uso contra enfermedades respiratorias caninas son comercializadas como vacunas "tos de perrera" (ver abajo). Todas las vacunas contienen *Bordetella bronchisepticum*, que es una bacteria asociada con "tos de perrera".

[0011] Coyne M.J. & May S.W., (1995) en su articulo titulado "Considerations in using a canine coronavirus vaccine" (publicado como un Boletín Técnico de Pfizer en Internet http://www.pfizer.com/ah/vet/tref/trbull/ ccv.html), lista alrededor de 20 vacunas disponibles comercialmente contra bien coronavirus caninos solos o contra virus caninos juntos con otros organismos. Cada una de estas vacunas es para la enfermedad entérica canina, y no hay sugerencia de que un coronavirus canino puede estar asociado con la enfermedad respiratoria.

45 [0012] Las patentes Estadounidenses Nº 6,057,436 y 6,372,224, ambas a Miller et al y asignadas a Pfizer, Inc., describen el gen Spike del coronavirus canino entérico y usos para el mismo, incluyendo su uso como una vacuna contra la gastroenteritis. Ninguna de esas patentes sugiere que un coronavirus canino puede estar involucrado en ERIC. [0013] Miembros de la familia de *coronaviridae* son virus envueltos, de 80-160nm de diametro, conteniendo un genoma ARN lineal de cepa positiva. Las proteínas estructurales de coronavirus son la glucoproteína Spike (S), la glucoproteína de membrana (M) y la proteína nucleocápsida (N). La glucoproteína hemaglutinina/esterasa (HE) es hallada únicamente.

de membrana (M) y la proteína nucleocápsida (N). La glucoproteína hemaglutinina/esterasa (HE) es hallada únicamente sobre la superficie de coronavirus de grupo II (por ejemplo coronavirus bovino y virus de hepatitis de ratón) (Spaan et al, 1988). Más detalles de la estructura de coronavirus pueden ser encontrados en el capitulo por Cavanagh et al titulado "Coronviridae" p407-411, en "Virus Taxonomy, 6th Report of the International Committee on Taxonomy of Viruses", pub. Springer-Verlag Wein, New York, Eds. Murphy et al, que es incorporado aquí por referencia..

[0014] El coronavirus respiratorio canino (CRCV) de la invención puede estar caracterizado por un coronavirus presente en los tractos respiratorios de perros con enfermedad respiratoria infecciosa. Para caracterizar más CRCV, hemos determinado la secuencia de 250 residuos nucleótidos de la polimerasa de CRCV (pol) ADNc (Figura 1) lo cual corresponde a una secuencia parcial aminoácida 83 de la proteína de pol. (Figura 2). Hemos clonado también y determinado la secuencia de los 4092 residuos nucleótidos Spike CRCV (S) ADNc (Figura 3), correspondiendo a 1363

aminoácidos (Figura 4). También hemos determinado la secuencia de 497 residuos nucleótidos del gen de CRCV hemaglutinina/esterasa (HE) (Figura 13), correspondientes a 165 aminoácidos (Figura 14). Hemos identificado que el CRCV tiene una homología sorprendentemente inferior al coronavirus canino entérico (CCV) mientras que tiene un nivel inesperadamente elevado de homología con el coronavirus bovino (cepa LY138 o Quebec) y coronavirus humano (cepa OC43).

[0015] Un cultivo de "CRCV Spike D-1 ", que es XL1-Blue *E. coli* (Stratagene) conteniendo un plásmido pT7Blue2 (Novagen) cuyo inserto contiene una porción del ADNc Spike de CRCV, ha sido depositada bajo el Tratado de Budapest en NCIMB Ltd bajo el número de Registro NCIMB 41146 el 25 de Julio de 2002. El depositante de NCIMB 41146 es el Royal Veterinary College, Royal College Street, London NW1 OTU, UK. La dirección de NCIMB Ltd es 23 St. Machar Drive, Aberdeen, Scotland, AB24 3RY, UK.

[0016] La relación filogenética del CRCV con once conocidos coronavirus fue determinada basada sobre una comparación de la secuencia de 250 nucleótidos del gen pol de CRCV y las regiónes correspondientes de los otros virus (Figura 5). El coronavirus bovino (BCV), cepa OC43 del coronavirus humano (HCV) y virus de encefalomielitis hemoglutinante (HEV) fueron hallados estar más cercanamente relacionados al CRCV, mientras que el CCV entérico fue hallado estar únicamente lejanamente relacionado con el CRCV.

[0017] Alrededor de los 250 residuos secuenciados del ADNc de pol, correspondientes a 83 aminoácidos, el CRCV únicamente tiene el 68.5% y el 75.9% de indentidad secuencial en los niveles de aminoácidos y nucleótidos, respectivamente, con la región equivalente del CCV entérico (cepa 1-71) gen pol (Genbank Nº Registro. AF124986), como se muestra en las Figuras 6 y 7.

10 **[0018]** Alrededor de 4092 residuos nucleótidos secuenciados del gen de S CRCV, corresponden a 1363 aminoácidos, el CRCV tiene el 45% y el 21.2% de identidad de secuencia en el nucleótido (Figura 8) y niveles de aminoácido, respectivamente, con la región equivalente del gen de S de CCV entérico (cepa 1-71).

5

45

60

específicos de proteína HE de CRCV.

se muestra en las Figuras 9 y 10.

[0019] El CCV no es un coronavirus de grupo II y no posee un gen HE, de ahí que no es posible determinar la extensión de la identidad de la secuencia entre este gen en CRCV y en el CCV entérico.

- [0020] Excepto como se describe abajo, la identidad de porcentaje entre dos secuencias nucleótidas o dos secuencias aminoácidas estaba determinada usando la version 34 de FASTA (Pearson WR. (1990) "Rapid and sensitive sequence comparison with FASTP and FASTA". Methods Enzymol.;183:63-98). Las caracteristicas FASTA eran Penalización de apertura de Gap -16 y Penalización de extensión de Gap -4.
- [0021] La identidad porcentual entre el CRCV y las secuencias Spike de CCV entéricas fue determinada usando la version 10 de GCG (Genetics Computer Group, (1991), Program Manual for the GCG Package, Version 7, April 1991, 575 Science Drive, Madison, Wisconsin, USA 53711). Los parámetros de GCG usados fueron: penalización de creación de Gap 50, penalización de extensión de Gap 3 para ADN, y Penalización de creación de Gap 8 y Penalización de extensión de Gap 2 para Proteína. Alineaciones de secuencia fueron realizadas usando ClustalX (Thompson *et al.*, 1997).
- [0022] Para contrastar, sobre 350 residuos secuenciados del ADNc pol, CRCV tiene 98.8% de identidad de secuencia con la región equivalente del gen pol Quebec de la cepa de BCV (Genbank Accession No. AF220295), 98.4% de identidad de secuencia con el gen pol LY138 de la cepa BCV (Genbank Accession No. AF124985) y 98.4% de la identidad de la secuencia con el gen pol OC43 de HCV (Genbank Accession No. AF124989).
- [0023] Existe únicamente una diferencia de aminoácidos entre la proteína pol. de CRCV sobre los 83 aminoácidos secuenciados y las proteínas pol. de BCV, HCV y HEV que es que el CRCV tiene E (Glu) al contrario que D (Asp) en la posición correspondiente a la posición 4975 en el genoma de BCV (Accession No. SWALL: Q91A29). Así la proteína pol de CRCV es 99% idéntica a las proteínas pol. de BCV, HCV y HEV por esta región.
 - [0024] Los códigos de aminoácidos de una y tres letras de la IUPAC-IUB Biochemical Nomenclature Commission son usados aquí.
- 35 [0025] Sobre los 497 residuos nucleótidos secuenciados, correspondientes a 165 aminoácidos, del gen HE, el CRCV tiene 98.994% y 98.2% de identidad de secuencia con la región equivalente del gen HE LY138 de cepa de BCV (Genbank Accession No. AF058942) en los niveles aminoácidos y nucleótidos respectivamente. El CRCV tiene 98.189% (nucleótido) y el 98.2% (aminoácido) de identidad de secuencia con el gen HE coronavirus entérico humano (HECV) (Genbank Accession No. L07747); 97.4% (nucleótido) y 95.2% (aminoácido) identidad de secuencia con el gen HE OC43 de HCV (Genbank Accession No. M76373); y 92.0% (nucleótido) y 93.9% (aminoácido) identidad con HEV (Genbank Accession Nos. AF481863), como se muestra en las Figuras 15 y 16.
 - [0026] Como se muestra en las Figuras 16 y la Tabla 3, los tres aminoácidos que son diferentes entre la proteína HE de CRCV y cada una de las proteínas S de BCV, HECV, HCV y HEV, con 165 aminoácidos de la proteína HE de CRCV, son F (Phe) al contrario que L (Leu), N (Asn) al contrario que T (Thr), y L (Leu) al contrario que V (Val) en las posiciones correspondientes a las posiciones 235, 242 y 253, respectivamente, en los genes HE de BCV, HECV, HCV OC43 y HEV (Figura 16). Asi F en posición 235, N en la posición 242 y L en la posición 253 podrían ser dicho aminoácidos
- [0027] Sobre 4092 residuos nucleótidos secuenciados, correspondientes a 1363 aminoácidos, del gen S de CRCV, el CRCV tiene 97.3% y 96% de identidad con la región equivalente de la cepa LY138 de BCV (Genbank Accession No. AF058942) en los niveles de nucleótidos y aminoácidos respectivamente. El CRCV tiene 96.9% (nucleótido) y 95.2% (aminoácido) de identidad con OC43 de cepa HCV (Genbank Accession No. Z32768), y el 83.8% (nucleótido) y el 80.4% (aminoácido) de identidad con HEV (Genbank Accession Nos. AF481863 (ADNc) y AAM 77000 (proteína)) como
- [0028] Los aminoácidos que son diferentes entre la proteína S de CRCV y cada una de las proteínas S de BCV, HCV y

 55 HEV, dentro de los 1363 aminoácidos de la proteína S de CRCV, están listados en la Tabla 1 abajo. Así los
 aminoácidos listados en la Tabla 1 podría ser didecirse que son aminoácidos especificos de proteína S de CRCV. Los
 aminoácidos están enumerados desde el residuo inicial M al comienzo de la proteína CRCV, como se muesra en la
 Figura 4.

Tabla 1: Lista de 39 aminoácidos especificos a la proteína S de CRCV que no están presentes en las proteínas S de BCV, HCV y HEV.

Posición	Aminoácido	Posición	Aminoácido
103	V	692	G
118	V	695	S
166	D	757	W
171	M	758	G
179	K	763	Q
192	P	769	T
210	S	786	Р

235	Н	792	Н
267	F	818	R
407	M	828	V
436	S	887	F
440	1	933	D
447	1	977	F
501	F	1011	T
525	Υ	1018	S
528	N	1063	K
540	L	1256	L
582	K	1257	M
608	G		

RESUMEN DE LA INVENCIÓN

5

10

15

35

45

50

[0029] La invención proporciona una composición de vacuna para vacunar perros. La composición comprende un coronavirus respiratorio canino (CRCV) lo cual comprende una proteína Spike (S) teniendo la secuencia aminoácida listada en la Figura 4, o una proteína S coronaviral teniendo al menos 97% de identidad aminoácida con la secuencia aminoácida de la Fig. 4, o un fragmento inmunogénico de la Fig. 4 de al menos 200 aminoácidos en extensión, o un ácido nucleico que codifica dicha proteína S coronaviral o dicho fragmento inmunogénico de la Fig. 4. La proteína S coronaviral en la composición de vacuna puede tener al menos el 98% de identidad o al menos 99% de identidad con la secuencia aminoácida de la Fig. 4. La proteína S coronaviral en la composición de la vacuna puede ser una proteína aislada o recombinante. La composición de la vacuna puede también comprender un adyuvante aceptable farmacéuticamente.

[0030] La composicón de la vacuna puede además comprender cualquiera o más de un agente capaz de aumentar una respuesta inmune en un perro contra el virus parainfluenza canino, un agente capaz de aumentar una respuesta inmune en un perro contra el adenovirus tipo 2 canino, un agente capaz de aumentar una respuesta inmune en un perro contra virus de herpes canino, y un agente capaz de aumentar una respuesta inmune en un perro contra Bordetella bronchiseptica.

[0031] La invención también proporciona una proteína S de coronavirus teniendo al menos 97% de identidad de secuencia aminoácida con la secuencia listada en la Figura 4 para usar en medicina. La proteína S de coronavirus puede ser una proteína aislada o recombinante.

20 [0032] La invención además proporciona el uso de un coronavirus teniendo una proteína S con al menos 90% de identidad aminoácida con la secuencia aminoácida de la Fig. 4 o una proteína S coronaviral teniendo al menos 90% de identidad aminoácida con la secuencia aminoácida de la Fig. 4, o un fragmento inmunogénico de la misma, o un ácido nucleico que codifica dicha proteína S coronaviral de la misma, en la preparación de un medicamento para estimular una respuesta inmune contra coronavirus respiratorio canino en un perro o en la preparación de un medicamento para profilaxis de enfermedad respiratoria en un perro. El coronavirus puede comprender una proteína S teniendo al menos 95% de identidad aminoácida con la secuencia aminoácida de la Fig. 4 o puede comprende una proteína S teniendo la secuencia aminoácida de SEC ID Nº:4. La proteína S coronaviral puede tener al menos 95% o al menos 97% de identidad aminoácida con la secuencia aminoácida de la Fig. 4. La proteína S coronaviral puede comprender al menos una de los aminoácidos especificos para la proteína S de CRCV en las posiciones listadas en la Tabla 1. La proteína S coronaviral puede ser una proteína aislada o recombinante.

[0033] La invención proporciona una composición de vacuna para vacunar perros comprendiendo un coronavirus respiratorio canino teniendo una proteína S con la secuencia aminoácida de la Figura 4, o una proteína S de coronavirus teniendo al menos 97% de identidad aminoácida de la proteína S de CRCV, o un fragmento inmunogénico de la Fig. 4 de al menos 200 aminoácidos en longitud, o ácido nucleica que codifica dicha proteína coronaviral o dicho fragmento inmunogénico de la Fig. 4.

[0034] Preferentemente, la vacuna es envasada y presentada para uso en perros.

[0035] Modificaciones de proteínas tipicamente incluyen sustituciones de aminoácido para mejorar la antigenicidad de la vacuna. Las proteínas de BCV, HCV y HEV pueden ser modificadas para ser más como una proteína CRCV. Por ejemplo, la proteína Spike de BCV, HCV o HEV puede ser modificada para incluir un aminoácido CRCV en cualquiera de las diferencias mostradas en la comparación en la Figura 10, o listada en la Tabla 1.

[0036] Las proteínas en las cuales uno o más de los residuos de aminoácidos son químicamente modificados, pueden ser usadas siempre que la función de la proteína, concretamente la producción de los anticuerpos especificos in vivo, permanezca sustancialmente inalterada. Se aprecia que las proteínas sintetizadas pueden ser adecuadamente modificadas antes o después de su sintetizado. Tales modificaciones incluyen formar sales con ácidos o bases, especialmente ácidos orgánicos u inorgánicos fisiológicamente aceptables, formando un éster o amida de un grupo carboxilo terminal, y uniendo grupos protectores de aminoácido tales como N-t-butóxicarbonilo. Tales modificaciones pueden proteger el péptido de metabolismo *in vivo*.

[0037] La proteína puede estar presente como copias solas o multiples, por ejemplo repeticiones en tandem. Tal tandem o repeticiones multiples puede ser suficientemente antigenico en si mismos para obviar el uso de un portador. Puede ser ventajoso para la proteína el ser formada como un bucle, con los extremos N-terminal y C-terminal unidos juntos, o al añadir uno o más residuos Cys a un extremo para incrementar antigenicidad y/o permitir puentes disulfuro a ser formados. Si la proteína es covalentemente vinculada a un portador, preferentemente un polipéptido, entonces el ajuste es preferiblemente tal que la proteína de la invención forma un bucle.

[0038] De acuerdo a teorías inmunológicas actuales, debería estar presente una función portadora en cualquiera de las formulaciones inmunogénicas con el fin de estimular, o mejorar la estimulación del, sistema inmune. Se piensa que los mejores portadores incorporan (o, junto con el antígeno, crean) un epitopo de célula T. Los péptidos pueden ser

asociados, por ejemplo por medio de reticulación, con un portador separado, tal como albúminas de suero, mioglobina, toxoides bacterianos y hemocianina de lapa californiana. Portadores más recientemente desarrollados que inducen ayuda de célula T en la respuesta inmune incluyen antígeno básico de hepatitis B (también llamado proteína nucleocápsida), supuestos epítopos de célula T tales como Thr-Ala-Ser-Gly-Val- Ala-Glu-Thr-Thr-Asn-Cys, betagalactosidasa y el péptido 163-171 de interleucina-1. El último compuesto puede ser considerado a veces como portador y a veces como adyuvante o como ambos. Alternativamente, varias copias de las mismas o diferenes proteínas de la invención pueden ser reticuladas entre sí; en esta situación no hay portador separado como tal, pero una función portadora puede estar proporcionada por tal reticulación. Agentes de reticulación adecuados incluyen aquellos listados como tales en los catalogos Sigma y Pierce, por ejemplo glutaraldehido, carbodiimida y succinimidil 4-(N-maleimidometil) carboxilato-1- ciclohexano, el último agente aprovechando el grupo SH en el residuo de cisteina C-terminal (si esta presente).

[0039] Si la proteína esta preparada por expresión de una secuencia nucleótida adecuada en un huésped adecuado, entonces puede ser ventajoso expresarla como un producto de fusión con una secuencia péptida que actua como un portador. El sistema "ECOSOC" de Kabigen es un ejemplo de tal disposición.

15 **[0040]** Se aprecia que el componente de coronavirus de la vacuna puede estar vinculado a otros antígenos para proporcionar un efecto dual.

[0041] La proteína S de coronavirus en la composición de la vacuna es una proteína S CRCV o de tipo CRCV como aquí se define, o un fragmento inmunogénico de la secuencia listada en la Figura 4, de al menos 200 aminoácidos en longitud.

- [0042] La composición de vacuna contiene una proteína S CRCV que comprende o consiste en la secuencia aminoácida listada en la Figura 4, o una variante inmunogénica de la misma teniendo al menos 97% de identidad con la secuencia listada en la Figura 4. Preferentemente, la variante tiene al menos 98%, o al menos 99% de la secuencia aminoácida con la secuencia listada en la Figura 4. Más preferentemente la variante tiene al menos 99.1 %, o al menos 99.2%, o al menos 99.3%, o al menos 99.4%, o al menos 99.5%, o al menos 99.6%, o al menos 99.7%, o al menos 99.8%, o al menos 99.9% de identidad de secuencia aminoácida con la secuencia listada en la Figura 4.
 - [0043] En otra realización preferente, la composición de la vacuna comprende un CRCV.

[0044] En una realización preferente, el virus es un virus inactivo. Métodos para inactivar virus para uso en vacunas son bien conocidos en la técnica. Métodos adecuados incluyen métodos quimicos, tales como betapropiolactona (BPL). Vacunas de coronavirus bovinos inactivos pueden incluir BCV inactiva que es un compontente de vacunas bovinas tales

- como "Rotovec Corona" de Schering-Plough (http://www.ukvet.co.uk/rotovec/scour.htm); "Lactovac" por Hoechst Roussel Vet Ltd, (Veterinary Formulary 5th Edition del Veterinary Data Sheet Compendium); "First Defense" por Immuncell Corp, USA; "Scour Bos 4" por Grand Laboraotries y "Scour Guard 3K" por Pfizer.
 - [0045] En una realización alternativa, el virus es un virus atenuado. Los métodos para atenuar virus para uso en vacunas son bien conocidos en la técnica.
- 35 **[0046]** Preferentemente, la composición de vacuna también comprende un adyuvante farmaceuticamente aceptable.

[0047] Preferentemente, cuando la vacuna comprende un ácido nucleico, el ácido nucleico codificando la proteína corona viral o o dicho fragmento inmunogénico para usar como una vacuna es un polinucleótido S de CRCV o de tipo CRCV. Más preferentemente, el ácido nucleico comprende o consiste de la secuencia nucleótida listada en la Figura 3 o Figura 13, o fragmentos de la misma.

- [0048] Para uso de vacuna, el ácido nucleico S de CRCV o de tipo CRCV puede ser proporcionado en varios vectores replicantes (por ejemplo vacuna de adenovirus recombinante) o no replicantes (vacuna de ADN).
 - [0049] En una realización preferente, la vacuna puede contener proteína S recombinante de CRCV o de tipo CRCV, asi como también otras proteínas coronavirus inmunogénicas tales como la proteína HE.
- [0050] Como se ha tratado arriba, se conoce que varios agentes virales y bacterianos son sabidos están asociados con enfermedad respiratoria en perros, incluyendo virus parainfluenza canino (CPIV), adenovirus canino de tipo 2 (CAV-2), herpesvirus canino (CHV), y *Bordetella bronchiseptica* (*B. bronchiseptica*).

[0051] En otra realización preferente, la vacuna puede contener proteína S recombinante de CRCV o de tipo CRCV, asi como también otros organismos patogénicos involucrados en enfermedad respiratoria de perros tal como parainfluenzavirus canino, adenovirus canino de tipo 2, la bacteria *Bordetella bronchiseptica*, herpesvirus canino,

- reovirus humano y especies de micopasma, o proteínas inmunogénicas de ellos. De este modo la vacuna puede contener un agente capaz de aumentar una respuesta inmune, tal como la producción de anticuerpos contra CRCV, asi como contra otros organismos patogénicos involucrados en enfermedad respiratoria de perros tal como CPIV, CAV-2, *B bronchiseptica* y CHV.
- [0052] En una realización, además de contener un agente capaz de estimular la producción de anticuerpos contra la proteína S CRCV, la composición de la vacuna además comprende uno o más cualesquiera de:
 - (a) un agente capaz de aumentar una respuesta inmune en un perro contra CPIV;
 - (b) un agente capaz de aumentar una respuesta inmune en un perro contra CAV-2;
 - (c) un agente capaz de aumentar una respuesta inmune en un perro contra CHV; y

60

65

(d) un agente capaz de aumentar una respuesta inmune en un perro contra B. bronchiseptica.

[0053] De este modo la composición de la vacuna puede comprender opcionalmente cualesquiera dos, o tres o todos los cuatro de estos agentes adicionales (a), (b), (c) y (d).

[0054] Tipicamente, un agente capaz de aumentar una respuesta inmune en un perro contra CPIV comprende CPIV inactivo o atenuado, o un fragmento inmunogénico del mismo, o un ácido nucleico codificando dicho fragmento inmunogénico.

[0055] Tipicamente, un agente capaz de aumentar una respuesta inmune en un perro contra CAV-2 comprende CAV-2 inactivo o atenuado, o un fragmento inmunogénico del mismo, o un ácido nucleico codificando dicho fragmento inmunogénico.

[0056] Adenovirus canino de tipo 1 causa hepatitis infecciosa; adenovirus canino de tipo 2 causa enfermedad respiratoria. Se ha demostrado que CAV-1 proporciona protección cruzada contra CAV-2 y viceversa. El agente que

aumenta una respueste inmune en un perro contra CAV-2 puede por tanto contener bien CAV-1 o CAV-2, o un fragmento inmunogénico de los mismos. Las vacunas listadas abajo contienen CAV-2 excepto EURICAN DHPPi, que no especifica el tipo de virus usado.

[0057] Agentes adecuados que aumentan una respuesta inmune en un perro contra CPIV y CAV-2 son conocidos para una persona experta en la técnica. Por ejemplo, las siguientes vacunas de perro están permitidas en el Reino Unido.

[0058] KAVAK DA2PiP69 por Fort Dodge Animal Health es una vacuna liofilizada seca viva conteniendo cepas atenuadas de virus de moquillo, adenovirus canino de tipo 2, parainfluenza canina de tipo 2 y parvovirus canino criado en cultivo de tejido.

[0059] KAVAK Parainfluenza por Fort Dodge Animal Health contiene vacuna liofilizada viva de una cepa atenuada de virus parainfluenza canino de tipo 2 cultivado en una linea celular homóloga establecida.

[0060] NOBIVAC DHPPi por Intervet UK Limited es una vacuna de virus liofilizado atenuado conteniendo virus de moquillo, adenovirus canino de tipo 2, parvovirus canino y virus parainfluenza canino criado en cultivo de tejido de linea celular.

[0061] NOBIVACKCby IntervetUKLimited es una vacuna liofilizada viva conteniendo B-C2 de cepa Bordetella bronchiseptica y cepa Cornell de virus parainfluenza canino (esto es, una vacuna intranasal). Management authorisation number Vm 06376/4026.

[0062] EURICANDHPPi por Merial Animal Health Ltd. es una vacuna liofilizada viva contra moquillo, hepatitis canina infecciosa, parvovirus canino y virus parainfluenza canino de tipo 2.

[0063] VANGUARD 7 por Pfizer Ltd. contiene virus de moquillo atenuado vivo (Snyder Hill strain), adenovirus (CAV-2 20 cepa Manhattan), virus parainfluenza (cepa NL-CPI-5), parvovirus canino (NL-35-D) propagado en una linea celular establecida, y un cultivo inactivo de Leptospira canicola y Leptospire icterohaemorrhagiae.

[0064] QUANTUM DOG 7 por Schering-Plough Animal Health contiene moquillo, adenovirus de tipo 2, parvovirus, vacuna de virus parainfluenza de tipo 2 (viva) y vacuna Leptospira canicola y Leptospira icterohaemorrhagiae activo.

[0065] CANIGEN DHPPi por Virbac Ltd. es una vacuna de virus atenuado liofilizado conteniendo virus de moquillo, adenovirus canino (CAV2), parvovirus canino y virus parainfluenza canino cultivado en cultivo de tejido de linea celular. [0066] CANIGEN Ppi por Virbac Ltd. es una vacuna de virus liofilizado vivo atenuado, conteniendo parvovirus canino y virus parainfluenza canino cultivado en cultivo de tejido de linea celular. Tipicamente, un agente capaz de aumentar la

respuesta inmune en un perro contra CHV comprende CHV atenuado o inactivo, o un fragmento inmunogénico de los mismos, o un ácido nucleico codificando dicho fragmento inmunogénico.

30

5

10

15

25

45

[0067] Agentes adecuados que aumentan una respuesta inmune en un perro contra CHV son conocidos para una persona con conocimiento en la técnica. Por ejemplo EURICAN Herpes 205 por Merial es una vacuna subunidad purificada contra herpesvirus canino que es indicada para la inmunización activa de hembras preñadas para prevenir la mortalidad, signos y lesiones clinicas en cachorros resultantes de infecciones de herpesvirus canino adquiridos en los primeros dias de vida. No esta licenciada para la vacunación de perros adultos para prevención de enfermedad 35 respiratoria.

[0068] Tipicamente, una agente capaz de aumentar una respuesta inmune en un perro contra B. bronchiseptica comprende B.bronchiseptica inactivo o atenuado, o un fragmento inmunogénico del mismo, o un ácido nucleico codificando dicho fragmento inmunogénico.

[0069] Agentes adecuados que aumentan una respuesta inmune en un perro contra B. bronchiseptica son conocidos 40 para una persona entendida en la materia. Por ejemplo, las siguientes vacunas de perro son permitidas para uso.

[0070] COUG14GUARD-B® por Pfizer Animal Health (U.S. Vet. Lic. No.: 189) contiene un cultivo de B. bronchiseptica inactivo. Es para la inmunización de perros saludables contra enfermedad causada por B. bronchiseptica, en particular tos de perrera. COUGHGUARD-B® es preparada de una cepa de B. bronchiseptica altamente antigénica que ha sido inactivada y procesada para no ser tóxica cuando se administre a perros. Se informa que el método de producción deja intactas las propiedades inmunogénicas de B. bronchiseptica.

[0071] VANGUARD® 5/B por Pfizer Animal Health (U. S. Vet. Lic. No.: 189) contiene cepas atenuadas de virus de moquillo (CDV), CAV-2, CPIV, y parvovirus canino (CPV) propagado en una linea celular canina establecida. El antígeno de CPV fue atenuada por paso bajo en la linea celular canina y en ese nivel de paso tiene propiedades inmunogénicas capaces de anular anticuerpos maternos. La vacuna es envasada en forma liofilizada con gas inerte en

- 50 lugar en vacio. El componente bacteriano conteniendo cultivos enteros inactivos de B. bronchiseptica es suministrado como diluyente. El componente B. bronchiseptica en VANGUARDS® 5/B es preparado de una cepa altamente antigénica que ha sido inactivada y procesada para no ser tóxica cuando se administre a perros. NASAGUARO-B™ por Pfizer Animal Health (U.S. Vet. Lic. No.: 112) está compuesta de un cultivo vivo avirulento de B. broonchiseptica bacteria
- 55 [0072] PROGARD®-KC por Intervet es una vacuna intranasal viva modificada conteniendo virus parainfluenza canino atenuado y cultivo vivo avirulento de Bordetella bronchiseptica. PROGARD®-KC es presentado en forma disecada con diluyente estéril proporcionado para reconstitución. PROGARD®-KC es para vacunación de cachorros y perros saludables susceptibles para prevención de traqueobronquitis infecciosa canina ("tos de perrera") debido a virus parainfluenza canino y B. bronchiseptica.
- 60 [0073] PROGARD®-KC PLUS por Intervet contiene cultivo vivo de cepas avirulentas de a B bronchiseptica, adenovirus canino atenuado de tipo 2 y virus parainfluenza para administración intranasal. La vacunación con PROGARD®-KC Plus estimula inmunidad rápida local en el tracto respiratorio, inhibiendo de este modo la infección al puerto de entrada asi como previniendo signos clinicos. Además de para inmunidad local, también estimula inmunidad sistematica dentro de las tres semanas de administración intranasal. El pequeño volumen (0.4 ml) y la aplicación por una fosa nasal
- 65 PROGARD®-KC Plus proporciona facilidad en la vacunación, particularmente en razas pequeñas y cachorros jóvenes. PROGARD®-KC Plus es presentada en forma desecada con diluyente estéril proporcionado para reconstitución. PROGARD®-KC PLUS es para vacunación de perros saludables y cachorros de tres semanas de edad o mayores para prevención de traqueobronquitis infecciosa canina ("tos de perrera") debida a adenovirus canino de tipo 2, virus parainfluenza y B. bronchiseptica.
- 70 [0074] Intrac por Intervet es una vacuna viva liofilizada, conteniendo cepa de B. bronchiseptica S 55, para

administración intranasal. Número de licencia de producto PL 0201/4011

[0075] Nobivac KC, descrito arriba, también contiene B. bronchiseptica.

5

10

15

20

35

40

55

[0076] La vacunación seria útil especialmente pero no exclusivamente para perros antes de entrar a una perrera de internado o para la vacunación de perros en instalaciones de reproducción.

[0077] Una dosis tipica de una vacuna compuesta de proteína recombinante es alrededor de 5-10 µg. Una dosis tipica de una vacuna compuesta de virus inactivo es alrededor de 1-10 mg.

[0078] La invención proporciona el uso de (i) un coronavirus teniendo una proteína S con al menos 90% de identidad aminoácida con la proteína S CRCV, o un fragmento de la misma, o un ácido nucleico codificando dicha proteína S coronaviral o fragmento inmunogénico de la misma, o un ácido nucleico codificando dicha proteína S coronaviral o fragmento inmunogénico de la misma, en la preparación de un medicamento para estimular una respuesta inmune contra CRCV en un perro.

[0079] La invención incluye el uso de (i) un coronavirus teniendo una proteína S con al menos 90% de identidad aminoácida con la proteína S CRCV o un fragmento inmunogénico de la misma, o un ácido nucleico codificando dicha proteína coronaviral o fragmento inmunogénico de la misma, en la preparación de un medicamento para profilaxis de enfermedad respiratoria en un perro, tipicamente ERIC.

[0080] Cuando una proteína coronavirus, o un fragmento inmunogénico de la misma, es usado en la preparación del medicamento, la proteína preferentemente tiene al menos 90%, o al menos 95% de identidad aminoácida con la porción correspondiente de la proteína S de CRCV.

[0081] Preferentemente, la proteína coronaviral usada en la preparación del medicamento es una proteína CRCV, o una modificación de la misma, como se describe aquí.

[0082] La proteína coronaviral usada en la preparación del medicamento comprende una proteína S CRCV O de tipo CRCV como se define aquí o un fragmento inmunogénico de la misma.

[0083] Más preferentemente, la proteína coronaviral usada en la preparación del medicamento comprende o consiste de la secuencia aminoácida listada en la Figura 4, o una variante inmunogénica de la misma teniendo al menos 97% deidentidad con la secuencia listada en la Figura 4. Preferentemente, la variante tiene al menos 98%, o al menos 99% de secuencia aminoácida con la secuencia listada en la Figura 4. Más preferentemente la variante tiene al menos 99.1%, o al menos 99.2%, o al menos 99.3%, o al menos 99.4%, o al menos 99.5%, o al menos 99.6%, o al menos 99.7%, o al menos 99.8%, o al menos 99.9% de identidad de secuencia aminoácida con la secuencia listada en la Figura 4.

[0084] Cuando un coronavirus es usado en la preparación de un medicamento, el coronavirus comprende una proteína S con al menos 90%, o al menos 95% de identidad aminoácida con la proteína S CRCV.

[0085] Adicionalmente el coronavirus puede comprender una proteína HE con al menos 90%, o al menos 95% de identidad aminoácida con la proteína HE de BCV. Más preferentemente el coronavirus comprende una proteína HE con al menos 96%, o al menos 97%, o al menos 98%, o al menos 99% de identidad aminoácida con la proteína HE de CRCV.

[0086] La invención también proporciona una proteína S CRCV o de tipo CRCV teniendo al menos 97% de identidad de secuencia con la secuencia listada en la Figura 4 para uso en medicina. Tipicamente, la proteína S será usada en medicina veterinaria.

[0087] Tipicamente, la vacuna sera apropiada para la administración por vias intramusculares, subcutáneas o intranasales.

[0088] La proteína S coronavirus, o fragmento de la misma, en el medicamento puede tener al menos 90% de identidad de secuencia aminoácida con la proteína S CRCV cuya secuencia aminoácida es listada en la Figura 4, y teniendo al menos uno de V en la posición 103; V en la posición 118; D en la posición 166; M en la posición 171; K en la posición 179; P en la posición 192; S en la posición 210; H at posición 235; F en la posición 267; F en la posición 388; M en la posición 407; S e

posición 407; S en la posición 436; I en la posición 440; I en la posición 447; F en la posición 501; Y en la posición 525; N en la posición 528; L en la posición 540; K en la posición 582; G en la posición 608; G en la posición 692; S en la posición 695; W en la posición 757; G en la posición 758; Q en la posición 763; T en la posición 769; P en la posición 786; H en la posición 792; R en la posición 818; P en la posición 827; V en la posición 828; F en la posición 887; D en la posición 933; F en la posición 977; T en la posición 1011; S en la posición 1018; K en la posición 1063; L en la posición

1256; y M en la posición 1257. Los aminoácidos están enumerado a partir de la M inicial al principio de la proteína S CRCV, como listado en la Figura 4.

[0089] Se aprecia que la secuencia parcial nucleótida de S CRCV puede estar fácilmente determinada por una persona con conocimiento normal en la técnica al secuenciar la inserción del plásmido contenido en la cepa de E. coli D-1 de CRCV, que ha sido depositada bajo el Tratado de Budapest en NCIMB Ltd. bajo número de Registro NCIMB 41146 en 25 Julio 2002. Además, este ADN puede ser usado como una sonda de hibridización, o como la base para el diseño de sondas, en el aislamiento de ácido nucleico de CRCV en perros.

[0090] Para evitar toda duda, el medicamento puede incluir proteína S coronavirus, o framgmento de la misma, teniendo al menos 90% de identidad de secuencia aminoácida con la proteína S de CRCV de la Fig. 4, y comprendiendo al menos uno de los aminoácidos especificos para la proteína S CRCV en la posición listada en la Tabla 1.

[0091] Por "proteína" también incluimos el significado de glucoproteína. La secuencia aminoácida de una glucoproteína se refiere a la secuencia aminoácida del eje de polipéptido de la glucoproteína, independientemente del tipo, número, secuencia y posición de los azúcares unidos a ésta.

[0092] Tipicamente, la invención incluye una proteína aislada o recombinante, y no una proteína CRCV inalterada presente como un componente CRCV.

[0093] El medicamento puede incluir una proteína S coronavirus, o fragmento de la misma, teniendo al menos 91% de identidad de secuencia aminoácida con la proteína S de CRCV de la Fig. 4), al menos 92%, o al menos 93%, o al menos 94%, o al menos 95%, o al menos 96%, o al menos el 97%, o al menos 98%, o al menos 99% de identidad de secuencia aminoácida con la proteína S CRCV, y comprendiendo al menos uno de los aminoácidos especificos para la proteína S CRCV en la posición listada en la Tabla 1.

70 [0094] El medicamento puede también incluir una proteína S coronavirus, o fragmento de la misma, teniendo al menos

90% o al menos 95% de identidad de secuencia aminoácida con la proteína S CRCV de la Fig. 4), y comprendiendo al menos 2, o al menos 3, o al menos 4, o al menos 5, o al menos 6, o al menos 7, o al menos 8, o al menos 9, o al menos 10, o al menos 11, o al menos 12, o al menos 13, o al menos 14, o al menos 15, o al menos 16, o al menos 17, o al menos 18, o al menos 19, o al menos 20, o al menos 21, o al menos 22, o al menos 23, o al menos 24, o al menos 25, o al menos 26, o al menos 27, o al menos 28, o al menos 29, o al menos 30, o al menos 31, o al menos 32, o al menos 33, o al menos 34, o al menos 35, o al menos 36, o al menos 37, o al menos 38 de los aminoácidos específicos para la proteína S CRCV en las posiciones listadas en la Tabla 1.

5

15

[0095] Preferentemente, la proteína S coronavirus, o fragmento del mismo que comprende todos los 39 de los residuos aminoácidos específicos para la proteína S CRCV en las posiciones listadas en la Tabla 1.

- 10 **[0096]** El medicamento puede incluir una proteína S BCV, HCV o HEV o fragmento de la misma, que ha sido modificado en al menos una posición listado en la Tabla 1 para parecerse a la proteína S CRCV.
 - [0097] Preferentemente, la proteína S coronavirus usada en la invención es una proteína S CRCV que comprende o consiste de la secuencia listada en la Figura 4), o una variante de la misma con al menos 97% de identidad con la secuencia listada en la Figura 4. Preferentemente, la variante tiene al menos 98%, o al menos 99% de la identidad de secuencia aminoácida con la secuencia listada en la Figura 4. Más preferentemente la variante tiene al menos 99.1%, o al menos 99.2%, o al menos 99.3%, o al menos 99.4%, o al menos 99.5%, o al menos 99.6%, o al menos 99.7%, o al menos 99.9% de identidad de secuencia aminoácida con la secuencia listada en la Figura 4.
- [0098] Así la variante de la proteína S coronavirus usada en la invención incluye una proteína que comprende o consiste en la secuencia listada en la Figura 4) pero tiene entre 1 y 40 diferencias aminoácidas con la secuencia listada en la Figura 4. Más preferentemente la variante tiene menos de 35, menos de 30, o menos de 25, o menos de 20, o menos de 15, o 10 o 9 o 8 o 7 o 6 o 5 o 4 o 3 o 2 diferencias aminoácidas, o una sola diferencia aminoácida, con la secuencia listada en la Figura 4.
 - [0099] El fragmento de la proteína S CRCV puede comprender un fragmento de la secuencia listada en la Figura 4) que comprende al menos uno de los aminoácidos especificos para la proteína S CRCV en la posición listada en la Tabla 1.
- 25 **[0100]** Las proteínas S coronavirus como definidas arriba pueden estar calificados aquí proteínas "CRCV" o "de tipo CRCV".
 - **[0101]** Una "proteína S CRCV" es una proteína S o fragmento de la misma que tiene la secuencia aminoácida S CRCV nativa como listada en la Figura 4), o un fragmento de la misma que comprende al menos uno de los aminoácidos específicos para una proteína S CRCV en las posiciones listadas en la Tabla 1.
- 30 **[0102]** Una "proteína S de tipo CRCV " es una proteína S o fragmento de la misma que no tiene secuencia aminoácida idéntica a la secuencia aminoácida S CRCV nativa (Figura 4), pero tiene al menos 90% de la identidad de la secuencia con la correspondiente región de la proteína S CRCV, y preferentemente tiene al menos uno de los aminoácidos especificos para una proteína S CRCV en las posiciones listadas en la Tabla 1.
- [0103] Una "proteína S de tipo CRCV " también incluye una proteína S que no tiene una secuencia aminoácida idéntica a la secuencia aminoácida S CRCV nativa S (Figura 4), pero comprende o consiste de una variante de la secuencia listada en la Figura 4 con al menos 97% de identidad con la secuencia listada en la Figura 4. Preferentemente, la variante tiene al menos 98%, o al menos 99% de identidad de la secuencia aminoácida con la secuencia listada en la Figura 4. Más preferentemente la variante tiene al menos 99.1%, o al menos 99.2%, o al menos 99.3%, o al menos 99.3%, o al menos 99.9% de la identidad de secuencia aminoácida con la secuencia listada en la Figura 4.
 - **[0104]** Preferentemente, la proteína CRCV o de tipo CRCV, o fragmento de la misma, tiene una longitud de al menos 200, o al menos 300, o al menos 400, o al menos 500, o al menos 600, o al menos 700, o al menos 800, o al menos 900, o al menos 1,000, o al menos 1,100, o al menos 1,200 aminoácidos.
- [0105] Preferentemente, la proteína CRCV o de tipo CRCV, o fragmento de la misma, tiene menos de unos 1,300 aminoácidos de longitud. Más preferentemente la proteína CRCV o de tipo CRCV, o fragmento del mismo, tiene menos de alrededor de 1,200, tiene menos de alrededor de 1,000, tiene menos de alrededor de 900, tiene menos de alrededor de 800, tiene menos de alrededor de 700, tiene menos de alrededor de 600, tiene menos de alrededor de 500, tiene menos de alrededor de 300 aminoácidos de longitud.
- [0106] Proteínas CRCV pueden estar aisladas de CRCV, o pueden ser hechas usando técnicas de química de proteína por ejemplo usando proteolisis parcial de proteínas aislada (bien exolíticamente o endolíticamente), o por síntesis ex novo. Alternativamente, las proteínas CRCV, asi como las proteínas de tipo CRCV, pueden hacerse por tecnología de ADN recombinante. Técnicas adecuadas para clonación, manipulación, modificación y expresión de ácidos nucleicos, y purificación de proteínas expresadas, son bien conocidas en la técnica y son descritas por ejemplo en Sambrook et al (2001)"Molecular Cloning, a Laboratory Manual", 3rd edition, Sambrook et al (eds), Cold Spring Harbor Laboratory Press, Cold Spring Harbor, NY, USA.
- [0107] Fragmentos más cortos de proteínas CRCV y de tipo CRCV, por ejemplo péptidos, pueden ser sintetizados usando técnicas standard. Péptidos pueden estar sintetizados por el modo poliamida Fmoc de síntesis de péptido de fase sólida como descrito por Lu et al (1981) J. Org. Chen. 46,3433 y referencias del mismo. Protección de grupo Namino temporal es llevada a cabo por el grupo 9-fluorenilmetiloxicarbonilo (Fmoc). Escisión repetitiva de este grupo de protección base lábil es efectuada usando 20% de piperidina en N, N-dimetilformamida. Las funcionalidades de cadena laterial pueden ser protegidas como sus éteres de butilo (en el caso de treonina de serin y tirosina), ésteres de butilo (en el caso de ácido glutámico y ácido aspártico), derivado de butiloxicarbonil (en el caso de lisina y histidina), derivado de tritilo (en el caso de cisteina) y derivado de 4-metoxi-2,3, 6- trimetilbencenosulfonilo (en el caso de arginina).
- [0108] Donde glutamina o asparagina son residuos terminales C, se hace uso del grupo 4,4'-dimetoxibenzhidrilo para protección de las funcionalidades amida de cadena lateral. El soporte de la fase sólida esta basado en un polimero polidimetil-acrilamida constituido de los tres monómeros dimetilacrilamida (monómero-eje central), diamina de bisacriloiletileno (reticulante) y éster de metilo acriloilsarcosina (agente funcional). El agente unido escindible péptido-aresina usado es el derivado de ácido 4-hidroximetil-fenoxiacético ácido-lábil. Todos los derivados aminoácidos son añadidos como sus derivados anhídridos simetricos preformados con la excepción de asparagina y glutamina, las

cuales son añadidas usando un procedimiento de acoplamiento inverso mediado por N, N-diciclohexilo- carbodiimida/1hidroxibenzotriazola . Todas las reacciones de acoplamiento y desprotección son controladas usando procedimientos de ensayo de ninhidrina, ácido sulfónico trinitrobenceno o isotina. Una vez terminada la síntesis, los péptidos son escindidos del soporte de resina con eliminación concomitante de grupos de protección de cadena lateral por medio de 5 tratamiento con 95% de ácido trifluoroacetico conteniendo un 50% de mezcla de barredores. Los barredores usados comúnmente son aretaneditiol, fenol, anisol y agua, dependiendo la elección exacta de los aminoácidos constituyentes del péptido que es sintetizado. Ácido trifluoroacetico es eliminado por evaporación in vacuo, con posterior trituración con éter dietilo otorgando el péptido crudo. Cualquier barredor presente se elimina por un simple procedimiento de extracción que en liofilización de fase acuosa otorga el péptido crudo libre de barredores. Reactivos para síntesis de 10 péptidos están generalmente disponibles de Calbiochem-Novabiochem (UK) Ltd, Nottingham NG7 2QJ, UK. La purificación puede ser efectuada por una cualquiera, o una combinación de, técnicas tales como cromotografia de exclusión por tamaños, cromotografia de intercambio de iones y (principalmente) cromotografia líquida de alto rendimiento de fase inversa. El análisis de péptidos puede ser llevado a cabo usando cromotografia de capa fina, cromotografia liquida de alto rendimiento de fase inversa, análisis de aminoácidos después de hidrólisis acida y por 15 análisis espectometrico de cromotografia de capa de masas del bombardeo veloz de atomos (BVA), cromotografia liquida de alto rendimiento de fase invertida, análisis aminoácido tras hidrólisis ácida y por medio de análisis espectrométrico de masas por bombardeo de átomos rápidos (FAB).

[0109] Un polinucleótido que codifica una proteína S CRCV o de tipo CRCV o el complemento de la misma, puede ser usado para crear la proteína S.

20 **[0110]** Preferentemente, el polinucleótido codifica una S de CRCV.

30

70

[0111] More preferentemente, el polinucleótido codificando la proteína S CRCV comprende o consiste de la secuencia listada en la Figura 3.

[0112] Se aprecia que la secuencia listada en la Figura 3) contiene una Y en la posición 3531, que se refiere a o bien C o T. En ambos casos el correspondiente aminoácido es Ile. Así un polinucleótido codificando una proteína S CRCV que comprende o consiste en la secuencia listada en la Figura 3, puede tener C en la posición 3531. Ademas del polinucleótido codificando una proteína S CRCV que comprende o consiste de la secuencia listada en la Figura 3, puede tener T en la posición 3531.

[0113] El polinucleótido S CRCV puede comprender un fragmento de la secuencia listada en la Figura 3, que codifica una proteína teniendo al menos uno de los aminoácidos especificos para la proteína S CRCV en la posición listada en la S Tabla 1, o el complemento del mismo.

[0114] Se refiere aquí a los polinucleótidos como se definen arriba como polinucleótidos CRCV o o de tipo CRCV.

[0115] Un "polinucleótido de tipo CRCV" es un polinucleótido que no tiene una secuencia base idéntica a todoa o un fragmento de la secuencia ADNc de CRCV nativa como listada en la Figura 3, pero que codifica una proteína S CRCV o de tipo CRCV como definido arriba, o el complemento del mismo.

35 **[0116]** El CRCV es un virus ARN de cepa positiva. El polinucleótido puede ser ADN o ARN. El ARN puede ser ARN de cepa positiva o negativa. El ADN puede ser ADN de una sola cepa o doble cepa. single or double stranded ADN.

[0117] Técnicas apropiadas para clonar y secuenciar un ADNc de un virus de ARN de cepa positiva tal como CRCV son bien conocidas en la técnica y son descritas por ejemplo en Sambrook *et al* 2001

[0118] Los polinucleótidos de CRCV o de tipo CRCV pueden ser de cualquier tamaño adecuado. Sin embargo, para ciertos propósitos, tal como detectar o amplificar, es preferido si el ácido nucleico tiene menos de 3,000, más preferentemente menos de 1000, más preferentemente aún de 10 a 100, y de preferencia adicional de 15 a 30 pares de bases (si el ácido nucleico es bicatenario) o bases (si el ácido nucleico es de una sola cadena). Como es descrito de modo mas completo abajo, oligonucleótidos de ADN de una sola cadena, adecuados para usar como detectores de hibridización o como iniciadores en una reacción en cadena de polimerasa, son particularmente preferidos.

45 **[0119]** Oligonucleótidos que pueden amplificar específicamente, o hibridizar a polinucleótidos S de CRCV, al contrario que polinucleótidos BCV, HCV, HEV o S CCV entéricos S, pol o HE, son particularmente preferidos. Los oligonucleótidos adecuados pueden determinarse por una persona experta en la técnica por referencia a las comparaciones de la secuencia nucleótida en las Figuras 6, 8, 9 y 15.

[0120] Se aprecia que los oligonucleótidos CRCV o de tipo CRCV pueden, incluso bajo condiciones altamente rigurosas, hibridizar al ácido nucleico, sea ARN o ADN, de HCV, BCV, y HEV asi como CRCV. Sin embargo, se prefiere si los oligonucleótidos CRCV o de tipo CRCV hibridizan a ácido nucleico de CRCV bajo condiciones más astringenes que al ácido nucleico de HCV, BCV or HEV. Esto puede ser determinado bien experimentalmente o por una comparación de la secuencia oligonucleótida con las secuencias respectivas de CRCV, HCV, BCV and HEV, como es bien sabido para una persona experta en la técnica. (Sambrook *et al* 2001).

55 **[0121]** Preferentemente, los oligonucleótidos no hibridizan ácidos nucleicos CCV entéricos bajo condiciones rigurosas (ver abaio)

[0122] Convenientemente, los polinucleótidos u oligonucleótidos de CRCV o de tipo CRCV ademas comprenden una etiqueta detectable.

[0123] Por "etiqueta detectable" se incluye cualquier etiqueta conveniente radioactiva tal como ³²P, ³³P o ³⁵S las cuales puede ser incorporadas fácilmente dentro de una molécula de ácido nucleico usando métodos bien conocidos; es también incluida cualquier etiqueta quimiluminiscente o fluorescente conveniente que pueda ser fácilmente incorporada dentro de un ácido nucleico. Además el término "etiqueta detectable" también incluye una fracción que puede ser detectada por medio de enlace a otra fracción (tal como biotina que puede ser detectada al enlazar una streptavidina); y una fracción, tal como un enzima, que puede ser detectado en base a su capacidad para convertir un compuesto

incoloro en un compuesto de color, o viceversa (por ejemplo, la fosfotasa alcalina puede convertir o- nitrofenilfosfato incoloro en o-nitrofenol con color). Convenientemente, la sonda de ácido nucleico puede ocupar una cierta posición en un orden fijado y si un ácido nucleico hibridiza a esto puede determinarse por referencia a la posición de hibridización en el orden fijado.

[0124] Etiquetar con [32P] dCTP puede ser llevado a cabo usando un kit de etiquetado iniciador aleatorio Rediprime® suministrado por Amersham.

[0125] Iniciadores que son adecuados para uso en una reacción en cadena de polimerasa (PCR; Saiki et al (1988) Science 239, 487-491) son preferidos. Iniciadores de PCR adecuados pueden tener las siguientes propiedades:

[0126] Es bien sabido que la secuencia en el extremo 5' del oligonucleótido no necesitan combinar con la secuencia objetivo para ser amplificada.

- 5 **[0127]** Es común que los iniciadores de PCR no contengan ninguna estructura complementaria de ellos más largas que 2 bases, especialmente en sus extremos 3', porque este rasgo puede promover la formación de un producto artefactual llamado "dímero iniciador". Cuando los extremos 3' de los dos iniciadores hibridizan, forman un complejo "molde iniciado", y la extensión iniciadora resulta en un producto corto duplex llamado " dímero iniciador ".
- [0128] Una estructura secundaria interna debiera ser evitada en iniciadores. Para PCR simetricos, un contenido de 40-60% de G+C es recomendado a menudo para ambos iniciadores, con tramos no largos de cualquier base. Los calculos clásicos de temperatura de fusión usados en conjunción con estudios de detección de hibridización de ADN a menudo predicen que un iniciador dado deberia flamear a una temperatura especifica o que los 72º de temperatura de extensión disociarán el hibrido iniciador/ molde prematuramente. En la práctica, los hibridos son más efectivos en el proceso de PCR que lo que generalmente se predice por calculos simples de T_m.
- 15 **[0129]** Temperaturas de flameado óptimas pueden ser determinadas empíricamente y pueder ser más elevadas que las predichas. La polimerasa de ADN *Taq* tiene actividad en la región 37-55°C, de forma que la extensión iniciadora ocurrirá durante el paso de flameado y el hibrido será estabilizado. Las concentraciones de los iniciadores iniciadores son iguales en PCR convencionales (simetricas) y, tipicamente, dentro de 0.1 un rango de 0.1-to lμM.
- 20 usando iniciadores complementarios a un gen expresado ubicuamente, puede ser beneficioso que los productos del control y productos de CRCV o de tipo CRCV sean de diferentes tamaños, de forma que los dos productos pueden ser distinguidos por los medios de detección empleados, por ejemplo por movilidad en electrophoresis de gel agarosa. Sin embargo, puede ser deseable que los dos productos sean de tamaño similar, por ejemplo ambos entre 100 y 1000, o entre 100 y 600 nucleótides de largo. Esto puede ayudar al análisis de los productos, por ejemplo por electroforesis, y puede también significar que el control y las reacciones de amplificación de CRCV o de tipo CRCV pueden tener unas
- puede también significar que el control y las reacciones de amplificación de CRCV o de tipo CRCV pueden tener unas caracteristicas de rendimiento similares, en términos, por ejemplo de indices relativos de acumulación de producto en diferentes etapas durante la reacción.
- [0131] Cualquiera de los protocoles de amplificación de ácido nucleico puede ser usado incluyendo la reación en cadena de polimerasa, QBreplicase y ligasa. También, NASBA (amplificación basada en la secuencia ácido nucleico) también llamada 3SR, puede ser usado como descrito por Compton (1991) Nature 350, 91-92 and AIDS (1993), Vol 7 (Suppl 2), S108 o SDA (amplificación de desplazamiento de cadena) puede ser usada como descrito por Walker et al (1992) Nucl. Acids Res. 20,1691-1696. La reacción en cadena de polimerasa es preferida particularmente por su simplicidad.
- [0132] Cuando un par de ácidos nucleicos adecuados de la invención son usados en un PCR es conveniente detectar el producto por gel de electroforesis y coloración de bromuro de etidio. Como una alternativa, es conveniente usar un oligonucleótido etiquetado capaz de hibridizar al ADN amplificado como una sonda. Cuando la amplificación es por PCR la sonda de oligonucleótido hibridiza a la secuencia interiniciadora como se define por los dos iniciadores iniciadores. La sonda oligonucleótida tiene preferentemente entre 10 y 50 nucleótidos de longitud, más preferentemente entre 15 y 30 nucleótidos de longitud. Puede ser más larga que el ADN amplificado o incluir uno o ambos de los iniciadores, pero en este caso, las condiciones de hibridización deberian ser tales que la sonda no deberia hibridizar a los iniciadores solamente, sino únicamente a un producto amplificado que también contiene secuencia interiniciadora que es capaz de hibridizar la sonda.
- [0133] La sonda puede ser etiquetada con un radionúclido tal como ³²P, ³³P y ³⁵S usando técnicas estándar, o puede ser etiquetada con un tinte fluorescente. Cuando la sonda de oligonucleótido es etiquetada por fluorescencia, el producto de ADN amplificado puede ser detectado en solución (ver por ejemplo Balaguer et al (1991). "Cuantificación de secuencias de ADN obtenidas por reacción en cadena de polimerasa usando un adsorbente de bioluminiscencia " Anal. Bioclzem. 195,105-110 and Dilesare et al (1993) "Un sistema de detección basado en electrominuscencia de alta sensibilidad para cuantificación de producto PCR automatizado" Bio- Techniques 15, 152-157.
- [0134] Productos de PCR pueden también ser detectados uando una sonda que puede tener un par fluoróforo-quencher o puede estar unida a un soporte sólido o uede tener una etiqueta de biotina o pueden ser detectados usando una combinación de una sonda de captura y una sonda detectora.
 - [0135] Los pares fluoróforo-quencher son particularmente adecuados para mediciones cuantitativas de reacciones de PCR (eg RTPCR). Polarización de fluorescencia usando una sonda adecuada puede ser usada para detectar productos PCR.
- 55 [0136] Un vector comprendiendo el polinucleótido de CRCV o de tipo CRCV puede ser usado para expresar la proteína S de CRCV o de tipo CRCV.
 - [0137] Plásmidos de vector procariotico tipicos son: pUC 18, pUC 19, pBR322 y pBR329 disponibles de Biorad Laboratorios (Richmond, CA, USA); pTi-c99A, pKK223-3, pKK233-3, pDR540 y pRIT5 disponibles de Pharmacia (Piscataway, NJ, USA); pBS vectors, Phagescript vectors, Bluescript vectors, pNH8A, pNH16A, pNH18A, pNH46A disponibles de Stratagene Cloning Systems (La Jolla, CA 92037, USA).
 - [0138] Un plásmido de vector de celula mamifera tipica es pSVL disponible de Pharmacia (Piscataway, NJ, USA). Este vector usa el promotor tardío SV40 para conducir expresión de genes clonados, siendo encontrado el nivel más elevado de expresión en células T que producen antígeno, tales com células COS-1. Un ejemplo de un vector de expresión de mamifero inducible es pMSG, también disponible de Pharmacia (Piscataway, NJ, USA). Este vector usa el promotor
- 65 inducible por glucocorticoide de la repetición Terminal larga del virus de tumor mamario de ratón para conducir la expresión del gen clonado.
 - [0139] Vectores utiles plásmidos de levadura son pRS403-406 and pRS413-416 y están generalmente disponibles de Stratagene Cloning Systems (La Jolla, CA 92037, USA). Plásmidos pRS403, pRS404, pRS405 y pRS406 son plásmidos integradores de Levadura (YIps) e incorporan los marcadores seleccionables de levadura HIS3, TUPI, LEU2 and URA3.
- 70 Plasmids pRS413-416 son plásmidos de Centrómero de Levadura (YCps).

60

[0140] Generalmente, el polinucleótido de CRCV o de tipo CRCV es insertado dentro de un vector de expresión, tal como un plásmido, en orientación apropiada y correcto marco de lectura para expresión. Puede estar vinculado a las adecuadas secuencias nucleótidas de control regulatorio de transcripción y de traslación reconocidas por el huésped deseado anterior a la inserción del vector, sin embargo tales controles están generalmente disponibles en el vector de expresión. Asi, el polinucleótido del inserto de la invención puede estar operativamente vinculado a un promotor apropiado. Promotores eucarioticos incluyen promotores tempranos inmediatos de CMV, el promotor de timidinquinasa de HSV, los promotores tempranos y los tardios SV40 y los promotores LTRs retroviricos. Otros promotores adecuados serán conocidos por los expertos en la materia. Los constructos de expresion también contienen deseablemente lugares para iniciación y terminación de transcripcion, y en la región transcrita, un lugar de unión de ribosoma para traslación (WO 98/16643).

5

10

15

20

25

35

40

45

50

70

[0141] Métodos bien conocidos para aquellos con conocimiento en la técnica pueden ser usados para construir vectores de expresión conteniendo la secuencia codificadora y, por ejemplo controles apropiados transcripcionales o traslationales. Tal método supone ligación via colas de homopolímero. Colas de homopolimero polydA (o polydC) son añadidas a grupos expuestos 3' OH sobre el fragmento de ADN para ser clonados por transferasas de deoxinucleotidil terminal. El fragmento es entonces capaz de flamear a las colas de polydT (o polydG) añadido a los extremos de un vector plásmidolinealizado. Los huecos dejados después de flamear pueden ser llenados con ADN polimerasa y los extremos libres unidos por ADN ligasa.

[0142] Otro método supone ligación mediante extremos cohesivos. Extremos cohesivos compatibles pueden estar generados en el fragmento y vector de ADN por la acción de enzimas adecuados de restricción. Estos extremos flamearán rápidamente por medio de pares de bases complementarios las muescas restantes pueden ser cerradas por la acción de ADN ligasa.

[0143] Un método adicional usa moléculas sintéticas llamadas enlazadores y adaptadores. Fragmentos de ADN con extremos romos son generados por polimerasa T4 ADN o bacteriófago o ADN polimerasa I de E. coli que elimina términos salientes 3' y rellena extremos huecos 3'. Enlazadores sintéticos, piezas de ADN de doble cadena extremo romo que contienen secuencias de reconocimiento para enzimas de restricción definidos, pueden ligarse a fragmentos de ADN con extremo roma por T4 ADN ligasa. Son digeridos posteriormente con enzimas de restricción apropiados para crear extremos cohesivos y ligados a un vector de expresión con términos compatibles. Adaptadores son también fragmentos de ADN químicamente sintetizados que contienen un extremo romo usado para ligadura pero que también posee un extremo cohesivo de ligación preformado.

[0144] Enlazadores sintéticas conteniendo una variedad de sitios de endonucleasa de restricción están comercialmente disponibles de un número de fuentes incluyendo International Biotechnologies Inc, New Haven, CN, USA.

[0145] Un modo deseable de modificar el polinucleótido de la invención es usar la reacción en cadena de polimerasa como revelada por Saiki et al (1988) Science 239, 487- 491. En este método el ADN a ser enzimaticamente amplificado es flanqueado por dos iniciadores oligonucleótidos específicos que quedan incorporados dentro del ADN amplificado. Los iniciadores específicos pueden contener sitios de reconocimiento de endonucleasa de restricción los cuales pueden ser usados para clonar en vectores de expresión usando métodos conocidos en la técnica.

[0146] Una célula huésped transformada con el vector que comprende el polinucleótido de CRCV o de tipo CRCV puede ser usada para expresar la proteína S. La célula huésped puede ser o bien procariota o eucariota. Si el polinucleótido CRCV o de tipo CRCV, en el vector, va a ser expresado como una glucoproteína, la célula huésped es una célula huésped eucariota, y preferentemente una célula huésped mamífera.

[0147] Las células bacterianas son las células huésped procariotas preferidas y tipicamente son una cepa de *E. coli* tal como, por ejemplo, las cepas *E. coli* DH5 disponibles de Bethesda Research Laboratories Inc., Bethesda, MD, USA, y RR1 disponibles de American Type Culture Collection (ATCC) of Rockville, MD, USA (No ATCC 31343). Célulashuésped eucariotas preferidas incluyen levadura y células mamíferas, preferentemente células vertebradas tales como las de una linea celular fibroplastica de ratón, rata, mono o humana. Células huésped de levadura incluyen YPH499, YPH500 y YPH501 las cuales están generalmente disponibles de Stratagene Cloning Systems, La Jolla, CA 92037, USA. Células huésped mamíferas preferidas incluyen células de ovario de hamster chino (OHC) disponibles del ATCC como CCL61, NIH células de embrión de ratón suizo NIH/3T3 disponibles del ATCC como CRL 1658, y células

COS-1 de derivado de riñón de mono disponibles de ATCC como CRL 1650. Células preferidas de insecto son células Sf9 las cuales pueden ser transfectadas con vectores de expresión baculovirus,

[0148] La transformación de huéspedes celulares apropiados con un vector es realizada por métodos bien conocidos que dependen tipicamente del tipo de vector usado. Con respecto a la transformación de células huésped procariotas, ver, por ejemplo, Cohen et al (1972) Proc. Natl. Acad. Sci. USA 69, 2110 y Sambrook et al (2001)- Molecular Cloning, A Laboratory Manual, 3rd Ed. Cold Spring Harbor Laboratory, Cold Spring Harbor, NY. Transformación de célulasde

levadura es descrita en Sherman et al (1986) Methods In Yeast Genetics, A Laboratory Manual, Cold Spring Harbor, NY. The method of Beggs (1978) Nature 275, 104-109 es también util. Con respecto a las célulasvertebrales, reagentes utiles en transferir tales celulas, por ejemplo fosfato calcico y such cells, DEAE-dextran o formulaciones de liposoma, están disponibles de Stratagene Cloning Systems, or Life Technologies Inc., Gaithersburg, MD 20877, USA.

[0149] La electroporación es también útil para transformar célulasy es bien conocida en la técnica para transformar célula de levadura, células bacterianas y célulasde vertebrados.

[0150] Por ejemplo, muchas especies bacterianas pueden ser transformadas por los métodos descritos en Luchansky et al (1988) Mol. Microbiol. 2, 637-646 incorporados aquí por referencia. El mayor número de transformantes es consistentemente recuperado después de la electroporación de la mezcla de célula de ADN suspendida en 2.5x PEB usando 6250V por cm en 25mFD.

[0151] Métodos para transformación de levadura por electroporación son revelados en Becker & Guarente (1990) Methods Enzyinol. 194, 182.

[0152] Pueden ser usados métodos físicos para introducir ADN en células animales y plantas. Por ejemplo, la microinyección usa una pipeta muy fina para inyectar moléculas de ADN directamente dentro del núcleo de las células a ser transformadas. Otro ejemplo conlleva el bombardeo de las células con microproyectiles de alta velocidad, normalmente particulas de oro o tungsteno que has sido recubiertas con ADN.

[0153] Células exitosamente transformadas, por ejemplo células que contienen un constructo de ADN CRCV o de tipo CRCV, pueden ser identificadas por técnicas bien conocidas. Por ejemplo, una técnica de selección conlleva incorporar dentro del vector de expresión unas secuencias de ADN (marcador) que codifica para un rasgo seleccionable en la célula transformada. Estos marcadores incluyen resistencia a dihidrofolato reductasa, G418 o neomicina para cultivo de célula eucariota, y genes resistentes a tetraciclina, kanamicina o ampicillina para cultivar en *E. coli* y otras bacterias. Alternativamente, el gen para el rasgo seleccionable puede ser otro vector, que es usado para cotransformar la deseada célula huésped.

[0154] El gen marcador puede ser usado para identificar transformantes pero es aconsejable determinar cuál de las células contiene moléculas de ADN recombinante y cuál contiene moléculas de vector autoligadas. Esto puede ser logrado usando un vector clonante dode la inserción de un fragmento de ADN destruye la integridad de uno de los genes presentes en la molécula. Los recombinanes pueden por tanto ser indentificados a causa de la perdida de función del gen.

[0155] Otro método de identificar exitosamente células transformadas conlleva cultivar las células resultantes de la introducción de un constructo de expresión de la presente invención para producir la proteína S CRCV o tipo CRCV, pol o HE. Las células pueden ser cosechadas y lisadas y su contenido de ADN examinado para la presencia del ADN usando un método Duch como el descrito por Southern (1975) J. Mol. Biol. 98, 503 or Berent et al (1985) Biotech. 3, 208. Alternativamente, la presencia de la proteína en el supernatante puede ser detectada usando anticuerpos.

[0156] Además de ensayar directamente para la presencia de ADN recombinante, puede confirmarse la transformación exitosa por métodos inmunologicos bien conocidos cuando el recombinante de ADN es capaz de dirigir la expresión de la proteína. Por ejemplo, células exitosamente transformadas con un vector de expresión producen proteínas que despliegan antigenicidad apropiada. Muestras de células sospechosas de ser transformadas son cosechadas y ensayadas para la proteína usando anticuerpos adecuados.

[0157] Células huésped que han sido transformadas por el polinucleótido recombinante de CRCV o de tipo CRCV, tipicamente en un vector como descrito arriba, son entonces cultivadas durante un tiempo suficiente y bajo condiciones apropiadas conocidas por aquéllos con conocimientos en la técnica a la vista de las enseñanzas aquí reveladas para permitir la expresión de la proteína de CRCV o de tipo CRCV codificada por el polinucleótido de CRCV o de tipo CRCV, que puede ser recubierto.

[0158] La proteína de CRCV o de tipo CRCV puede ser recuperada y purificada de cultivos de célula recombinante por métodos bien conocidos incluyendo precipitación de sulfato amónico o etanol, extracción de ácido, cromotografia de intercambio de aniones o cationes, cromotografia de fosfocelulosa, cromotografia de interacción hidrofóbica, cromatograpia de afinidad, cromotografia de hidroxilapatita y cromotografia de lectina. Más preferentemente, de cromotografia liquida de alto rendimiento ("HPLC") es empleada para purificación.

[0159] Por ejemplo, para la expresión en un sistema baculovirus, ADN recombinante de ADN codificando el gen Spike de CRCV puede estar clonado dentro de un vector de transferencia adecuado tal como pMelBac (Invitrogen). Cotransfección con ADN de baculovirus DNA (por ejemplo Bac- N-Blue/invitrogen) resulta en un baculovirus recombinante codificando el gen spike. Infección de una linea celular de insecto adecuada (por ejemplo Sf9, Sf21, High Five/Invitrogen) en una multiplicidad apropiada de infección lleva expresión de la proteína Spike recombinante. Expresión de proteína es confirmada por Western blot o ELISA usando reactivos apropiados (por ejemplo suero canino convalescente u otros antisueros especificos de virus).

[0160] Una proteína S de CRCV o de tipo CRCV glucosilada, codificada por el polinucleótido de CRCV o de tipo CRCV puede ser obtenida al cultivar una célula huésped eucariota, o más preferentemente mamífera, comprendiendo el polinucleótido de CRCV o el CRCV, tipicamente en un vector; expresando la proteína en la célula huésped; y purificando la proteína glucosilada.

[0161] La invención será ahora descrita en más detalle con la ayuda de las siguientes Figuras y Ejemplos.

45 Figura 1

5

10

15

[0162] secuencia parcial nucleótido (250 residuos) de la polimerasa de CRCV (pol) ADNc.

Figura 2

[0163] Secuencia aminoácida parcial (83 residuos) de la proteína pol. CRCV of the CRCV pol p, derivada de la secuencia nucleótida de la Figura 1.

50 Figura 3

55

70

[0164] Secuencia nucleótida (4092 residuos) del CRCV Spike (S) ADNc. La Y en la posición 3531 se refiere a sea C o T.

Figura 4

[0165] Secuencia aminoácida (1363 residuos) de la proteína S de CRCV, derivada de la secuencia nucleótida de la Figura 3.

Figura 5

[0166] Consensus tree para secuencias ADNc de una región nucleótida 250 del gen polimerasa de 12 coronavirus. La secuencia obtenida del coronavirus respiratorio canino es designada T101. Los números indican valores de secuencia inicial obtenidos por análisis de 100 conjuntos de datos.

[0167] BCV: coronavirus bovino, CCV: coronavirus canino, FIPV: virus peritonitis infecciosa felino, HEV: virus encefalomielitis hemaglutinante, IBV: virus de bronquitis infeccioso, MHV: virus de hepatitis de ratón, OC43: cepa de coronavirus humana OC43, SDAV: virus sialodacrioadenitis, TCV: coronavirus de pavo, TGEV: virus de gastroenteritis transmisible, 229E: cepa de coronavirus humano 229E, T101: coronavirus respiratorio canino (PCR producto de muestra traqueal T101)

65 Figura 6

[0168] CLUSTAL X (1.8) alineamiento de secuencia multiple de la secuencia parcial de 250 nucleótidos de ADNc pol de CRCV (muestra T101), BCV, cepa OC43 de HCV, HEV y CCV (CCV entérico).

Figura 7

[0169] CLUSTAL X (1.8) alineamiento de secuencia multiple de la secuencia parcial de 83 aminoácidos de la proteína pol de CRCV (protCRCVpol, SEC ID Nº: 2) con HCV (protHCVpoly), HEV (protHEVpoly, BCV (protBCVpoly) y CECV

(CCV entérico, protCECVpol).

Figura 8

[0170] CLUSTAL X (1.8) alineamiento de secuencia de la secuencia nucleótida de ADNc Spike de CRCV (CRCVSpike) ADNc Spike de CCV entérico (CECVSpike).

5 Figura 9

[0171] CLUSTAL X (1.8) alineamiento de secuencia multiple de los 4092 nucleótidos de la secuencia de ADNc Spike de CRCV (CRCVSpike) con ADNcs de Spike BCV (BCVSpike), HCV (HCVSpike) y HEV (HEVSpike). La Y en la posición 3531 en la secuencia CRCV se refiere a o bien C o T.

Figura 10

10 [0172] CLUSTAL X (1.8) alineamiento de secuencia multiple de la secuencia aminoácida 1363 de la proteína Spike de CRCV (CRCVSpikepr) con BCV (BCVSpikepro), HCV (HCVSpikepro), HEV (HEVSpikepro) y proteínas Spike de CCV entérico (CECVSpikepr).

Figura 11

[0173] RT-PCR usando juego anidado de iniciadores (Spike 1 y 2 seguidos de Spike 3 y 4) BCV: Muestra de control positiva de coronavirus bovino; A72: Células A72 negativas de coronavirus; H2O: mezcla de PCR sin ADN; T5 - T21: Muestras traqueales de perros de estudio. La electroforesis en gel de azarosa muestra productos PCR del tamaño esperado de 442bp fpara el control positivo (BCV) y muestras T12 y T21.

Figura 12

[0174] Comparación de la prevalencia de enfermedad respiratoria en dos grupos de perros. Perros en grupo 1 fueron positivos para anticuerpos de suero para coronavirus respiratorio en el dia de entrada en la perrera, perros en grupo 2 fueron negativos. El gráfico muestra el porcentaje de perros desarrollando enfermedad respiratoria en grupo 1 comparado con grupo 2 (p<0.001. n es el número total de perros en cada grupo.

Figura 13

[0175] Secuencia nucleótida parcial (497 residuos) del gen hemaglutinina/esterasa (HE) CRCV. La secuencia corresponde a nucleótidos 418 to 914 de los genes HE de BCV (GenBank M84486) y HCV OC43 (GenBank Accesión No. M76373).

Figura 14

[0176] Secuencia parcial aminoácida (165 residuos) de la proteína HE de CRCV HE, derivada de la secuencia nucleótida de la Figura 13. Esta secuencia corresponde a residuos aminoácidos 140 to 304 de BCV (GenBank M84486) y HCV OC43 (GenBank Accession No. M76373).

Figura 15

30

35

[0177] CLUSTAL X (1.8) alineamiento de secuencia multiple de una secuencia parcial de 497 nucleótidos del gen hemaglutinina/esterasa (HE) de CRCV (coronavirus respiratorio canino) con BCV (cepa de coronavirus bovino LY138, (SEC ID Nº: 23, tomado de Genbank Accession No. AF058942), OC43 (cepa coronavirus humano OC43, tomado de Genbank Accession No. M76373), HECV (coronavirus entérico humano, tomado de Genbank Accession No. L07747), y HEV (virus encefalomielitis hemoglutinante, tomado de Genbank Accession No. AF481863).

Figura 16

[0178] CLUSTAL X (1.8) alineamiento de secuencia multiple de una secuencia parcial de 165 aminoácidos de la proteína HE de CRCV (coronavirus respiratorio canino con BCV (cepa coronavirus bovino LY138 tomado de Genbank Accession No. AF058942), OC43 (cepa de coronavirus humano OC43, tomada de Genbank Accession No. M76373), HECV (coronavirus entérico humano, tomada de Genbank Accession No. L07747), y HEV (virus encefalomielitis hemoglutinante, tomado de Genbank Accession No. AF481863). Los tres aminoácidos especificos de CRCV F, N y L son indicados en negrita y están subrayados.

Figura 17

[0179] RT-PCR usando iniciadores de consenso HE1 y HE2 dirigidos para el gen HE de BCV y HCV (cepa OC43). La electroferesis en gel de agarosa muestra un producto PCR del tamaño esperado de 497bp para el control positivo de BCV y para cuatro muestras traqueales de perros de estudio (T90, T91, T101 and T105), y no para células negativas de coronavirus A72 o el PCR mix sin ADN (H2O). 1 kb indica una norma de tamaño molecular (Promega).

Figura 18

50 **[0180]** Estrategia de clonación de gen Spike CRC.

Ejemplo 1: Detección de un coronavirus novedoso asociado con enfermedad respiratoria infecciosa canina Resumen

[0181] Una investigación sobre las causas de enfermedad respiratoria infecciosa canina (ERIC) fue llevada a cabo en una perrera grande de acogida. Muestras de tejido tomadas del tracto respiratorio de perros enfermos fueron ensayadas para la presencia de coronavirus usando RT-PCR con iniciadores conservados para el gen de polimerasa. Los análisis de secuencia de cuatro muestras positivas mostraron la presencia de un coronavirus novedoso con alta semejanza a tanto coronavirus bovino y humano (cepa OC43) en sus genes Spike y polimerasa mientras que habia una baja similitud con genes comparables en el coronavirus entérico canino. Este coronavirus respiratorio canino (CRCV) fue detectado por RT-PCR en muestras traqueales 32/119 y de pulmón 20/119 siendo detectada la prevalencia más elevada en perros con síntomas clinicos leves. Análisis serológicos mostraron que la presencia de anticuerpos contra el CRCV en el

perros con síntomas clinicos leves. Análisis serológicos mostraron que la presencia de anticuerpos contra el CRCV en el dia de entrada dentro de la perrera redujo el riesgo de desarrollar enfermedad respiratoria.

Materiales y Métodos

Población de Estudio

[0182] Perros procedentes de una perrera de acogida bien establecida con un historial de enfermedad respiratoria endémica fueron controlados para este estudio. Al entrar en la perrera, todos los perros fueron vacunados con KAVAK DA2 PiP69 (Fort Dodge) una vacuna atenuada viva para moquillo, adenovirus canino de tipo 2, parainfluenzavirus canino y parvovirus canino. También, fue usada una vacuna de leptospirosis inactivada (Fort Dodge). El estado de salud de cada perro fue evaluado dos veces al dia por un clinico veterinario y los síntomas respiratorios fueron clasificados como sigue: 1: sin signos respiratorios, 2: tos leve, 3: tos y flujo nasal, 4: tos, flujo nasal e inapetencia, 5: bronconeumonía. El estado general de salud de los perros fue clasificado como sigue: 1: buena salud, 2: salud pobre, 3:

salud muy pobre. La edad, raza y sexo de los perros fue registrada.

[0183] Para 119 perros fue realizado un examen completo post mortem. Las muestras de tejido fueron almacenadas a -70°C hasta nuevo uso.

[0184] Muestras de suero fueron recogidas de 111 perros en el dia de entrada a la perrera de acogida. Para 81 perros un suero de seguimiento estuvo disponible el dia 7 y para 11 perros un suero estuvo disponible el dia 21 desde la entrada.

[0185] De los 111 perros, 30 permanecieron saludables durante los 21 dias entre la primera y la última muestra de suero mientras que 81 perros desarrollaron enfermedad respiratoria.

[0186] Sueros de 35 perros alojados en otro lugar fueron obtenidos del servicio diagnóstico del Royal Veterinary College. Estos sueros habían sido enviados para análisis bioquimico por razones varias. Cinco de esos sueros fueron de 18 beagles sin historial de enfermedad respiratoria. Los sueros fueron almacenados rutinariamente a -20°C.

Extracción de ARN y RT-PCR

5

20

35

[0187] ARN fue extraido de tejido traqueal y pulmonar de 119 perros usando TriReagent (Sigma). Aproximadamente fueron usados 25-50 mg de tejido homogeneizado y el ARN fue extraido como el fabricante recomendaba.

15 **[0188]** Síntesis de ADNc fue realizada usando Random Hexamers (Roche) y ImPromII retrotranscriptasa (Promega).

[0189] El gen polimerasa de coronavirus es conocido ser altamente conservativo, y ha sido previamente usado para análisis filogenético de esta familia de virus (Stephensen *et al.*, 1999). Para la detección de coronavirus fue usada una modificación de los iniciadores 2Bp y 4Bm dirigidos contra el gen polimerasa como se describe por Stephensen *et al.* (1999) (Conscoro5: 5' -ACT-CAR-ATG-AAT-TTG-AAA-TAT-GC (SEC ID Nº: 31); y Conscoro6: 5' -TCA-CAC-TTA-GGATAR-TCC-CA (SEC ID Nº: 32)).

[0190] PCR fue realizada usando polimerasa Taq (Promega) en el buffer de reacción provisto conteniendo una concentración final de 2.5 mM MgCl2 y 0.5mM de iniciadores. Para PCR con los iniciadores Conscoro5 y Conscoro6 se usó el siguiente perfil de temperatura: Después de la desnaturalización a 95°C durante 5 min, fueron llevados a cabo10 ciclos a 95°C durante 1 min, flameado a 37°C durante 1 min y extensión a 72°C durante 1 min. Esto fue seguido de 10

25 ciclos usando una temperatura flameante de 45°C, 10 ciclos a una temperatura flameante de 50°C y 10 ciclos a una temperatura flameante de 53°C seguida de una extensión final de 72°C durante 10 min.

[0191] Una fracción de 20ml de producto de PCR fue analizada en un 1.5% de gel de agarosa y manchada encima de una membrana de nylon (Roche) después de electroferesis. La membrana de nylon fue hibridizada con una sonda oligonucleótida especifica para el producto PCR a 37°C durante la noche (Sonda Conscoro: AAG-TTT-TAT-GGY-GGY-

TGG-GA). La sonda fue 3'A-acolada con Digoxigenin- dUTP y fue detectada usando conjugado anti-Digoxigenin y sustrato quimioluminescente CSPD (Roche).

[0192] Secuencias de iniciador específico para el gen Spike fueron derivadas de un alineamiento de la región Spike de una cepa de coronavirus bovina LY-138 (AF058942) y cepa coronavirus humano OC43 (L14643).

[0193] Un PCR fue realizado con los iniciadores Spike 1 y Spike 2, seguidos por un PCR anidado usando los iniciadores Spike 3 y Spike 4 y 2ml del producto de la primera amplificación.

[0194] Los números entre paréntesis se refieren a la posición nucleótida en el genoma coronavirus bovino.

Spike 1: 5'-CTT-ATA-AGT-GCC-CCC-AAA-CTA-AAT (25291-25314)

Spike 2: 5' -CCT-ACT-GTG-AGA-TCA-CAT-GTT-TG (25912-25890)

Spike 3: 5'-GTT-GGC-ATA-GGT-GAG-CAC-CTG (25320-25339)

40 Spike 4: 5' -GCA-ATG-CTG-GTT-CGG-AAG-AG (25762-25742)

[0195] El perfil de temperatura usado fue desnaturalización a 95°C durante 5 min, seguido de 35 ciclos de desnaturalización a 95°C durante 1 min, flameado a 55°C durante 40 seg y elongación a 72°C durante 1 min. La extensión final fue realizada a 72°C durante 10 min. El anidado PCR produjo un fragmento de 442bp.

[0196] Productos PCR fueron clonados en el vector pGEM-T-easy vector (Promega) y secuenciados usando el kit secuenciador de ciclo iniciador etiquetado fluorescente Thermo sequenasa con 7-deaza-dGTP (Amersham Pharmacia) usando iniciadores etiquetados Cy5.

Análisis filogenético

[0197] Un alineamiento de la secuencia de ADNc de 250 bp del gen polimerasa a las secuencias correspondientes de 11 coronavirus fue realizado usando ClustalX (Thompson *et al.*, 1997).

[0198] La relación filogenética con coronavirus conocidos fue analizada usando el paquete Phylip 3.6 package (Felsenstein, 1989). Los alineamientos fueron seguidos de un análisis de inicialización usando el programa Seqboot. Los juegos de datos obtenidos fueron usados para un análisis de parsimonia máxima usando el programa ADNpars y un árbol de consenso fue calculado usando Consense. Los árboles resultantes fueron dibujados usando el programa Treeview (Page, 1996).

55 ELISA

70

[0199] Un antígeno ELISA para coronavirus bovino o coronavirus canino entérico (CECV) (los antígenos son una preparación de cultivos de células infectadas por virus obtenidas de Churchill Applied Biosciences, Huntingdon, UK) fue suspendido de nuevo en PBS en la concentración recomendada por el fabricante e incubado en una placa de 96 pocillos (Falcon) durante la noche a 37°C.

[0200] Las placas fueron lavadas con PBS y bloqueado con PBS conteniendo 5% de leche desnatada en polvo durante 30 min. El suero fue disuelto 1:100 en buffer bloqueador e incubado en las placas durante 1h. Después de lavarse con PBS/ 0.05% Tween 20 (Sigma), un conjugado de IgG antiperro de conejo etiquetado con peroxidasa (Sigma) fue añadido (1:5000 in PBS/0.05% Tween 20) durante 1 h. Las placas fueron incubadas con sustrato de color (OPD, Sigma) durante 10 min y la reacción fue parada añadiendo 2M H₂SO₄. La adsorción fue determinada en un fotómetro ELISA a 492nm.

Cultivo de virus

[0201] El aislamiento de virus es realizado en fibroblastós de pulmón canino adulto (paso 3 a 7), MDCK y células A72. (Se aprecia, sin embargo, que el aislamiento del virus podría ser realizado usando células primarias o lineas celulares como MDCK o A72 (canino), MDBK (bovino), HRT-18 (linea celular de tumor rectal humano) y Vero (Mono Verde Africano). Los fibroblastos de pulmón son mantenidos en MEM con 20% de suero fetal de ternera (FCS), MDCK y las

células A72 son mantenidas en MEM con 5% FCS. Muestras de tejido traqueal (approx. 25mg) son homogeneizadas usando un escalpelo y mezcladas vigorosamente en 1ml MEM conteniendo Penicilina (100U/ml), Estreptomicina (0.1mg/ml), Amfotericina B (2.5mg/ml) y Tripsina (1mg/ml). Las muestras son centrifugadas a 13000 rpm durante 10 min. y el supernatante es usado para inocular cultivos de células. Después de 30 min. a 37°C el supernatante es eliminado y el medio de mantenimiento añadido a los cultivos. Los cultivos son pasados 3 veces en ausencia de un efecto citopatico. Entonces, se extrae ARN de las células y se realiza RT-PCR para detectar la presencia de CRCV.

Análisis estadístico

[0202] Los datos fueron analizados usando la prueba chi-cuadrado o prueba exacta de Fisher y valores p por debajo de 0.05 fueron considerados estadísticamente significativos.

10 Resultados

5

20

25

35

50

55

60

PCR usando iniciadores de consenso para el gen polimerasa de ARN coronavirus

[0203] Usando los iniciadores Conscoro5 y Conscoro6, fue analizado ADNc obtenido de 40 muestras traqueales por RTPCR.

[0204] De ellas, 7 fueron encontradas positivas por PCR e hibridización posterior (17.5%).

[0205] Los productos PCR fueron clonados y secuenciados (Figuras 1 y 2) y la secuencia de datos fue comparada para secuencias virales disponibles usando el programa de búsqueda FASTA (Pearson, 1990).

[0206] La comparación de la secuencia polimerasa ADNc coronavirus obtenida de 4 de las muestras traqueales caninas para otras secuencias coronavirus reveló que eran más similares a los datos de secuencia de cepa BCV Quebec y LY138 (Genbank Accession Nos. AF220295 y AF058942, respectivamente) y cepa de coronavirus humano OC43 (Genbank Accession No. AF124989).

[0207] La similitud en la secuencia de 250 bp analizada fue 98.8% para BCV Quebec, y 98.4% para BCV LY138 y los genes pol HCV, mientras que fue únicamente 68.53% para gen pol 1-71 de cepa CCV (Figuras 6 y 7).

[0208] Un alineamiento de la secuencia novedosa con las secuencias correspondientes de 11 coronavirus y análisis filogenético usando el método de parsimonia máxima resultó en el árbol de consenso mostrado en la Figura 5. La secuencia de ADNc obtenida de una muestra traqueal (T101) fue hallada en una rama común con coronavirus bovino, coronavirus humano - OC43 y virus de encefalomielitis hemoglutinante.

[0209] El virus fue llamado coronavirus respiratorio canino (CRCV).

PCR usando iniciadores para el gen Spike

[0210] Para análisis adicional de la secuencia de ARN de CRCV, un alineamiento del ARN para el gen Spike de la cepa LY 138 (AF058942) y la cepa OC43 de coronavirus humano (L14643) fue realizado usando Clustal X (Thompson *et al.*, 1997). Regiones de consenso fueron elegidas para la selección de los conjuntos de iniciador anidados Spike 1-2 y Spike 3-4 (Figura 11). El análisis de PCR fue realizado con el ADNc obtenido de 119 muestras traqueales y de pulmón usando iniciadores anidados.

[0211] En total 32 muestras traqueales (26.9%) y 20 muestras de pulmón (16.8%) fueron halladas positivas por PCR anidado. Para ocho perros fue obtenido un resultado positivo PCR para ambas, tráquea y pulmon.

[0212] El análisis de la secuencia de los productos PCR obtenidos a partir de tejidos de 6 perros diferentes mostraron secuencias idénticas de ADN para esos ADNcs (Figuras 3 y 4). Una comparación con secuencias Spike de coronavirus conocidas usando el programa FASTA reveló una similitud de 98.1% con coronavirus bovino y una similitud de 97.8% con OC43 de coronavirus humano (Figuras 9 y 10).

40 PCR usando iniciadores para el gen HE

[0213] El coronavirus bovino y otro grupo II de coronavirus contienen una proteína estructural adicional, la hemoglutinina/esterasa (HE). A causa de la alta semejanza de CRCV con BCV, analizamos la presencia de un gen HE en CRCV.

[0214] Un alineamiento de las secuencias de genes HE de BCV y OC43 HCV fue usado para diseñar los iniciadores HE1 y HE2 (Tabla 2). Cuatro muestras traqueales que habian sido previamente identificadas como positivas para ARN de coronavirus por RT-PCR con iniciadores para el gen S fueron ensayadas por RT-PCR con el conjunto iniciador para el gen HE. Las cuatro muestras mostraron una banda PCR del tamaño esperado después de electroforesis con gel de agarosa (Figura 17).

Tabla 2: Iniciadores diseñados a partir de un alineamiento de los genes hemaglutinina/esterasa de BCV (GenBank Accession No. M84486) y HCV OC43 (GenBank Accession No. M76373)

,		
Nombre	Secuencia	Localización en gen HE de BCV
HE1	5'-TAT-CGC-AGC-CTT-ACT-TTT-GT	418-437
HE2	5'-ACC-GCC-GTC-ATG-TTA-TCA-G	914-896

[0215] La secuencia del producto PCR de CRCV obtenido usando iniciadores HE 1 y HE 2 es dada en la Figura 13, y su secuencia aminoácida predicha es listada en la Figura 14. Una comparación de esas secuencias nucleótidas y aminoácidas con los correspondientes fragmentos de otros coronavirus relacionados es mostrada en las Figuras 15 y 16. Se mostró que tres aminoácidos eran únicos para CRCV, como se muestra en la Tabla 3.

Tabla 3: Aminoácidos únicos en gen HE de CRCV

Tubla 6: 74111110a0la00 alligot oli goli 112 ac oliov							
Aminoácido en CRCV	Aminoácido en	Posición en	Posición en productos				
	BCV/HECV/HCV/HEV	BCV/HECV/HCV/HEV	PCR HE1 HE2				
F (Phe)	L (Leu)	235	96				
N (Asn)	T (Thr)	242	103				
L (Leu)	V (Val)	253	114				

[0216] Las posiciones aminoácidas en BCV, HECV, HCV y HEV son numeradas a partir de la inicial M (que es número 1) al principio de las proteínas HE OC43 de BCV y HCV (GenBank Accession Nos. M84486 y M76373, respectivamente).

Asociación de muestras positivas de PCR con signos respiratorios

[0217] Usando iniciadores para el gen Spike, fueron analizadas muestras traqueales y de pulmón provenientes de 119 perros por RT-PCR para CRCV. De ellas 42 eran de perros sin signos respiratorios (grado 1), 18 perros habian mostrado signos respiratorios leves (grado 2), 46 habian mostrado moderados (grado 3) y 13 signos respiratorios severos (grados 4 y 5). Grados 4 y 5 fueron unidos debidos al bajo número de casos en estos grupos.

[0218] Tabla 4 muestra los resultados de PCR para coronavirus en perros con diferentes grados de enfermedad respiratoria. Específicamente, la Tabla 4 muestra los resultados de RT-PCR a partir de muestras traqueales y de pulmón de 119 perros con diferentes signos respiratorios (ninguno a severo) usando un PCR anidado dirigido contra el gen Spike coronavirus asi como el número de muestras positivas del número total de muestras y el porcentaje de muestras positivas (entre paréntesis).

Tabla 4: resultados de RT-PCR para muestras traqueales y de pulmón

Signos respiratorios	Traquea: No positivas	Muestras	Muestras pulmón	positivas	de	Muestras tráquea y p	posiitvas oulmón	de
Ninguno	11/42 (26.2%)		8/42 (19.1%	6)		2/42		
Leve	10/18 (55.6%)		4/18 (22.2%	6)		4/18		
Moderado	9/46 (19.6%)		8/46 (17.4%	6)		2/46		
Severo	2/13 (15.4%)		0/13			0/13		

Establecimiento de un ensayo serológico para CRCV

5

10

25

50

55

[0219] A causa de la homología del ADNc Spike de CRCV a la región Spike del coronavirus bovino, un antígeno ELISA para BCV fue usado para análisis serologico de CRCV.

- 15 [0220] Se ensayaron sueros de cinco perros sin historial de enfermedad respiratoria infecciosa que no habían sido alojados en la perrera investigada. Los valores OD son de -0.013 a 0.39 con una valor OD de media de 0.154. Ademas, suero de perros admitidos a una clinica veterinaria por razones varias fueron ensayados para anticuerpos para coronavirus. De ellos, 20 muestras mostraron un OD de <0.4 (-0.46 a 0.396) y 10 muestras mostraron un OD de >1.0 (1.012 a 1.949). Muestras con un OD de 0.6 o por encima fueron consideradas positivas posteriormene.
- 20 Comparación de la respuesta inmune a CRCV de perros con y sin enfermedad respiratoria

[0221] Se realizó el ELISA antígeno de BCV usando sueros pareados de 111 perros de la perrera de estudio. De ésos, 81 perros habian mostrado síntomas de enfermedad respiratoria durante un periodo de 21 dias y 30 habían permanecido saludables.

[0222] Del grupo de perros con enfermedad respiratoria, 17 fueron positivos para anticuerpos para CRCV en el dia de entrada dentro de la perrera y 64 fueron negativos.

[0223] De los 64 perros con anticuerpos no detectables a BCV el dia uno, 63 se probaron positivos el dia 21. Todos los 46 perros de esos 63 para los cuales una muestra el dia 7 estaba disponible dieron negativo el dia 7. Por tanto 63 perros mostraron una suero conversión durante el período de estudio por lo tanto únicamente un perro permaneció negativo.

- 30 **[0224]** De los 31 perros que habían permanecido sanos, 17 tenian anticuerpos a CRCV en el dia de entrada.. Todos los 13 perros que fueron negativos el dia 1 dieron negativo el dia 7 pero mostraron una suero conversión el dia 21.
 - [0225] Así, de los 34 perros que eran positivos para anticuerpos para CRCV a la llegada a la perrera, 17 desarrollaron enfermedad respiratoria (50%) mientras que de los 77 perros que fueron negativos a la llegada, 64 desarrollaron signos respiratorios durante el periodo de estudio (83.1%), (Figura 12).
- [0226] Por tanto perros que no habian tenido anticuerpos para CRCV a la entrada de la perrera tenian una probabilidad incrementada de desarrollar enfermedad respiratoria (p<0.001).
 - [0227] Solamente uno de los 77 perros que eran negativos a la llegada permaneció negativo durante el periodo de estudio de 21 dias mientras que 76 perros mostraron suero conversión.

Serologia usando antígeno de coronavirus entérico canino (CECV)

- [0228] Una prueba ELISA usando un antígeno coronavirus canino fue realizada para investigar si CRCV mostraba una reacción serológica cruzada a coronavirus entérico canino. Suero de 27 perros, previamente probado para anticuerpos a CRCV usando el antígeno BCV fueron seleccionados.
- [0229] Se encontró que ocho perros tenian anticuerpos a CECV en el dia de entrada en la perrera, de esos cuatro también tenían anticuerpos a CRCV. Diecinueve perros fueron hallados negativos para CECV en el dia 1, 17 de ésos eran también negativos para CRCV. De los 19 perros negativos, cinco mostraron una seroconversión a CECV durante el periodo de 21 días de la investigación y 17 mostraron una seroconversion a CRCV.
 - [0230] El análisis de la prevalencia de enfermedad respiratoria en este grupo mostró que seis de los ocho perros (75%) que eran positivos para anticuerpos a CECV en el dia 1 desarrollaron enfermedad respiratoria. Del grupo de 19 perros que no tenia anticuerpos detectables a CECV en el dia 1, 15 mostraron signos de enfermedad respiratoria (78.9%), (p=0.594).

Aislamiento de virus

[0231] Muestras de tejido traqueal de perro que son identificados como positivos para ARN CRCV por RT-PCR son inoculados en cultivos de fibroblastos de pulmón adulto canino y células MDCK. Para algunos ejemplos, el aislamiento de virus es también realizado sobre células A72. Los cultivos no muestran señal de un efecto citopatico durante 3 pasadas. Después de varias pasadas, es extraido ARN de los cultivos y probado para la presencia de ARN CRCV por RT-PCR.

Discusión

- [0232] Este estudio informa de la detección de un coronavirus novedoso, CRCV, en perros con enfermedad respiratoria en perreras.
- [0233] Se ha informado que los coronavirus causan enfermedad respiratoria de humanos, ganado bovino, porcino y aves de corral, pero su presencia en el tracto respiratorio de perros y una posible asociación con enfermedades

respiratorias caninas (ERIC) no ha sido determinada.

[0234] Fueron investigados perros de una perrera en que ERIC era endémica y no podia ser controlada por el uso de vacunas recomendadas contra ERIC. Muestras tomadas de el tracto respiratorio de esos perros fueron examinadas usando iniciadores RT-PCR dirigidos para el gen de polimerasa conservado de coronavirus (Stephensen *et al.*, 1999).

- [0235] Inicialmente, siete muestras traqueales fueron encontradas positivas: la secuencia de los productos RT-PCR fue determinada y comparada con todas las secuencias de gen de polimerasa de coronavirus. Este análisis reveló que la secuencia ADNc obtenida a partir de las muestras caninas tenía la semejanza más elevada con el gen polimerasa de coronavirus bovino (98.8%) y un coronavirus humano OC43 (98.4%) pero únicamente una semejanza muy baja con el gen de polimerasa del coronavirus canino entérico (cepa 1-71, 68.53% similitud).
- 10 [0236] Un análisis filogenético fue realizado usando secuencias de polimerasa de once coronavirus adicionales. El coronavirus detectado en el tracto respiratorio de perros (CRCV) fue localizado en una rama común con tres virus de grupo 2: BCV, HCV cepa OC43 y HEV. Sin embargo, se mostró que el coronavirus entérico canino, un coronavirus de grupo 1, estabaúnicamente relacionado de forma lejana.
- [0237] El coronavirus respiratorio canino por tanto es un coronavirus novedoso de perros que está mas cercanamente relacionado con BCV y HCV-OC43, ambos conocidos por causar enfermedad respiratoria.
 - **[0238]** Para obtener más información de secuencia y para además determinar la relación con otros coronavirus que usan un gen más variable, una parte del gen Spike fue analizada. Ya que CRCV habia sido mostrado ser más semejante con BCV y HCV-OC43, un alineamiento de las secuencias de sus genes Spike fue usado para diseñar un conjunto anidado de iniciadores. Fueron elegidos iniciadores anidados para conseguir una prueba más sensible.
- 20 [0239] La secuenciación de los productos de este RT-PCR confirmó la elevada similitud de CRCV con BCV y HCV-
 - [0240] La presencia de anticuerpos para CRCV fue analizada usando un ELISA basado en un antígeno BCV a causa de la elevada similitud de secuencia de los dos virus en el antígeno ADNc Spike. Los resultados de ELISA confirmaron la presencia de un virus similar a BCV en la población de estudio.
- 25 **[0241]** La prevalencia de anticuerpos fue del 30% en el momento de entrada en la perrera y 99% después de 21 días.
 - [0242] De forma interesente e inesperada, los análisis serológicos revelaron que perros con anticuerpos a CRCV en el dia de entrada a la perrera desarrollaron enfermedad respiratoria menos frecuentemente que perros sin anticuerpos (p<0.001). Por tanto la presencia de anticuerpos a CRCV tenía un efecto protector contra la enfermedad respiratoria en esta población.
- 30 [0243] Casi todos los perros negativos en el dia de entrada a la perrera mostraron una suero conversión a CRCV dentro de las tres semanas, indicando que el virus es altamente contagioso. La serologia usando una antígeno para coronavirus entérico canino (CECV) mostró una prevalencia mucho menor de anticuerpos a CECV en el dia 21. Por tanto los resultados de BCV-ELISA no reflejaron una infección con coronavirus entérico canino y la reactividad cruzada entre los dos antígenos parece ser baja.
- 35 **[0244]** Anticuerpos de suero a CRCV estaban presentes en alrededor del 30% de perros de varios origenes incluyendo perros entrando en una perrera de acogida asi como perros domésticos. La presencia de CRCV no está por tanto limitada a la perrera investigada y el virus parece estar establecida en la población canina.
- [0245] Por medio del PCR, fue detectado CRCV en tejido traqueal y de tejido de pulmón y por tanto parece infectar el tracto respiratorio superior e inferior de perros. Dentro de la población en perreras, CRCV-RNA fue detectado en el 27.3% de perros con todos los grados de enfermedad respiratoria asi como en el 26.2% de perros que estaban aparentemente sanos en el momento de la eutanasia.
 - [0246] Se halló CRCV-RNA más frecuentemente en la tráquea de perros con tos leve (55%). Estudios usando la cepa de coronavirus humano 229E han mostrado, que coronavirus pueden causar disrupción de epitelio respiratorio y disquinesia ciliar (Chilvers et al., 2001). Sin estar limitados por la teoría, creemos que una infección con CRCV tiene un
- efecto similar, y que el virus juega un papel importante en las etapas tempranas de la patogénesis de ERIC. Al dañar el epitelio respiratorio y romper la holgura ciliar CRCV facilita la entrada de otros patógenos virales o bacterianos. Por tanto mientras la infección de CRCV en sí misma puede causar solamente síntomas respiratorios leves, en conjunción con otros agentes patógenos podría llevar a enfermedad respiratoria severa.
- [0247] La patogénesis de ERIC no ha sido investigada a fondo desde los años 70 cuando se determinó que *Bordetella bronchiseptica*, adenovirus canino de tipo 2 y parainfluenza canina eran las principales causas de la enfermedad. Sin embargo la vacunación de todos los perros contra CPIV, CAV-2 y virus de moquillo no ayudó a controlar la enfermedad en esta perrera a pesar de la evidencia de que la mayoria de los perros respondieron a la vacuna dentro de los 21 días (datos no mostrados).
- [0248] Este estudio muestra una asociación de un coronavirus respiratorio canino novedoso con ERIC. La etiología de ERIC por tanto necesita ser reevaluada y el papel de microorganismos o microorganismos previamente no asociados con la enfermedad tiene que ser establecido.

Referencias [0249]

- Appel, M., and Binn L.N. (1987) Canine infectious tracheobronchitis, Short review: tos de perrera. En "Virus infections of carnivores" (M. Appel Ed.), 1st Edition, pp201-211 Elsevier Science Publishers, Amsterdam).
 - Bemis, D.A., Carmichael, L.E., and Appel, M.J. (1977). Naturally occurring respiratory disease in a kennel caused by Bordetella bronchiseptica. Cornell Vet. 67, 282-93.
- Binn, L.N., Alford, J. P., Marchwicki, R. H., Keefe, T.J., Beattie, R. J., and Wall, H.G. (1979). Studies of respiratory disease in random-source laboratory dogs: viral infections in unconditioned dogs. Lab Anim Sci. 29, 48-52
 - Binn, L. N., Eddy, G. A., Lazar, E. C., Helms, J., and Murnane, T. (1967). Viruses recovered from laboratory dogs with respiratory disease. Proc Soc Exp Biol Med 126, 140-5
 - Chilvers, M. A., McKean, M., Rutman, A., Myint, B. S., Silverman, M., and O'Callaghan, C. (2001). The effects of coronavirus on human nasal ciliated respiratory epithelium. Eur Respir J. 18, 965-70.
- Ditchfield, J., Macpherson, L. W., and Zbitnew, A. (1962). Association of a canine adenovirus (Toronto A 26/61) with an

- outbreak of laryngotracheitis ("kennel, cough"). Can. Vet. Jour. 3, 238-247
- Felsenstein, J. (1989). PHYLIP-Phylogeny Inference Package (Version 3.2c). Cladistics 5, 164-166

Ignjatovic, J., and Sapats, S. (2000). Avian infectious bronchitis virus. Rev Sci Tech. 19, 493-508.

- Karpas, A., King, N.W., Garcia, F.G., Calvo, F., and Cross, R.E. (1968). Canine tracheobronchitis: Isolation and characterization of the agent with experimental reproduction of the disease. Proc Soc Exp Biol Med. 127, 45-52.
 - Keil, D.J., and Fenwick, B. (1998). Role of Bordetella bronchiseptica in infectious tracheobronchitis in dogs. J Am Vet Med Assoc. 15, 200-7.
 - Lou, T.Y., and Wenner, H.A. (1963). Natural and experimental infection of dogs with reovirus, type1: pathogenicity of the strain for other animals. Am.J.Hyg. 77, 293-304.
- Makela, M.J., Puhakka, T., Ruuskanen, O., Leinonen, M., Saikku, P., Kimpimaki, M., Blomqvist, S., Hyypia, T., Arstila, P. (1998). Viruses and bacteria in the etiology of the common cold. J Clin Microbiol. 36, 539-42.
 - Page, R.D.M. Treeview: An application to display phylogenetic trees on personal computers. Computer Applications in the Biosciences 1996 12: 357-358
 - Pearson WR. Rapid and sensitive sequence comparison with FASTP and FASTA. Methods Enzymol. 1990;183: 63-98.
- Pensaert M, Callebaut P, Vergote J. Isolation of a porcine respiratory, non-enteric coronavirus related to transmissible gastroenteritis. Vet Q. 1986 Jul;8(3):257-61.
 - Randolph JF, Moise NS, Scarlett JM, Shin SJ, Blue JT, Bookbinder PR. Prevalence of mycoplasmal and ureaplasmal recovery from tracheobronchial lavages and prevalence of mycoplasmal recovery from pharyngeal swab specimens in dogs with or without pulmonary disease. Am J Vet Res. 1993 Mar;54(3):387-91.
- Spaan W, Cavanagh D, Horzinek MC. Coronavirus: structure and genome expression. J Gen Virol. 1988 Dec; 69 (Pt 12):2939-52. Stephensen CB, Casebolt DB, GangopadhyayNN. Phylogenetic analysis of a highly conserved región of the polymerase gene from 11 coronavirus and development of a consensus polymerase chain reaction assay. Virus Res. 1999 Apr;60(2):181-9.
- Storz J, Purdy CW, Lin X, Burrell M, Truax RE, Briggs RE, Frank GH, Loan RW Isolation of respiratory bovine coronavirus, other cytocidal viruses, and Pasteurella spp from cattle involved in two natural outbreaks of shipping fever. J Am Vet Med Assoc. 2000 May 15;216(10):1599-604.
 - Tennant BJ, Gaskell RM, Jones RC, Gaskell CJ. Studies on the epizootiology of canine coronavirus. Vet Rec. 1993 Jan 2;132(1):7-11.
- Thompson JD, Gibson TJ, Plewniak F, Jeanmougin F, Higgins DG The Clusta1X windows interface: flexible strategies for multiple sequence alignment aided by quality analysis tools. Nucleic Acids Res. 1997 Dec 15;25(24):4876-82. Example 2: Cloning and expression of CRCV Spike
 - [0250] El gen Spike de CRCV fue clonado usando los iniciadores listados en la Tabla 5 y usando la siguiente estrategia de clonación, que es ilustrada en la Figura 18.
 - 1. El gen Spike fue amplificado en cuatro fragmentos solapados (A,B,C,D).
- 35 2. El producto PCR Sp5-Sp2 (B) fue unido al producto Sp1-Sp8 (C) usando el sitio *Pvu*II en el solapamiento.
 - 3. Este fragmento fue clonado en el vector pT7blue2 (Novagen) usando los sitios de restricción Ncol y BstXI
 - 4. El fragmento de PCR SpFXho-Sp6 (A) fue unido a BC usando el sitio de restricción *Bst*XI en el solapamiento y el sitio *Xho*l que habia sido incorporado en el iniciador SpF-Xho.
- 5. El fragmento ABC fue movido dentro del vector de transferencia de baculovirus pMelBacB (Invitrogen) usando los sitios de restricción *Xho*l y *Nco*l.
 - 6. El fragmento de PCR Sp7-SpR-HisTag- Eco (D) fue unido a ABC usando el sitio de restricción *Nco*I en el solapamiento y el sitio *Eco*RI que había sido incorporado dentro del iniciador SpR-Eco-HisTag resultando en el gen Spike completo en pMelBacB (Spike MelBac). Este constructo contiene un HisTag (6xHis) en el extremo C terminus de la proteína expresada.
- 45 7. Para la expresión mamífera el gen completo fue movido a pSecTagA (Invitrogen) usando el sitio *Bam*HI en pMelBacB y el sitio *Eco*RI al final de ABCD resultando en el plásmido SpikeSecTag.

Construcción de un baculovirus recombinante

[0251] Una cotransfección fue realizada en células Sf9 usando el ADN de baculovirus de Bac-N-Blue (Invitrogen) y Spike MelBac. Se mostró que el baculovirus resultante (AcSpCRCV 1-11) contenía un inserto de extensión completa por iniciadores usando PCR (Invitrogen) situados corriente arriba y corriente debajo del sitio de recombinación.

Expresión en células mamíferas

50

[0252] El plásmido Spike SecTag fue transfectado dentro de células BHK-21 usando Lipofectamine (Invitrogen). La expresión de la proteína Spike fue analizada usando una muestra de suero procedente de un perro que se habia mostrado positivo para anticuerpos a CRCV usando ELISA (antígeno BCV obtenido de Churchill) y un suero de control

positivo para BCV obtenido de Churchill (pollo anti BCV). Las células transfectadas mostraron una señal positiva en una prueba de inmunoflorescencia usando suero canino o de pollo y un conjugado etiquetado de FITC (IgG anti-perro FITC o IgG anti pollo FITC)

Tabla 5: Iniciadores designados de un alineamiento	ın alineamiento de los genes Spike de coronavirus bovino (GenBank accession №. AF058942) y coronavirus humano, OC43 GenBank accession №. L14643)	.) y coronavirus humano,
Nombre	Secuencia	Localización en BCV
Sp 1	5'-CTT-ATA-AGT-GCC-CCC-AAA-CTA-AAT	1637-1660
Sp 2	5'-CCT-ACT-GTG-AGA-TCA-CAT-GTT-TG	2258-2236
Sp 3	5'-GTT-GGC-ATA-GGT-GAG-CAC-TG	1666-1686
Sp 4	5'-GCA-ATG-CTG-GTT-CGG-AAG-AG	2107-2088
Sp 5	5'-AAC-GGT-TAC-ACT-GTT-CAG-CC	931-950
Sp 6	5'-CAA-GTA-AAT-GAG-TCT-GCC-TG	1121-1102
Sp 7	5'-GGC-TGC-CTC-TGC-TAG-TC	2919-2938
Sp 8	AA 5'-ATT-GTT-AAA-TGC-ATT-AGC-AAT-AAG- C	3069-3045
SpF	5'-TTT-TTG-ATA-CTT-TTA-ATT-TCC-TTA-CC	4-29
SpR	5'-GTC-GTC-ATG-TGA-WGT-TTT-RAT-TAC	4089-4066
SpF-Xhol	5'-AGC-TCG-AGC-TTT-TTG-ATA-CTT-TTA-ATT-TCC-TTA-CC	
SpR His- <i>co</i> RI	5'-TT G-AAT-T C <u>T-TAA-TGA-TGA-TGA-TGA-TG</u> G-TCG-TCA-TGT-GAW-GTT-TTR-ATT- AC	
SpF-Xbol contiene un sitio Xho I (negrita). SpR-His-EcoR). SpR-His-EcoR Lcontiene un <u>E</u> xHisTag (dsybrayado doble), un codóg de parada (subrayado) <u>v</u> un EcoR I <u>siti</u> o (negrita) ა ა	EcoR I <u>siti</u> o (negrita)

Reivindicaciones

- 1. Una composición de vacuna para vacunar perros, la composición comprendiendo:
 - un coronavirus respiratorio canino (CRCV) que comprende una proteína Spike (S) teniendo la secuencia aminoácida listada en la Figura 4, o
 - una proteína S coronaviral teniendo al menos 97% de identidad aminoácida con la secuencia aminoácida de la Figura 4, o un fragmento inmunogénico de la Figura 4 de al menos 200 aminoácidos longitud, o un ácido nucleico que codifica dicha proteína S coronaviral o dicho fragmento inmunogénico de la Figura 4.
- Una composición de vacuna según la Reivindicación 1 en la que la proteína S coronaviral tiene al menos 98% de identidad con la secuencia aminoácida de la Figura 4.
- 3. Una composición de vacuna según la Reivindicación 2 en la que la proteína S coronaviral tiene al menos 99% de identidad con la secuencia aminoácida de la Figura 4.
- 4. Un composición de vacuna según cualquiera de las Reivindicaciones 1-3 en donde la proteína S coronaviral es una proteína aislada o recombinante.
- 5. Una composición de vacuna según cualquiera de las Reivindicaciones 1-4 y también comprendiendo un adyuvante farmacéuticamente aceptable.
- **6.** Una composición de vacuna según cualquiera de las Reivindicaciones 1-5, además comprendiendo uno cualquiera o más de:

un agente capaz de aumentar una respuesta inmune en un perro contra el virus parainfluenza canino; un agente capaz de aumentar una respuesta inmune en un perro contra el tipo 2 de virus adeno canino; un agente capaz de aumentar una respuesta inmune en un perro contra virus de herpes canino; y un agente capaz de aumentar una respuesta inmune en un perro contra *Bordetella bronchiseptica*.

- 7. Una proteína S de coronavirus teniendo al menos 97% de identidad de secuencia aminoácida con la secuencia listada en la Figura 4 para uso en medicina.
- 8. Una proteína S de coronavirus para uso según la Reivindicación 7 que es una proteína recombinante o aislada.
- 9. Uso de un coronavirus que tiene una proteína S con al menos 90% de identidad aminoácida con la secuencia aminoácida de la Fig. 4 o una proteína S coronaviral teniendo al menos 90% de identidad aminoácida con la secuencia aminoácida de la Figura 4 o un fragmento inmunogénico de la misma, o un ácido nucleico que codifica dicha proteína S coronaviral o dicho fragmento inmunogénico de la misma, en la preparación de un medicamento para estimular una respuesta inmune contra el coronavirus respiratorio canino en un perro.
- 10. El uso de un coronavirus teniendo una proteína S con al menos 90% de identidad aminoácida con la secuencia aminoácida de la Fig. 4 o una proteína S coronaviral teniendo al menos 90% de identidad aminoácida con la secuencia aminoácida de la Fig. 4, o un fragmento inmunogénico de la misma, o un ácido nucleico que codifica dicha proteína S coronaviral o dicho fragmento inmunogénico de la misma, en la preparación de un medicamento para profilaxis de enfermedad respiratoria en un perro.
- **11.** El uso según la Reivindicación 9 o 10 en donde el coronavirus comprende una proteína S teniendo al menos 95% de identidad aminoácida con la secuencia aminoácida de la Fig. 4.
- **12.** El uso según la Reivindicación 11 en donde el coronavirus es CRČV que comprende una proteína S teniendo la secuencia aminoácida de la Fig. 4.
- **13.** El uso según la Reivindicación 9 o 10 en donde la proteína S coronaviral tiene al menos 95% de identidad aminoácida con la secuencia aminoácida de la Fig. 4.
- **14.** El uso según la Reivindicación 13 en donde la proteína S coronaviral tiene al menos 97% de identidad aminoácida con la secuencia aminoácida de la Fig. 4.
- 15. El uso según cualquiera de las Reivindicaciones 9-10 y 13-14 en donde la proteína S coronaviral comprende al menos uno de V en la posición 103; V en la posición 118; D en la posición 166; M en la posición 171; K en la posición 179; P en la posición 192; S en la posición 210; H en la posición 235; F en la posición 267; F en la posición 388; M en la posición 407; S en la posición 436; I en la posición 440; I en la posición 447; F en la posición 501; Y en la posición 525; N en la posición 528; L en la posición 540; K en la posición 582; G en la posición 608; G en la posición 692; S en la posición 695; W en la posición 757; G en la posición 758; Q en la posición 763; T en la posición 769; P en la posición 786; H en la posición 933; F en la posición 818; P en la posición 827; V en la posición 828; F en la posición 887; D en la posición 1256; y M en la posición 1257.
- **16.** El uso según cualquiera de las Reivindicaciones 9-10 y 13-15 en donde la proteína S coronaviral comprende la secuencia aminoácida de la Figura 4.
- **17.** El uso según las Reivindicaciones 9-10 y 13-16 en donde la proteína S coronaviral en una proteína aislada o recombinante.
- **18.** Una composición de vacuna según cualquiera de las Reivindicaciones 1, 5 o 6, en donde el coronavirus ha sido atenuado o inactivado.
- 19. Un uso según cualquiera de las Reivindicaciones 9-12, en donde el coronavirus ha sido atenuado o inactivado.
- 20. Una composición comprendiendo un coronavirus que tiene una proteína S con al menos 90% de identidad aminoácida con la secuencia aminoácida de la Figura 4, o una proteína S coronaviral teniendo al menos 90% de identidad aminoácida con la secuencia aminoácida de la Figura 4, o un fragmento inmunogénico de la misma, o un ácido nucleico que codifica dicha proteína S coronaviral o dicho fragmento inmunogénico de la misma, para uso para estimular una respuesta inmune contra el coronavirus respiratorio canino en un perro, o para uso en profilaxis de enfermedad respiratoria en un perro.
- 21. Una composición para uso según la Reivindicación 20 en donde el coronavirus comprende una proteína S teniendo al menos 95% de identidad aminoácida con la secuencia aminoácida de la Figura 4.
- **22.** Una composición para uso según la Reivindicación 21 en donde el coronavirus es CRCV que comprende una proteína S que tiene la secuencia aminoácida de la Figura 4.
- 23. Una composición para uso según cualquiera de las Reivindicaciones 20-22 en donde el coronavirus ha sido atenuado o inactivado.

5

10

15

20

25

30

35

40

45

50

55

60

65

70

- 24. Una composición para uso según la Reivindicación 20 en donde la proteína coronaviral tiene al menos 95% de identidad aminoácida con la secuencia aminoácida de la Figura 4.
- 25. Una composición para uso según la Reivindicación 24 en donde la proteína S coronaviral tiene al menos 97% de identidad aminoácida con la secuencia aminoácida de la Figura 4.
- 26. Una composición para uso según cualquiera de las Reivindicaciones 20, 24 y 25 en donde la proteína S coronaviral comprende al menos uno de V en la posición 103; V en la posición 118; D en la posición 166; M en la posición 171; K en la posición 179; P en la posición 192; S en la posición 210; H en la posición 235; F en la posición 267; F en la posición 388; M en la posición 407; S en la posición 436; I en la posición 440; I en la posición 447; F en la posición 501; Y en la posición 525; N en la posición 528; L en la posición 540; K en la posición 582; G en la posición 608; G en la posición 692; S en la posición 695; W en la posición 757; G en la posición 758; Q en la posición 763; T en la posición 769; P en la posición 786; H en la posición 792; R en la posición 818; P en la posición 827; V en la posición 828; F en la posición 887; D en la posición 933; F en la posición 977; T en la posición 1011; S en la posición 1018; K en la posición 1063; L en la posición 1256; y M en
- 27. Una composición para uso según cualquiera de las Reivindicaciones 20 y 24-26 en donde la proteína S coronaviral comprende la secuencia aminoácida de la Figura 4.
 - 28. Una composición para uso según cualquiera de las Reivindicaciones 20 y 24-27 en donde la proteína S coronaviral es una proteína aislada o recombinante.

21

5

10

15

		FIG	SURA1 K			
				-		
ctcagatgaa	tttgaaatat	gctattagtg	ctaagaatag	agcccgcact	gttgctggtg	60
tttccatact	tagtactatg	actggcagaa	tgtttcatca	aaaatgtttg	aaaagtatag	120
cagctacacg	tggtgttcct	gttgttatag	gcaccactaa	attttatggc	ggctgggatg	180
atatgttacg	tcgccttatt	aaagatgttg	acaatcctgt	acttatgggt	tgggattatc	240
ctaagtgtga						250
		\$				
			v			
		FIC	SURA 2			
QMNLKYAISA	KNRARTVAGV	SILSTMTGRM	FHQKCLKSIA	ATRGVPVVIG	TTKFYGGWDD	60
MLRRLIKDVE	NPVLMGWDYP	KCE				84

FIGURA 3 (Página 1 de 2)

atgtttttga	tacttttaat	ttccttacca	atggcttttg	ctgttatagg	agatttaaag	60
tgtactacgg	tttccatcaa	tgatgttgac	accggtgctc	cttctattag	cactgatgtt	120
gtcgatgtta	ctaatggttt	aggtacttat	tatgttttag	atcgtgtgta	tttaaatact	180
acattgttgc	ttaatggtta	ttatcctact	tcaggttcta	catatcgtaa	tatggcactg	240
aagggaactt	tactattgag	cacactatgg	tttaaaccac	catttcttc	tgattttatt	. 300
gatggtgttt	ttgctaaggt	aaaaaatacc	aaggttatta	aagatggtgt	agtgtatagt	360
gagtttcctg	ctataactat	aggtagtact	tttgtaaata	catcctatag	tgtggtagta	420
caaccacata	ctactaattt	agataataaa	ttacaaggtc	tcttagagat	ctctgtttgc	480
cagtatacta	tgtgcgatta	cccacatacg	atgtgtcatc	ctaatctggg	taataaacgc	540
atagaactat	ggcattggga	tacaggtgtt	gttccctgtt	tatataagcg	taatttcaca	600
tatgatgtga	atgctgatta	tttgtattcc	catttttatc	aagaaggtgg	tactttttat	660
gcatatttta	cagacactgg	tgttgttact	aagtttctgt	ttcatgttta	tttaggcacg	720
gtgctttcac	attattatgt	catgcccttg	acttgtaata	gtgctatgac	tttagaatac	780
tgggttacac	ctctcacttt	taaacaatat	ttactcgctt	tcaatcaaga	tggtgttatt	840
tttaatgctg	ttgattgtaa	gagtgatttt	atgagtgaga	ttaagtgtaa	aacactatct	900
atagcaccat	ctactggtgt	ttatgaatta	aacggttaca	ctgttcagcc	aattgcagat	960
gtttaccgac	gtatacctaa	tcttcccgat	tgtaatatag	aggcttggct	taatgataag	1020
tcggtgcctt	ctccattaaa	ttgggaacgt	aagacctttt	caaattgtaa	ttttaatatg	1080
agcagcctga	tgtcttttat	ccaggctgac	tcgtttactt	gtaataatat	tgatgctgct	1140
aagatatacg	gtatgtgttt	tttcagcata	actatagata	agtttgctat	acccaatggt	1200
aggaaggttg	acctacaaat	gggcaatttg	ggctatttgc	agtcttttaa	ctatagaatt	1260
gatactactg	ctacaagttg	tcagttgtat	tataatttac	ctgctagtaa	tgtttctatt	1320
agcaggttta	atccttctat	ttggaatagg	agatttggtt	ttacagaaca	atctgtttt	1380
aagcctcaac	ctgtaggtgt	ttttactgat	catgatgttg	tttatgcaca	acattgtttt	1440
aaagctccca	caaatttctg	tccgtgtaaa	ttgaatgggt	ctttgtgtgt	aggtagtggt	1500
tttggtatag	atgctggtta	taaaaatagt	ggtataggca	cttgtcctgc	aggtactaat	1560
tatttaactt	gttataatgc	taaccaatgt	gattgtttgt	gcactccaga	ccctatttta	1620
tctaaatcta	cagggcctta	taagtgcccc	caaactaaat	acttagttgg	cataggtgag	1680
cactgttctg	gtcttgctat	taaaagtgat	tattgtggag	gcaatccttg	tacttgccaa	1740
ccaaaagcat	ttttgggttg	gtctgtggac	tcttgtttac	aaggggatag	gtgtaatatt	1800
tttgctaatt	ttattttgca	tggtgttaat	agtggtacta	cttgttctac	tgatttacaa	1860
aaatcaaaca	cagacataat	tcttggtgtt	tgtgttaatt	atgatcttta	tggtattaca	1920
ggccaaggta	tttttgttga	ggttaatgcg	acttattata	atagttggca	gaacctttta	1980
tatgattcta	atggtaatct	ctatggtttt	agggactact	taacaaacag	aacttttatg	2040
attcgtagtt	gctatagcgg	tcgtgtttca	gcgggctttc	actctaactc	ttccgaacca	2100
gcattgctat	ttcggaatat	taaatgcaat	tacgttttta	ataatactct	ttcacgacag	2160
ctgcaaccta	ttaactattt	tgatagttat	cttggttgtg	ttgtcaatgc	tgataatagt	2220

FIGURA 3 (Página 2 de 2)

acttctagtt	ctgttcaaac	atgtgatctc	acagtaggta	gtggttactg	gggggattac	2280
tctacacaaa	gacgaagtcg	tagaacgatt	accactggtt	atcggtttac	taattttgag	2340
ccatttactg	ttaatccagt	aaatgatagt	ttacaccctg	taggtggttt	gtatgaaatt	2400
caaatacctt	cagagtttac	tataggtaat	atggaggagt	ttattcaaac	aagatctcct	2460
aaagttacta	ttgattgtcc	tgtttttgtc	tgtggtgatt	atgcagcatg	taaatcacag	2520
ttggttgaat -	atggtagttt	ttgtgacaat	attaatgcta	tactcacaga	agtaaatgaa	2580
ctacttgaca	ctacacagtt	gcaagtagct	aatagtttaa	tgaatggtgt	cactcttagc	2640
actaagctta	aagatggctt	taatttcaat	gtagatgaca	tcaattttc	ccctgtatta	2700
ggttgtttag	gaagcgaatg	taataaagtt	tccagtagat	ctgctataga	ggatttactt	2760
ttttctaaag	taaagttatc	tgatgttggt	tttgttgatg	cttataataa	ttgtactgga	2820
ggtgccgaaa	ttagggacct	catttgtgtg	caaagttata	atggtatcaa	agtgttgcct	2880
ccactgctct	cagaaaatca	gatcagtgga	tacactttgg	ctgccacctt	tgctagtctg	2940
tttcctcctt	ggtcagcagc	agcaggcgta	ccattttatt	taaatgttca	gtatcgtatt	3000
aatggtattg	gtgttaccat	ggatgtgcta	actcaaaatc	aaaagcttat	ttctaatgca	3060
tttaacaatg	cccttgatgc	tattcaggaa	gggtttgatg	ctaccaattc	tgctttagtt	3120
aaaattcaag	ctgttgttaa	tgcaaatgct	gaagctctta	ataacttatt	gcaacaactc	3180
tctaataaat	ttggtgctat	aagtgcttct	ttacaagaaa	ttctatctag	acttgatgct	3240
cttgaagcgc	aagctcagat	agacagactt	atcaatgggc	gtcttaccgc	tcttaatgct	3300
tatgtttctc	aacagcttag	tgattctaca	ctagtaaaat	ttagtgcagc	acaagctatg	3360
gagaaggtta	atgaatgtgt	caaaagccaa	tcatctagga	taaatttttg	tggtaatggt	3420
aatcatatta	tatcattagt	gcagaatgct	ccatatggtt	tgtattttat	ccactttagc	3480
tatgtcccta	ctaagtatgt	cactgcgaag	gttagtcccg	gtctgtgcat	ygcaggtgat	3540
agaggtatag	ctcctaagag	tggttatttt	gttaatgtaa	ataacacttg	gatgttcact	3600
ggtagtggtt	attactaccc	tgaacctata	actggaaata	atgtggttgt	tatgagtacc	3660
tgtgctgtta	actatactaa	agcaccggat	gtaatgctga	acatttcaac	acccaacctc	3720
cctgatttta	aggaagagtt	ggatcaatgg	tttaaaaacc	aaacattaat	ggcaccagat	3780
ttgtcacttg	attatataaa	tgttacattc	ttggacctac	aagatgaaat	gaataggtta	3840
caggaggcaa	taaaagtttt	aaatcatagc	tacatcaatc	tcaaggacat	tggtacatat	3900
gaatattatg	taaaatggcc	ttggtatgta	tggcttttaa	ttggccttgc	tggcgtagct	3960
atgcttgttt	tactattctt	catatgctgt	tgtacaggat	gtgggactag	ttgttttaag	4020
aaatgcggtg	gttgttgtga	tgattatact	ggacatcagg	agttagtaat	caaaacgtca	4080
catgacgact	aa					4092

FIGURA 4

FLILLISLP	MAFAVIGDLK	CTTVSINDVD	TGAPSISTDV	VDVTNGLGTY	YVLDRVYLNT	60
LLLNGYYPT	SGSTYRNMAL	KGTLLLSTLW	FKPPFLSDFI	DGVFAKVKNT	KVIKDGVVYS	120
FPAITIGST	FVNTSYSVVV	QPHTTNLDNK	LQGLLEISVC	QYTMCDYPHT	MCHPNLGNKR	180
ELWHWDTGV	VPCLYKRNFT	YDVNADYLYS	HFYQEGGTFY	AYFTDTGVVT	KFLFHVYLGT	240
LSHYYVMPL	TCNSAMTLEY	WVTPLTFKQY	LLAFNQDGVI	FNAVDCKSDF	MSEIKCKTLS	300
APSTGVYEL	NGYTVQPIAD	VYRRIPNLPD	CNIEAWLNDK	SVPSPLNWER	KTFSNCNFNM	360
SLMSFIQAD	SFTCNNIDAA	KIYGMCFFSI	TIDKFAIPNG	${\tt RKVDLQMGNL}$	GYLQSFNYRI	420
TTATSCQLY	YNLPASNVSI	SRFNPSIWNR	RFGFTEQSVF	KPQPVGVFTD	HDVVYAQHCF	480
APTNFCPCK	LNGSLCVGSG	FGIDAGYKNS	GIGTCPAGTN	YLTCYNANQC	DCLCTPDPIL	540
KSTGPYKCP	QTKYLVGIGE	HCSGLAIKSD	YCGGNPCTCQ	PKAFLGWSVD	SCLQGDRCNI	600
ANFILHGVN	${\tt SGTTCSTDLQ}$	KSNTDIILGV	CVNYDLYGIT	GQGIFVEVNA	TYYNSWQNLL	660
DSNGNLYGF	RDYLTNRTFM	IRSCYSGRVS	AGFHSNSSEP	ALLFRNIKCN	YVFNNTLSRQ	720
OPINYFDSY	LGCVVNADNS	TSSSVQTCDL	TVGSGYWGDY	STQRRSRRTI	TTGYRFTNFE	780
FTVNPVNDS	LHPVGGLYEI	QIPSEFTIGN	MEEFIQTRSP	KVTIDCPVFV	CGDYAACKSQ	840
VEYGSFCDN	INAILTEVNE	LLDTTQLQVA	NSLMNGVTLS	TKLKDGFNFN	VDDINFSPVL	900
CLGSECNKV	SSRSAIEDLL	FSKVKLSDVG	FVDAYNNCTG	GAEIRDLICV	QSYNGIKVLP	960
LLSENQISG	YTLAATFASL	FPPWSAAAGV	PFYLNVQYRI	NGIGVTMDVL	TQNQKLISNA	1020
NNALDAIQE	GFDATNSALV	KIQAVVNANA	EALNNLLQQL	SNKFGAISAS	LQEILSRLDA	1080
EAQAQIDRL	INGRLTALNA	YVSQQLSDST	LVKFSAAQAM	EKVNECVKSQ	SSRINFCGNG	1140
HIISLVQNA	PYGLYFIHFS	YVPTKYVTAK	VSPGLCIAGD	RGIAPKSGYF	VNVNNTWMFT	1200
SGYYYPEPI	TGNNVVVMST	CAVNYTKAPD	VMLNISTPNL	PDFKEELDQW	FKNQTLMAPD	1260
SLDYINVTF	LDLQDEMNRL	QEAIKVLNHS	YINLKDIGTY	EAAAKMBMAA	WLLIGLAGVA	1320
LVLLFFICC	CTGCGTSCFK	KCGGCCDDYT	GHQELVIKTS	HDD		1363
	LLLNGYYPT FPAITIGST ELWHWDTGV LSHYYVMPL APSTGVYEL SLMSFIQAD TTATSCQLY APTNFCPCK KSTGPYKCP ANFILHGVN DSNGNLYGF QPINYFDSY FTVNPVNDS VEYGSFCDN CLGSECNKV LLSENQISG NNALDAIQE EAQAQIDRL HIISLVQNA SGYYYPEPI SLDYINVTF	LLLNGYYPT SGSTYRNMAL FPAITIGST FVNTSYSVVV ELWHWDTGV VPCLYKRNFT LSHYYVMPL TCNSAMTLEY APSTGVYEL NGYTVQPIAD SLMSFIQAD SFTCNNIDAA TTATSCQLY YNLPASNVSI APTNFCPCK LNGSLCVGSG KSTGPYKCP QTKYLVGIGE ANFILHGVN SGTTCSTDLQ DSNGNLYGF RDYLTNRTFM QPINYFDSY LGCVVNADNS FTVNPVNDS LHPVGGLYEI VEYGSFCDN INAILTEVNE CLGSECNKV SSRSAIEDLL LLSENQISG YTLAATFASL NNALDAIQE GFDATNSALV EAQAQIDRL INGRLTALNA HIISLVQNA PYGLYFIHFS SGYYYPEPI TGNNVVVMST SLDYINVTF LDLQDEMNRL	LLLNGYYPT SGSTYRNMAL KGTLLLSTLW FPAITIGST FVNTSYSVVV QPHTTNLDNK ELWHWDTGV VPCLYKRNFT YDVNADYLYS LSHYYVMPL TCNSAMTLEY WVTPLTFKQY APSTGVYEL NGYTVQPIAD VYRRIPNLPD SLMSFIQAD SFTCNNIDAA KIYGMCFFSI TTATSCQLY YNLPASNVSI SRFNPSIWNR APTNFCPCK LNGSLCVGSG FGIDAGYKNS KSTGPYKCP QTKYLVGIGE HCSGLAIKSD ANFILHGVN SGTTCSTDLQ KSNTDIILGV DSNGNLYGF RDYLTNRTFM IRSCYSGRVS QPINYFDSY LGCVVNADNS TSSSVQTCDL FTVNPVNDS LHPVGGLYEI QIPSEFTIGN VEYGSFCDN INAILTEVNE LLDTTQLQVA CLGSECNKV SSRSAIEDLL FSKVKLSDVG LLSENQISG YTLAATFASL FPPWSAAAGV NNALDAIQE GFDATNSALV KIQAVVNANA EAQAQIDRL INGRLTALNA YVSQQLSDST HIISLVQNA PYGLYFIHFS YVPTKYVTAK SGYYYPEPI TGNNVVVMST CAVNYTKAPD SLDYINVTF LDLQDEMNRL QEAIKVLNHS	LLLNGYYPT SGSTYRNMAL KGTLLLSTLW FKPPFLSDFI FPAITIGST FVNTSYSVVV QPHTTNLDNK LQGLLEISVC ELWHWDTGV VPCLYKRNFT YDVNADYLYS HFYQEGGTFY LSHYYVMPL TCNSAMTLEY WVTPLTFKQY LLAFNQDGVI APSTGVYEL NGYTVQPIAD VYRRIPNLPD CNIEAWLNDK SLMSFIQAD SFTCNNIDAA KIYGMCFFSI TIDKFAIPNG TTATSCQLY YNLPASNVSI SRFNPSIWNR RFGFTEQSVF APTNFCPCK LNGSLCVGSG FGIDAGYKNS GIGTCPAGTN KSTGPYKCP QTKYLVGIGE HCSGLAIKSD YCGGNPCTCQ ANFILHGVN SGTTCSTDLQ KSNTDILLGV CVNYDLYGIT DSNGNLYGF RDYLTNRTFM IRSCYSGRVS AGFHSNSSEP QPINYFDSY LGCVVNADNS TSSSVQTCDL TVGSGYWGDY FTVNPVNDS LHPVGGLYEI QIPSEFTIGN MEEFIQTRSP VEYGSFCDN INAILTEVNE LLDTTQLQVA NSLMNGVTLS CLGSECNKV SSRSAIEDLL FSKVKLSDVG FVDAYNNCTG LLSENQISG YTLAATFASL FPPWSAAAGV PFYLNVQYRI NNALDAIQE GFDATNSALV KIQAVVNANA EALNNLLQQL EAQAQIDRL INGRLTALNA YVSQQLSDST LVKFSAAQAM HIISLVQNA PYGLYFIHFS YVPTKYVTAK VSPGLCIAGD SGYYYPEPI TGNNVVMST CAVNYTKAPD VMLNISTPNL SLDYINVTF LDLQDEMNRL QEAIKVLNHS YINLKDIGTY	LLLNGYYPT SGSTYRNMAL KGTLLLSTLW FKPPFLSDFI DGVFAKVKNT FPAITIGST FVNTSYSVVV QPHTTNLDNK LQGLLEISVC QYTMCDYPHT ELWHWDTGV VPCLYKRNFT YDVNADYLYS HFYQEGGTFY AYFTDTGVVT LSHYYVMPL TCNSAMTLEY WVTPLTFKQY LLAFNQDGVI FNAVDCKSDF APSTGVYEL NGYTVQPIAD VYRRIPNLPD CNIEAWLNDK SVPSPLNWER SLMSFIQAD SFTCNNIDAA KIYGMCFFSI TIDKFAIPNG RKVDLQMGNL TTATSCQLY YNLPASNVSI SRFNPSIWNR RFGFTEQSVF KPQPVGVFTD APTNFCPCK LNGSLCVGSG FGIDAGYKNS GIGTCPAGTN YLTCYNANQC KSTGPYKCP QTKYLVGIGE HCSGLAIKSD YCGGNPCTCQ PKAFLGWSVD ANFILHGVN SGTTCSTDLQ KSNTDILLGV CVNYDLYGIT GQGIFVEVNA DSNGNLYGF RDYLTNRTFM IRSCYSGRVS AGFHSNSSEP ALLFRNIKCN QPINYFDSY LGCVVNADNS TSSSVQTCDL TVGSGYWGDY STQRRSRRTI FTVNPVNDS LHPVGGLYEI QIPSEFTIGN MEEFIQTRSP KVTIDCPVFV VEYGSFCDN INAILTEVNE LLDTTQLQVA NSLMNGVTLS TKLKDGFNFN CLGSECNKV SSRSAIEDLL FSKVKLSDVG FVDAYNNCTG GAEIRDLICV LLSENQISG YTLAATFASL FPPWSAAAGV PFYLNVQYRI NGIGVTMDVL NNALDAIQE GFDATNSALV KIQAVVNANA EALNNLLQQL SNKFGAISAS EAQAQIDRL INGRLTALNA YVSQQLSDST LVKFSAAQAM EKVNECVKSQ HIISLVQNA PYGLYFIHFS YVPTKYVTAK VSPGLCIAGD RGIAPKSGYF SGYYYPEPI TGNNVVMST CAVNYTKAPD VMLNISTPNL PDFKEELDQW	FILILISLP MAFAVIGDLK CTTVSINDVD TGAPSISTDV VDVTNGLGTY YVLDRVYLNT LLLNGYYPT SGSTYRNMAL KGTLLLSTLW FKPPFLSDFI DGVFAKVKNT KVIKDGVVYS FPAITIGST FVNTSYSVVV QPHTTNLDNK LQGLLEISVC QYTMCDYPHT MCHPNLGNKR ELWHWDTGV VPCLYKRNFT YDVNADYLYS HFYQEGGTFY AYFTDTGVVT KFLFHVYLGT LSHYYVMPL TCNSAMTLEY WVTPLTFKQY LLAFNQDGVI FNAVDCKSDF MSEIKCKTLS APSTGVYEL NGYTVQPIAD VYRRIPNLPD CNIEAWLNDK SVPSPLNWER KTFSNCNFNM SLMSFIQAD SFTCNNIDAA KIYGMCFFSI TIDKFAIPNG RKVDLQMGNL GYLQSFNYRI TTATSCQLY YNLPASNVSI SRFNPSIWNR RFGFTEQSVF KPQPVGVFTD HDVVYAQHCF APTNFCPCK LNGSLCVGSG FGIDAGYKNS GIGTCPAGTN YLTCYNANQC DCLCTPDPIL KSTGPYKCP QTKYLVGIGE HCSGLAIKSD YCGGNPCTCQ PKAFLGWSVD SCLQGDRCNI ANFILHGVN SGTTCSTDLQ KSNTDIILGV CVNYDLYGIT GQGIFVEVNA TYYNSWQNLL DSNGNLYGF RDYLTNRTFM IRSCYSGRVS AGFHSNSSEP ALLFRNIKCN YVFNNTLSRQ QPINYFDSY LGCVVNADNS TSSSVQTCDL TVGSGYWGDY STQRRSRRTI TTGYRFTNFE TVNPVNDS LHPVGGLYEI QIPSEFTIGN MEEFIQTRSP KVTIDCPVFV CGDYAACKSQ VEYGSFCDN INAILTEVNE LLDTTQLQVA NSLMNGVTLS TKLKDGFNFN VDDINFSPVL CLGSECNKV SSRSAIEDLL FSKVKLSDVG FVDAYNNCTG GAEIRDLICV QSYNGIKVLP LLSENQISG YTLAATFASL FPPWSAAAGV PFYLNVQYRI NGIGVTMDVL TQNQKLISNA NNALDAIQE GFDATNSALV KIQAVVNANA EALNNLLQQL SNKFGAISAS LQEILSRLDA EAQAQIDRL INGRLTALNA YVSQQLSDST LVKFSAAQAM EKVNECVKSQ SSRINFCGNG HIISLVQNA PYGLYFIHFS YVPTKYVTAK VSPGLCIAGD RGIAPKSGYF VNVNNTWMFT SGYYYPEPI TGNNVVMST CAVNYTKAPD VMLNISTPNL PDFKEELDQW FKNQTLMAPD SLDYINVTF LDLQDEMNRL QEAIKVLNHS YINLKDIGTY EYYVKWPWYV WLLIGLAGVA LVLLFFICC CTGCGTSCFK KCGGCCDDYT GHQELVIKTS HDD

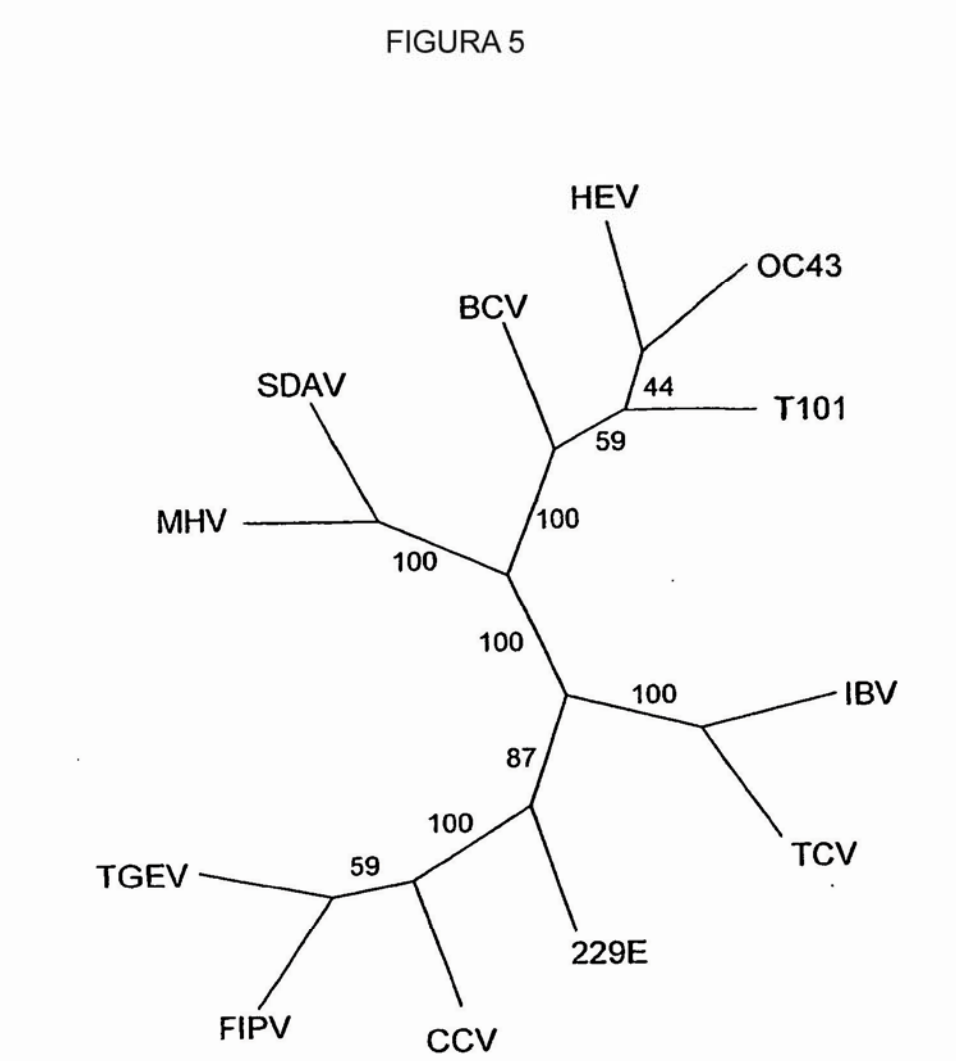


FIGURA 6

T101 BCV OC43 HEV CCV	CTCAGATGAATTTGAAATATGCTATTAGTGCTAAGAATAGAGCCCGCACTGTTGCTGGTG CTCAAATGAATTTGAAATATGCTATTAGTGCTAAGAATAGAGCCCGCACTGTTGCTGGTG CTCAAATGAATTTGAAATATGCTATTAGTGCTAAGAATAGAGCCCGCACTGTTGCTGGTG CTCAAATGAATTTGAAATATGCTATTAGTGCCAAGAATAGAGCCCGCACTGTTGCTGGTG CTCAGATGAATTTGAAATATGCTATTTCTGGAAAGGCTAGAGCTCGTACAGTAGGAGGAG **** **************************
T101 BCV OC43 HEV CCV	TTTCCATACTTAGTACTATGACTGGCAGAATGTTTCATCAAAAATGTTTGAAAAGTATAG TTTCCATACTCAGTACTATGACTGGCAGAATGTTTCATCAAAAATGTTTGAAAAGTATAG TTTCCATACTTAGTACTATGACTGGCAGAATGTTTCATCAAAAATGTTTGAAAAGTATAG TTTCCATACTTAGTACTATGACTGGCAGAATGTTTCATCAAAAATGCTTGAAAAGTATAG TTTCACTTCTTTCTACCATGACTACGAGACAATACCACCAGAAGCATTTGAAGTCAATTG ****
T101 BCV OC43 HEV CCV	CAGCTACACGTGGTGTTCCTGTTGTTATAGGCACCACTAAATTTTATGGCGGCTGGGATG CAGCTACACGTGGTGTTCCTGTTGTTATAGGCACCACTAAGTTTTATGGCGGCTGGGATG CAGCTACACGTGGTGTTCCTGTAGTTATAGGCACCACTAAATTTTATGGTGGCTGGGATG CAGCTACACGTGGCGTTCCTGTGGTTATAGGCACCACTAAATTTTATGGCGGCTGGGATG CTGCAACACGCAATGCCACTGTGGTTATTGGCTCAACCAAGTTTTATGGTGGTTGGGATA * ** ****
T101 BCV OC43 HEV CCV	ATATGTTACGTCGCCTTATTAAAGATGTTGACAATCCTGTACTTATGGGTTGGGATTATC ATATGTTACGTCGCCTTATTAAAGATGTTGATAATCCTGTACTTATGGGTTGGGATTATC ATATGTTACGCCGCCTTATTAAAGATGTTGACAATCCTGTACTTATGGGTTGGGATTATC ATATGTTACGCCGCCTTATTAAAGATGTTGATAATCCTGTACTTATGGGTTGGGATTATC ACATGCTTAAAAATTTAATGCGTGATGTTGATAATGGTTGTTTGATGGGATGGGACTATC * *** * * ******* *** * * ***********
T101 BCV OC43 HEV CCV	CTAAGTGTGA

FIGURA 7

protHCVpoly protHEVpoly protBCVpoly protCRCVpol protCECVpol	MNLKYAISAKNRARTVAGVSILSTMTGRMFHQKCLKSIAATRMNLKYAISAKNRARTVAGVSILSTMTGRMFHQKCLKSIAATRMNLKYAISAKNRARTVAGVSILSTMTGRMFHQKCLKSIAATRQMNLKYAISAKNRARTVAGVSILSTMTGRMFHQKCLKSIAATR MTQMNLKYAISGKARARTVGGVSLLSTMTTRQYHQKHLKSIAATR ******** ****************************
protHCVpoly protHEVpoly protBCVpoly protCRCVpol protCECVpol	GVPVVIGTTKFYGGWDDMLRRLIKDVDNPVLMGWDYPKC GVPVVIGTTKFYGGWDDMLRRLIKDVDNPVLMGWDYPKC GVPVVIGTTKFYGGWDDMLRRLIKDVENPVLMGWDYPKC NATVVIGSTKFYGGWDDMLRRLIKDVENPVLMGWDYPKC***:*****************************

FIGURA 8 (Página 1 de 9)

	500 C90
CRCVspike	ATTTCCTTACCAATG
CECVspike	ATGATTGTGCTCGTAACTTGCATTTTATTGTTATGTTCATACCACACTGCTTCGAGTACG
	** ** ** ** * * * * * * * *
CRCVspike	GCTTTTGCTG-TTATAGGAGATTTAAAGTGTACTACGGTTTC-CATCAATGATGTTGACA
CECVspike	TCAAATAATGATTGTAGACAAGTTAACGTAACACAATTAGATGGCAATGAAAACCTCA
	* * ** ** * * * ** ** ** ** ** ** **
CRCVspike	CCGGTG-CTCCTTCTATTAGCACTGATGTTGTCGATGTTACTAATGGTTTAGGTACTTAT
CECVspike	TTAGAGACTTTTTGTTTCAAAACTT-TAAAGAAGAAGGAACTGTAGTTGTTGGTGGTTAC
	* * * * * * * * * * * * * * * * * * * *
CRCVspike	TATGTTTTAGATCGTGTGTATTTAAATACTACATTGTTGCTTAATGGTTA
CECVspike	TACCCTACAGAGGTTTGGTATAACTGTTCTAGAACAGCAACAACTACTGCCTA-TGAGTA
	** * *** * ** * * * * * * * * * * * * *
CRCVspike	TTATCCTACTTCAGGTTCTACATATCGTAATATGGCA-CTGAAGGGAACTTTACTATTGA
CECVspike	TTTCAGTAATATACACGCATTCTATTTTGATATGGAAGCCATGGAGAATAGTACTGGTAA
	** ** * * * * *** * **** * * * * * * * *
CRCVspike	-GCACACTATGG-TTTAAACCACCATTTCTTTCTGATTTTATTGATGGTGTTTTTTGCTAA
CECVspike	TGCACGTGGTAAACCTTTATTATTTCATGTTCATGGTGAGCCTGTTAGTGTCATCATATA

CRCVspike	GGTAAAAATACCAAGGTTATTAAAGATGGTGTAGTGTATAGTGAGTTTCCTGCTAT
CECVspike	CATATCTTATAGAGATGATGTGCAACATAGGCCACTTTTAAAACACGGATTAGTGTGCAT
	** *** * * * * * * * * * * * * * * * * *
CDCVi ka	AACTATAGGTAGTACTTTTGTA-AATACATCCTATAGTGTGGTAGTACAACCACATAC
CRCVspike	
CECVspike	AACTGAAAGTCGCAACATTGACTATAACAGTTTCACCAGTA-GCCAGTGGAATTCCATAT
CPCVanika	-TACTAATTTAGATAATTAAATTACAAGGTCTCTTAGAGATCTCTGTTTGCCAGTATACTA
CRCVspike	GTACGGGTAATGACAGAAAAATTCCTT-TCTCTGTCATACCCACGGACAATGGAACAAAA
CECVspike	GIACGGGIANIGACAGAAANIICCII-ICICIGICAIACCCACGGACAAIGGAACAAAA

FIGURA 8 (Página 2 de 9)

CRCVspike	-TGTGCGATTACCCACATA-CGATGTGTC-ATCCTAATCTGGGT-AATAAACGCATAG
CECVspike	ATTTATGGTCTTGAGTGGAATGATGAATTTGTTACAGCGTACATTAGTGGTCGTTCTTAT
	* * * *
CRCVspike	${\tt AACTATGGCATTGGGATACAGGTGTTGTTCCCTGTT-TATATAAGCGTAATTTCACATAT}$
CECVspike	${\tt AATTGGAACATCAATAATTAGTTGGTTTAACAATGTCACGCTTCTGTATAGTCGCTCAAGC}$
	** * *** * * *** * * * * * * * * *
CRCVspike	GATGTGA-ATGCTGATTATTTGTATTCCCATTTTTATCAAGAAGGTGGTACTTTTTA
CECVspike	ACTGCCACATGGCAACACAGTGC-TGCATACGTTTACCAAGGTGTTTCTAACTTCACTTA
	** * ** * * * * * * * * * * * * * * * *
CDCVib-	MCCAMAMMANA CACACACACACACACAMAMAAAAAAAAAA
CRCVspike CECVspike	TGCATATTTTACAGACACTGGTGTTGTTACTAAGTTTCTGTTTCATGTTTAT-TTAGGCA TTACAAGTTAAATAACACCAATGGTCTAAAAACCTATGAATTATGTGAAGATTATGAA
CECVSPIRE	* * * * * * * * * * * * * * * * * * *
	ST SEASON ST PROPERTY OF SEASON STATE OF SEASON ST SEASON STATE OF SEASON SEASO
CRCVspike	CGGTGCTTTCACATTATTA-TGTCATGCCCTTGACTTGTAATAGTGCTATGACTTTA
CECVspike	TATTGCACTGGCTACGCCACTAACATCTTTGCCCCAACTGTGGGAGGTTACATACCTGAT
	*** * ** * * * * ** ** ** ** **
	*** * ** * ** ** ** ** ** **
CRCVspike	*** * ** ** ** ** ** ** ** GAATACTGGGTTACACCTCTCACTTTTAAACAATATTTACTCGCTTTCAATCAA
CRCVspike CECVspike	*** * ** ** ** ** ** ** ** ** ** GAATACTGGGTTACACCTCTCACTTTTAAACAATATTTACTCGCTTTCAATCAA
CECVspike	GGATTTAGTTTTAACAATTGGTTTTTGCTTACAAACAGCTCCACTTTTGTTAGTGGCAGA * ** * ***
CECVspike CRCVspike	GGATTTAGTTTTAACAATTGGTTTTTGCTTACAAACAGCTCCACTTTTGTTAGTGGCAGA * ** * *** * *** * *** * * * * * * *
CECVspike	GGATTTAGTTTTAACAATTGGTTTTTGCTTACAAACAGCTCCACTTTTGTTAGTGGCAGA * ** * ***
CECVspike CRCVspike	GGATTTAGTTTTAACAATTGGTTTTTGCTTACAAACAGCTCCACTTTTGTTAGTGGCAGA * ** * *** * *** * *** * * * * * * *
CECVspike CRCVspike CECVspike	GGATTTAGTTTTAACAATTGGTTTTTGCTTACAAACAGCTCCACTTTTGTTAGTGGCAGA * **
CECVspike CRCVspike CECVspike	GGATTTAGTTTTAACAATTGGTTTTTGCTTACAAACAGCTCCACTTTTGTTAGTGGCAGA * **
CECVspike CRCVspike CECVspike	GGATTTAGTTTTAACAATTGGTTTTTGCTTACAAACAGCTCCACTTTTGTTAGTGGCAGA * **
CECVspike CRCVspike CECVspike	GGATTTAGTTTTAACAATTGGTTTTTGCTTACAAACAGCTCCACTTTTGTTAGTGGCAGA * **
CECVspike CRCVspike CECVspike	GGATTTAGTTTTAACAATTGGTTTTTGCTTACAAACAGCTCCACTTTTGTTAGTGGCAGA * **
CECVspike CECVspike CECVspike CRCVspike CECVspike	GGATTTAGTTTTAACAATTGGTTTTTGCTTACAAACAGCTCCACTTTTGTTAGTGGCAGA * **
CRCVspike CECVspike CRCVspike CRCVspike CECVspike	GGATTTAGTTTTAACAATTGGTTTTTGCTTACAAACAGCTCCACTTTTGTTAGTGGCAGA * **

FIGURA 8 (Página 3 de 9)

	FIGURA 8 (Página 3 de 9)
CRCVspike	CTTGGCTTAATGATAAGT-CGGTGCCTTCTCCATTAAATTGGGAACGTAAGACCTTTTCA
CECVspike	ATGGGTGCTACAGTATTTTCACTGAATACAACAGGTGGTTGCATTCTTGAGATTTCTT
-	* ** * ** * * * * * * * * * * * * * * *
CRCVspike	AATTGTAATTTAATATGAGCAGCCTGATGTCTTTTATCCAGGCTGACTCGTTTACTTGT
CECVspike	-GTTATAATGATATAGTGAGCGAGTCAAGTTTCTACAGTTATGGTGAAATTCCCTTC
	** *** ** ****
CRCVspike	AATAATATTGATGCTGCTAAGATATACGGTATGTGTTTTTTCAGCATAACTATAGATA
CECVspike	GGCGTAACTGATGG-ACCGCGTTAT-TGTTATGTCCTCTATAATGGCACAGCTCTTAAGT
•	* **** * * *** * **** * * * * * * * * *
CRCVspike	AGTTTGCTATACCCAATGGTAGGAAGGTTGACCTACAAATGGGCAATTTGGGCTATT
CECVspike	ATTTCGGCACATTACCCCCTAGTGTCAAGGAAATTGCTATTAG-TAAGTGGGGCCAAT
	* * * * * * * * * * * * * * * * * * * *
CRCVspike	TGCAGTCTTTTAACTATAGAATTGATACTACTGCTACAAGTTGTCAGTTGTATTATAATT
CECVspike	TTTATATTAATGGTTACAATTTCTTTAGCACTTTTCCTATTGATTG
	* * * * * * * * * * * * * * * * * * * *
CRCVspike	TACCTGCTAGTAATGTTTCTATTAGCAGGTTTAATCCTTCTATTTGGAATAGGAGATT
CECVspike	TAACCACTGGTGATAGTGGAGCATTTTGGACAATTGCTTACACATCGTACACTGAAGCAT
CRCVspike	TGGTTTTA-CAGAACAATCTGTTTTTAAGCCT-CAACCTGTAGGTGTTTTTACTGATCAT
CECVspike	TAGTACAAGTTGAAAACACAGCCATTAAAAAGGTGACGTATTGTAACAGTCAC-ATTAAT
¥2	* * * * * * * * * * * * * * * * * * * *
	TCTIA
CRCVspike	GATGTTGTTTATGCACAACATTGTTTTAAAGCTCCCACAAATTTCTGTCCGTGTA AACATCAAATGTTCTCAACTTACTGCTAATTTGCAAAATGGCTTTTATCCTGTTGCTTCA
CECVspike	* * * * * * * * * * * * * * * * * * *
CRCVspike	AATTGAATGGGTCTTTGTGTGTAGGTAGTGGTTTTGGTATAGATGCTGGTTATAAA
CECVspike	AGTGAAGTTGGTCTTGTCAATAAGAGTGTTGTGTTACTACCTAGTTTCTATTCACATACC
	* * * * * * * * * * * * * * * * * * * *

() FIGURA 8 (Página 4 de 9) AATAGTGGTATAGGCACTTGTCCTGCAGGTACTAATTATTTAACTTGTTATAATGCTAAC CRCVspike AGTGTTAATATAACTATTGATCTTG---GTATGAAGCGTAGTGGTTATGGTCAACCCA--CECVspike CAATGTGATTGTTGTGCACTCCAGAC--CCTATTTTATCTAAATCTACAGGGCCTTA-T CRCVspike TAGCCTCAACACTAAGTAACATCACACTACCAATGCAGGATAATAACACCGATGTGTACT **CECVspike** AAGTGCCCCCAAACTAAATACTTAGTTGGCATAGGTGAGCACTGTTCTGGTCTTGCTATT CRCVspike GTATTCGTTCTAACCAATT-CTCAGTTTATGTTCACTCCACTTGCAAAAGTTCTTTATGG **CECVspike** * *** ** * ** *** CRCVspike GACAACAATTTTAATCAAGATTGCACAGATGTTTTATATGCCACAGCTGTTATAAAAACT **CECVspike** GGTCTGTGGAC--TCTTGTTTACAAGG--GGATAGGTGTAATATTTTTGCTAA-TTTTAT CRCVspike GGTACTTGCCCCTTCTCATTTGATAAATTGAATAATTACTTAACTTTTAACAAGCTTTGT **CECVspike** + +++ + TTTGCATGGTGT--TAATAGTG-----GTACTACTTGTTCTACTGATT-TACAAAAATC CRCVspike TTGTCGTTGAATCCTACTGGTGCCAACTGTAAGTTTGATGTTGCTGCCCGTACAAGAACC CECVspike +++++ ++ + AAACACAGACATAATTCTTGGTGTTTGTGTTAATTATGATCTTTATGGTATTACAGGCCA CRCVspike AA-TGAGCAGGTTGTTAGAAGTTTATATGTAATATATGAAGAAGGAGACAACATAGTGGG CECVspike ** * * *** * **** AGGTATTTTTGTTGA----GGTTAATGCGACTTATTATAATAGTTGGCAGAACCTTTTAT CRCVspike TGTACCGTCTGATAATAGTGGTCTTCACGATTTGTCAGTGTTACACTTAGACTCCTGTAC CECVspike * ** * * *** ** * ATGATTCTAATG---GTAATCTCTATGGTTTTAGGGACTACTTAACAAACAGA-ACTTTT CRCVspike A-GATTACAATATATATGGTAGAACTGGTGTT-GGTATTATTAGACAAACTAACAGCACA **CECVspike** **** ** ** * * * * ****

	FIGURA 8 (Página 5 de 9)
CRCVspike	ATGATTCGTAGTTGCTATAGCG-GTCGTGTTTCAGCGGGGCTTTCACTCTAACTCTTC
CECVspike	ATACTTAGTGGCTTACATTATACATCACTATCAGGTGATTTATTAGGTTTTAAAAATGTT
	** **** * * * * * * * * * * * *
CRCVspike	CGAACCAGCATTG-CTATTTCGGAATATTAAATGCAATTACGTTTTTAATAATACTCTTT
CECVspike	AGTGATGGTGTTGTCTATTCTGTGACACCATGTGATGTAAGCGCACAAGCGGCTGTTATT
	* * *** ***** * * * * * * * * * * * * *
	·
CRCVspike	CACGACAGCTGCAACCTATTAACTATTTTGATAGTTATCTTGGTTGTTGTCAA
CECVspike	GATGGGGCCATAGTTGGAGC-TATGACTTCCATTAATAGTGAACT-GTTAGGTCTAACAC
	* * * * * * * * * * * * * * * * * * * *
CRCVspike	TGCTGATAATAGTAC~TTCTAGTTCTGTTCAAACATGTGATCTCACAGTAGGTAGT
CECVspike	ATTGGACAACACCAAATTTTTATTACTACTCTA-TATATAATACAACAAATGAG
obo ropino	** ** * ** ** ** ** ** ** ** ** *
CRCVspike	GGTTACTGGGGGGATTACTCTACACAAAGACGAAGTCGTAGAACGATTACCACTGG
CECVspike	AGA-ACTCGTGGCACTGCAATCGACAGTAACGATGTAGATTGTGAACCTATCATAACCTA
	* *** * * * * * * * * * * * * * * * * *
CRCVspike	TTATCGGTTTACTAATTTTGAGCCATTTACTGTTAATCCAGTAAATGATAG
CECVspike	TTCTAACATAGGTGTTTGTAAAAATGGTGCGTTGGTTTTTATTAACGTCACACATTCTGA
	** ** ** * * * * * * * * * * * * * * * *
CRCVspike	TTTACACCCTGTAGGTGGTTTGTATGAAAT-TCA-AATACCTTCAGAGTTTACTATAG
CECVspike	TGGAGATGTT-CAACCAATTAGCACTGGCAATGTCACGATACCCACAAACTTTACCATAT
CRCVspike	GTAATATGGAGGAGTTTATTCAAACAAGATCTCCTAAAGTTACTATTGATTG
CECVspike	CTGTGCAAGTTGAATACATCCAGGTTTACACTACACCGGTGTCAATAGATTGTTCTAGAT
	* * * * * * * * * * * * * * * * * * * *
CRCVspike	TTGTCTGTGGTGATTATGCAGCATGTAAATCACAGTTGGTTG
CECVspike	ACGTTTGTAATGGTAACCCTAGATGTAATAAATTGTTAACACAATATGTTTCTGCATGTC
	** *** ** * * * ***** * *** ***** * ***

FIGURA 8 (Página 6 de 9) ACAATATTAATGCTATACTCACAG-AAGT-----AAATGAACTACTTGACACTA CRCVspike AAACTATTGAGCAAGCGCTTGCAATGAGTGCCAGCCTTGAAAACATGGAAGTTGATTCCA **CECVspike** * * *** CACAGTTGCAAGTAGCTAATAGTTTAATGAATGGTGTCACTCTTAGCACTAAGCTTAAAG CRCVspike TGTTGTTTGTTTCAGAAAATGCCCTTA-AATTGGCATCTGTTGAGGCGTTCAATAGTACA **CECVspike** * * * *** ** ATGGCTTTAATTTCAATGTAGATGACAT----CAATTT---TTCCCCTGTATTAGGTTGT CRCVspike **CECVspike** GAACATTTAGATCCTATTTACAAAGAATGGCCTAACATAGGTGGTTCTTGGCTAGGAGGT * * ** ** * TTAGGAAGCGAAT-----GTAATAA-AGTTTCCAGTA--GATCTGCTATAGAGGAT CRCVspike **CECV**spike CTAAAAGACATACTTCCGTCCCATAATAGCAAACGTAAGTATCGTTCTGCTATAGAAGAC **** TTACTTTTTCTAAAGTAAAGTTATCTGATGTTGGTTTTGTTGATGC---TTATAATAAT CRCVspike TTGCTTTTTGATAAAGTTGTAACTTCTGGTCTAGGTACAGTTGATGAAGATTATAAACGT **CECVspike** **** * * *** ***** TGTACTGGAGGTGCCGAAATTAGGGACCTCATTTGTGTGCAAAGTTATAATGGTATCAAA CRCVspike TGTACAGGTGGTTATGACATAGCTGACTTAGTTTGTGCACAATATTACAATGGCATCATG **CECVspike** *** * ***** *** *** *** GTGTTGCCTC-CACTGCTCTCAGAAAATCAGATCAGTGGATACACTTTGGCTGCCACCTT CRCVspike GTTCTACCTGGTGTTGCTAAT-GATGACAAGATGACTATGTACACAGCCTCTCTTGCAGG CECVspike ** * **** * * TGCTAGTCTGTTTCCTCC-TTGGTCAGCAGCA--GCAGGCGTACCATTTTATTTAAATGT CRCVspike TGGTATAGCATTAGGTGCACTAGGTGGTGGCGCCGTGGCTATACCTTTTGCAGTAGCAGT CECVspike TCAGTATCGTATTAATGGTATTGGTGTTACCATGGATGTGCTAACTCAAAATCAAAAGCT CRCVspike **CECV**spike TCAGGCTAGACTTAATTATGTTGCTCTACAAACTGATGTATTGAACAAAAACCAGCAGAT

FIGURA 8 (Pagina 7 de 9)

CRCVspike	TATTTCTAATGCATTTAACAATGCCCTTGATGCTATTCAGGAAGGGTT
CECVspike	CCTGGCTAATGCTTTCAACCAAGCTATTGGTAACATTACACAGGCATTTGGTAAGGTTAA
CRCVspike	TGATGCTATTAGTTAARAT
CECVspike	TGATGCTATACATCAAACATCACAAGGTCTTGCCACTGTTGCTAAAGCATTGGCAAAAGT

CRCVspike	TCAAGCTGTTGTTAATGCAAATGCTGAAGCTCTTAATAACTTATTGCAACAACTCTCTAA
CECVspike	GCAAGATGTTGTTAACACACAAGGGCAAGCTTTAAGCCACCTAACAGTACAACTGCAAAA
88.00.25.00.00	**** ******** ** * ***** * * ** ** ** *
CRCVspike	TAAATTTGGTGCTATAAGTGCTTCTTTACAAGAAATTCTATCTA
CECVspike	TAGCTTCCAAGCCATTAGTAGTTCTATTAGTGACATTTATAATAGGCTTGATGAACTGAG
	** ** ** ** *** *** ** *** *** *** ***
CRCVspike	AGCGCAAGCTCAGATAGACAGACTTATCAATGGGCGTCTTACCGCTCTTAATGCTTATGT
CECVspike	TGCTGATGCACAAGTTGATAGGCTGATTACAGGTAGACTTACAGCACTTAATGCATTTGT
	** * ** ** * * ** ** ** ** * * * ***** ** ****
CRCVspike	TTCTCAACAGCTTAGTGATTCTACACTAGTAAAATTTAGTGCAGCACAAGCTATGGAGAA
CECVspike	ATCTCRGACTCTAACCAGACAAGCGGAGGTTAGGGCTAGTAGACAACTTGCCAAAGACAA
CRCVspike	GGTTAATGAATGTCAAAAAGCCAATCATCTAGGATAAATTTTTGTGGTAATGGTAATCA
CECVapike	GGTTAATGAATGTGTTAGGTCTCAGTCTCAGAGATTTGGATTTTGTGGTAATGGTACACA
12500000000	************ * ** ** ** * ********* **
CRCVspike	TATTATATCATTAGTGCAGAATGCTCCATATGGTTTGTATTTTATCCACTTTA-GCTATG
CECVspike	TTTGTTTTCACTTGCAAATGCAGCACCAAATGGCATGGTTTTCTTTC
• • • • • • • • • • • • • • • • • • • •	
CRCVspike	TCCCTACTAAGTATGTCACTGCGAAGGTTAGTCCCGGTCTGTGCATYGCAGGTGATAGAG
CECVspike	TACCARCAGCTTATGAAACTGTAACAGCTTGGTCAGGTATTTGTGCTTCAGATGGCGATC

FIGURA 8 (Pagina 8 de 9)

CRCVspike	GTATAGCTCCTAAGAGTGGTTATTTTGTTAATGTAAATAACA
CECVspike	GCACTTTTGGACTTGTCGTTAAAGATGTTCAGTTGACGTTGTTTCGTAATCTAGATGACA
	** ** *** *** **** **** *** *** ***
CRCVspike	CTTGGATGTTCACTGGTAGTGGTTATTACTACCCTGAACCTATAACTGGAAATAATGTGG
CECVspike	AGTTCTATTTGACTCCCAGAACTATGTATCAGCCTAGAGCTGCAACTAGTTCTGATTTTG
CRCVspike	TTGTTATGAGTACCTGTGCTGTTAACTATACTAAAGCACCGGATGTAATGCTGAACATTT
CECVspike	TTCAGATTGAGGGGTGCGACGTGTTGTTTGTCAATGCAACTGTAATTGACTTGCCTAGTA
CRCVspike	CAACACCCCAACCTCCCTGATTTTAAGGAAGAGTTGGATCAATGGTTTAAAAAC
CECVspike	TTATACCTGACTATATCGACATTAATCAGACTGTTCAAGACATATTAGAAAACTACAGAC
CRCVspike	CAAACATTAATGGCACCAGATTTGTCACTTGATTATATAAATGTTACATTCTTGGACCTA
CECVspike	CAAAC-TGGACTGTACCTGAATTGACAATTGACATTTTTAACGCAACCTATTTAAATCTG
CRCVspike	CAAGATGAAATGAATAGGTTACAGGAGGCAATAAAAGTTTTAAATCATAGC
CECVspike	ACTGGTGAAATTGATGACTTAGAATTTAGGTCAGAAAAGCTACATAACACCACAGTAGAG
50)	* ****** ** *** *** * * * * * * * * * *
CRCVspike	TACATCARTCTCAAGGACATTGGTACA
CECVspike	CTTGCCATTCTCATTGACAATATTAACAATACATTAGTCAATCTTGAATGGCTCAATAGA
	***** ***** * ** **
CRCVspike	TATGAATATTATGTAAAATGGCCTTGGTATGTATGGCTTTTAATTGGCCTTGCTGGCGTA
CECVspike	ATTGAAACTTATGTGAAATGGCCTTGGTATGTGTGGCTACTAATAGGC-TTAGTAGTAGT
0.200	**** ***** *********** **** **** * *
CRCVspike	GCTATGCTTGTT-TTACTATTCTTCATATGCTGTTGTACAGGATGTGGGACTAGTTG
CECVspike	GTTTTGCATACCGCTATTGCTATTTTGCTGTTGTAGTACAGGTTGCTGTGGATGCATAGG

FIGURA 8 (Pagina 9 de 9)

CRCVspike	TTTTAAGAAATGCGGTGGTTGTTGTGATGATTATACTGGACATCAGGAGTTAGTAATC
CECVspike	TTGTTTGGGAAGTTGTTGTCATTCTATTTGTAGTAGAAGACAATTTGAAAATTACGAACC
CRCVspike	AAAACGTCACATGACGACTAA
CECVspike	AATTGAAAAAGTGCATGTCCACTAAA
cecropane	

FIGURA 9 (Pagina 1 de 12)

BCVspike	ATGTTTTTGATACTTTTAATTTCCTTACCAATGGCTCTTGCTGTTATAG
HCVspike	ATGTTTTTGATACTTTTAATTTCCTTACCAACGGCTTTTGCTGTTATAG
CRCVspike	ATGTTTTTGATACTTTTAATTTCCTTACCAATGGCTTTTGCTGTTATAG
HEVspike	ATGTTTTTTATACTTTTAATCACCCTGCCTTCTGTTTTTGCAGTTATAG
	******* *******************************
BCVspike	GAGATTTAAAGTGTACTACGGTTTCCATTAATGATGTTGACACCGGTGTTCCTTCTGTTA
HCVspike	GAGATTTAAAGTGTACTACGGTTTCCATTAATGATATTGACACCGGTGCTCCTTCTATTA
CRCVspike	GAGATTTAAAGTGTACTACGGTTTCCATCAATGATGTTGACACCGGTGCTCCTTCTATTA
HEVspike	GGGATTTAAAGTGTAATACTTCATCAATTAATGACGTTGACACTGGTGTGCCATCTATTA
	* *********** *** *** **** ***** **** *** ***
BCVspike	GCACTGATACTGTCGATGTTACTAATGGTTTAGGTACTTATTATGTTTTAGATCGTGTGT
HCVspike	GCACTGATATTGTCGATGTTACTAATGGTTTAGGTACTTATTATGTTTTAGATCGTGTGT
CRCVspike	GCACTGATGTTGTCGATGTTACTAATGGTTTAGGTACTTATTATGTTTTAGATCGTGTGT
HEVspike	GCTCTGAAGTTGTTGATGTCACTAATGGTTTGGGGACTTTCTATGTTTTAGATCGTGTCT
	** **** *** ***** ********* ** **** ****
BCVspike	ATTTAAATACTACGTTGTTGCTTAATGGTTACTACCCTACTTCAGGTTCTACATATCGTA
HCVspike	ATTTAAATACTACGTTGTTGCTTAATGGTTACTACCCTACTTCAGGTTCTACATATCGTA
CRCVspike	ATTTANATACTACATTGTTGCTTAATGGTTATTATCCTACTTCAGGTTCTACATATCGTA
HEVspike	ATTTARATACCACATTGTTGCTCAATGGTTATTACCCAATTTCAGGTGCTACATTTCGTA
	********* ** ******* ******* ** ** * ****
BCVspike	ATATGGCACTGAAGGGAACTTTACTATTGAGCACACTATGGTTTAAACCACCTTTTCTTT
HCVspike	ATATGGCACTGAAGGGAACTTTACTATTGAGCAGACTATGGTTTAAACCACCTTTTCTTT
CRCVspike	ATATGGCACTGAAGGGAACTTTACTATTGAGCACACTATGGTTTAAACCACCATTTCTTT
HEVspike	ATGTGGCTCTGAAAGGAACTCGATTATTGAGCACCTTGTGGTTTAAGCCGCCTTTTTTAT
BCVspike	CTGATTTTATTAATGGTATTTTTGCTAAGGTCAAAAATACCAAGGTTATTAAAAATGGTG
HCVspike	CTGATTTTATTAATGGTATTTTTGCTAAGGTCAAAAATACCAAGGTTATTAAAAAGGGTG
CRCVspike	CTGATTTTATTGATGGTGTTTTTGCTAAGGTAAAAAATACCAAGGTTATTAAAGATGGTG
HEVspike	CACCTTTTAATGATGGTATTTTTGCCAAGGTTAAAAACAGCAGATTTTCTAAACATGGTG

FIGURA 9 (Pagina 2 de 12)

BCVspike	TAATGTATAGTGAGTTTCCTGCTATAACTATAGGTAGTACTTTTGTAAATACATCCTATA
HCVspike	TAATGTATAGTGAGTTTCCTGCTATAACTATAGGTAGTACTTTTGTAAATACATCCTATA
CRCVspike	TAGTGTATAGTGAGTTTCCTGCTATAACTATAGGTAGTACTTTTGTAAATACATCCTATA
HEVspiko	TTATTTATAGTGAGTTTCCTGCTATTACTATAGGTAGTACTTTTGTAAATACTTCCTATA
BCVspike	GTGTGGTAGTACAACCACATACTACCAATTTAGATAATAAATTACAAGGTCTCTTAGAGA
HCVspike	GTGTGGTAGTACAACCACATACTACCAATTTGGATAATAAATTACAAGGTCTCTTAGAGA
CRCVspike	GTGTGGTAGTACAACCACATACTACTAATTTAGATAAATTACAAGGTCTCTTAGAGA
HEVspike	GCATAGTAGTAAAGCCTCATACCTCATTTATTAATGGTAATTTACAAGGTTTTTTGCAAA
	* * ****** * ** ***** * * * ** *** *****
BCVspike	TCTCTGTTTGCCAGTATACTATGTGCGAGTACCCACATACGATTTGTCATCCTAATTTGG
HCVspike	TCTCTGTTTGCCAGTATACTATGTGCGAGTACCCACATACGATTTGTCATCCTAATCTGG
CRCVspike	TCTCTGTTTGCCAGTATACTATGTGCGATTACCCACATACGATGTGTCATCCTAATCTGG
HEVspike	TTTCTGTTTGTCAATATACTATGTGTGAATACCCACAGACTATTTGTCATCCTAATTTGG
FM	
BCVspike	GTAATCGGCGCATAGAACTATGGCATTGGGATACAGGTGTTGTTTCCTGTTTATATAAGC
HCVspike	GTAATCGACGCGTAGAACTATGGCATTGGGATACAGGTGTTGTTTCCTGTTTATATAAGC
CRCVspike	GTAATAAACGCATAGAACTATGGCATTGGGATACAGGTGTTGTTCCCTGTTTATATAAGC
HEVspike	GTAATCAACGCATAGAATTATGGCATCATGACACAGATGTTGTTTCTTGTTTATACAGGC
	***** *** ***** ******* ** **** ****** *
BCVspike	GTAATTTCACATATGATGTGAATGCTGATTATTTGTATTTCCATTTTTATCAAGAAGGTG
HCVspike	GTAATTTCACATATGATGTGAATGCTGATTACTTGTATTTCCATTTTTATCAAGAAGGTG
CRCVspike	GTAATTCACATATGATGTGAATGCTGATTATTTGTATTCCCATTTTTATCAAGAAGGTG
HEVspike	GTAATTTCACATATGATGTGAATGCTGATTATTTATATTTTCACTTTTATCAGGAAGGTG

BCVspike	GTACTTTTTATGCATATTTTACAGACACTGGTGTTGTTACTAAGTTTCTGTTTAATGTTT
HCVspike	GTACTTTTTATGCATATTTTACAGACACTGGTGTTGTTACTAAGTTTCTGTTTAATGTTT
CRCVspike	GTACTTTTATGCATATTTTACAGACACTGGTGTTGTTACTAAGTTTCTGTTTCATGTTT
HEVspike	GCACTTTTTATGCATACTTTACAGATACTGGTTTTGTGACCAAGTTTCTGTTTAAGTTGT
	* ********** ******* ***** **** ** *****

FIGURA 9 (Pagina 3 de 12)

BCVspike	ATTTAGGCACGGTGCTTTCACATTATTATGTCATGCCTTTGACTTGTAATAGTGCTATGA
HCVspike	ATTTAGGCACGGTGCTTTCACATTATTATGTCCTGCCTTTGACTTGTAATAGTGCTATGA
CRCVspike	ATTTAGGCACGGTGCTTTCACATTATTATGTCATGCCCTTGACTTGTAATAGTGCTATGA
HEVspike	ATTTAGGCACTGTGCTGTCACACTATTATGTTATGCCATTGACTTGTGATAGCGCTTTAT
	******** ***** ***** ******* **** ******
BCVspike	CTTTAGAATATTGGGTTACACCTCTCACTTCTAAACAATATTTACTCGCTTTCAATCAA
HCVspike	CTTTAGAATATTGGGTTACACCTCTCACTTCTAAACAATATTTACTAGCTTTCAATCAA
CRCVspike	CTTTAGAATACTGGGTTACACCTCTCACTTTAAACAATATTTACTCGCTTTCAATCAA
HEVspike	CTTTAGAATATTGGGTTACACCTCTCACTACTAGACAATTTCTTCTAGCCTTTGACCAGG
BCVspike	ATGGTGTTATTTTTAATGCTGTTSATTGTAAGAGTGATTTTATGAGTGAGATTAAGTGTA
HCVspike	ATGGTGTTATTTTTAATGCTGTTGATTGTAAGAGTGATTTTATGAGTGAG
CRCVspike	ATGGTGTTATTTTAATGCTGTTGATTGTAAGAGTGATTTTATGAGTGAG
HEVspike	ATGGTGTTTTATACCATGCTGTTGATTGTGCTAGTGATTTTATGAGTGAG
	******** * * *********** **************
BCVspike	AAACACTATCTATAGCACCATCTACTGGTGTTTATGAATTAAACGGTTACACTGTTCAGC
HCVspike	AAACACTATCTATAGCACCATCTACTGGTGTTTATGAATTAAACGGTTACACTGTTCAGC
CRCVspike	AAACACTATCTATAGCACCATCTACTGGTGTTTATGAATTAAACGGTTACACTGTTCAGC
HEVspike	AAACTTCTTCAATTACACCACCTACTGGTGTTTATGAACTAAACGGTTACACAGTTCAAC
	**** ** ** ***** ********** ******* ****
BCVspike	CAATTGCAGATGTTTACCGACGTATACCTAATCTTCCCGATTGTAATATAGAGGCTTGGC
HCVspike	CAATTGCAGATGTTTACCGACGTATACCTAATCTTCCCGATTGTAATATAGAGGCTTGGC
CRCVspike	CANTTGCAGATGTTTACCGACGTATACCTAATCTTCCCGATTGTAATATAGAGGCTTGGC
HEVspike	CTGTTGCCACTGTGTATCGTAGAATACCTGACTTACCCAATTGCGATATCGAAGCTTGGC
BCVspike	TTAATGATAAGTCTGTGCCCTCTCCATTAAATTGGGAACGTAAGACCTTTTCAAATTGTA
HCVspike	TTAATGATAAGTCGGTGCCCTCTCCATTAAATTGGGAACGTAAGACCTTTTCAAATTGTA
CRCVspike	TTAATGATAAGTCGGTGCCTTCTCCATTAAATTGGGAACGTAAGACCTTTTCAAATTGTA
HEVspike	TTAATTCTAAGACCGTTTCTTCGCCTCTTAATTGGGAACGTAAAATTTTTTCTAATTGTA
	***** **** * ** * ** * * *********** * *

FIGURA 9 (Pagina 4 de 12)

BCVspike	ATTTTAATATGAGCAGCCTGATGTCTTTTATTCAGGCAGACTCATTTACTTGTAATAATA
HCVspike	ATTTAATATGAGCAGCCTGATGTCTTTTATTCAGGCAGACTCATTTACTTGTAATAATA
CRCVspike	ATTTTAATATGAGCAGCCTGATGTCTTTTATCCAGGCTGACTCGTTTACTTGTAATAATA
HEVspike	ATTTTAACATGGGCAGGCTGATGTCTTTTATTCAGGCTGACTCTTTTGGTTGTAACAATA
•	******* *** **** ************ ***** ****
BCVspike	TTGATGCAGCTAAGATATATGGTATGTGTTTTTCCAGCATAACTATAGATAAGTTTGCTA
HCVspike	TTGATGCTGCTAAGATATATGGTATGTTTTTTCCAGCATAACTATAGATAAGTTTGCTA
CRCVspike	TTGATGCTGCTAAGATATACGGTATGTGTTTTTTCAGCATAACTATAGATAAGTTTGCTA
HEVspike	TTGATGCTTCTCGCTTATATGGTATGTGTTTTGGTAGCATTACTATTGACAAGTTTGCTA
	******* ** **** ********* ***** ***** ** ****
BCVspike	TACCCAATGGTAGGAAEGTTGACCTACAATTGGGCAATTTGGGCTATTTGCAGTCTTTTA
HCVspike	TACCCAATGGTAGGAAGGTTGACCTACAATTGGGCAATTTGGGCTATTTGCAGTCTTTTA
CRCVspike	TACCCAATGGTAGGAAGGTTGACCTACAAATGGGCAATTTGGGCTATTTGCAGTCTTTTA
HEVspike	TACCCAATAGTAGAAAGGTTGATCTGCAAGTGGGTAAATCTGGTTATTTACAATCTTTTA
8	
BCVspike	ACTATAGAATTGATACTACTGCTACAAGTTGTCAGTTGTATTATAATTTACCTGCTGCTA
HCVspike	ACTATAGAATTGATACTACTGCTACAAGTTGTCAGTTGTATTATAATTTACCTGCTGCTA
CRCVspike	ACTATAGAATTGATACTACTGCTACAAGTTGTCAGTTGTATTATATTTACCTGCTAGTA
HEVspike	ATTATAAGATTGACACTGCTGTTAGCAGTTGTCAACTCTATTATAGTTTGCCTGCAGCAA
BCVspike	ATGTTTCTGTTAGCAGGTTTAATCCTTCTACTTGGAATAGGAGATTTGGTTTTACAGAAC
HCVspike	ATGTTTCTGTTAGCAGGTTTAATCCTTCTACTTGGAATAGGAGATTTGGTTTTACAGAAC
CRCVspike	ATGTTTCTATTAGCAGGTTTAATCCTTCTATTTGGAATAGGAGATTTGGTTTTACAGAAC
HEVspike	ACGTATCTGTCACTCATTATAATCCTTCATCTTGGAACAGAAGGTATGGGTTTATT
	* ** *** * * * ******** ** ** ** * *** ****
BCVspike	AATCTGTTTTTAAGCCTCAACCTGTAGGTGTTTTTACTGATCATGATGTTGTTTATGCAC
HCVspike	AATCTGTTTTTAAGCCTCAACCTGTAGGTGTTTTTACTCATCATGATGTTGTTTATGCAC
CRCVspike	AATCTGTTTTTAAGCCTCAACCTGTAGGTGTTTTTACTGATCATGATGTTGTTTATGCAC
HEVspike	AATCAGAGTTTTGGTTCCAGAGGC-CTTCATGATGCTGTATATTCAC
	**** * *** * ** *** ** ******* *** ***

FIGURA 9 (Pagina 5 de 12)

BCVspike	AACATTGTTTTAAAGCTCCCACAAATTTCTGTCCGTGTAAATTGGATGGGTCTTTGTGTG
HCVspike	AACATTGTTTTAAAGCTCCCACAAATTTCTGTCCGTGTAAATTGGATGGGTCTTTGTGTG
CRCVspike	AACATTGTTTTAAAGCTCCCACAAATTTCTGTCCGTGTAAATTGAATGGGTCTTTGTGTG
HEVspike	AGCARTGTTTTAATACACCTAATACATATTGTCCTTGTAGAACAAGTCAATGCA
	* ** ****** * ** * * * ***** * * *** **
BCVspike	TAGGTAGTGGTTCTGGTTATAGATGCTGGTTATAAAAATAGTGGTATAGGCACTTGTCCTG
HCVspike	TAGGTAATGGTCCTGGTATAGATGCTGGTTATAAAAATAGTGGTATAGGCACTTGTCCTG
CRCVspike	TAGGTAGTGGTTTTGGTATAGATGCTGGTTATAAAAATAGTGGTATAGGCACTTGTCCTG
HEVspike	TAGGTGGTGCTGGCACAGGAACTTGTCCTGTAGGCACCACTGTGCGCAAGTGTTTTG
BCVspike	CAGGTACTAATTATTTAACTTGTCATAATGCTGCCCAATGTAATTGTTTGT
HCVspike	CAGGTACTAATTATTTAACTTGCCATAATGCTGCCCAATGTGATTGTTTGT
CRCVspike	CAGGTACTAATTATTTAACTTGTTATAATGCTAACCAATGTGATTGTTTGT
HEVspike	CTGC-AGTTACAAACGCTACTAAGTGTACTTGCTGGTGTCAACCAG
BCVspike	ACCCCATTACATCTAAATCTACAGGGCCTTATAAGTGCCCCCAAACTAAATATTTAGTTG
HCVspike	ACCCCATTACATCTAAATCTACAGGGCCTTACAAGTGCCCCCAAACTAAATACTTAGTTG
CRCVspike	ACCCTATTTTATCTAAATCTACAGGGCCTTATAAGTGCCCCCAAACTAAATACTTAGTTG
HEVspike	ATCCTTCCACATATAAAGGTGTAAATGCCTGGACTTGTCCGCAATCTAAAGTTTCTATAC
BCVspike	GCATAGGTGAGCACTGTTCGGGTCTTGCTATTAAAAGTGATTATTGTGGAGGTAATCCTT
HCVspike	GCATAGGTGAGCACTGTTCGGGTCTTGCTATTAAAAGTGATTATTGTGGAGGTAATCCTT
CRCVspike	GCATAGGTGAGCACTGTTCTGGTCTTGCTATTAAAAGTGATTATTGTGGAGGCAATCCTT
HEVspike	AACCAGGTCAGCATTGCCCTGGCTTGGGTCTTGTGGAGGATGATTGCTCTGGTAATCCTT
	**** **** ** * * * * * * * * * * * * * *
BCVspike	GTACTTGCCAACCACAGCATTTTTGGGTTGGTCTGTTGATTCTTGTTTACAAGGGGATA
HCVspike	GTACTTGCCAACCACAAGCATTTTTGGGTTGGTCTGTTGACTCTTGTTTACAAGGGGATA
CRCVspike	GTACTTGCCAACCAAAAGCATTTTTGGGTTGGTCTGTGGACTCTTGTTTACAAGGGGATA
HEVspike	GCACTTGTAAACCACAGGCTTTCATAGGCTGGAGTTCAGAAACTTGTTTGCAAAATGGTA

FIGURA 9 (Pagina 6 de 12)

BCVspike	GGTGTAATATCTTTGCTAATTTTATTTTGCATGATGTTAATAGTGGTACTACTTGTTCTA
	GGTGTAATATTTTTGCTAATTTTATTTTGCATGATGTTAATAGTGGTACTACTTGTTCTA
HCVspike	(60)
CRCVspike	GGTGTAATATTTTTGCTAATTTTTTTTTGCATGGTGTTAATAGTGGTACTACTTGTTCTA
HEVspike	GGTGTAATATTTTGCTAATTTTATTTTGAATGATGTTAATAGCGGTACTACCTGTTCTA
	******** ******************************
BCVspike	$\tt CTGATTTACAAAAATCAAACACAGACATAATTCTTGGFGTTTGTGTTAATTATGATCTTT$
HCVspike	CTGATTTACAAAAATCAAACACAGACATAATTCTTGGTGTTTGTGTTAATTATGATCTTT
CRCVspike	CTGATTTACAAAAATCAAACACAGACATAATTCTTGGTGTTTGTGTTAATTATGATCTTT
HEVspike	CTGATTTACAACAGGGTAATACTAATATTACTACTGATGTTTGTGTTAATTATGACCTAT
BCVspike	ATGGTATTACAGGCCAAGGTATTTTTGTTGAGGTTAATGCGACTTATTATAATAGTTGGC
HCVspike	ATGGTATTACAGGCCAAGGTATTTTTGTTGAGGTTAATGCGCCTTATTATAATAGTTGGC
CRCVspike	ATGGTATTACAGGCCAAGGTATTTTTGTTGAGGTTAATGCGACTTATTATAATAGTTGGC
HEVspike	ATGGCATTACAGGCCAGGGCATACTTATAGAAGTTAATGCCACGTATTATAATAGTTGGC
	**** ********** ** ** * * * ******** * *
BCVspike	AGAACCTTTTATATGATTCTAATGGTAATCTCTATGGTTTTAGAGACTACTTAACAAACA
HCVspike	AGRACCTTTTATATGATTCTAATGGTAATCTCTATGGTTTTAGAGACTACTTAACAAAÇA
CRCVspike	AGAACCTTTTATATGATTCTAATGGTAATCTCTATGGTTTTAGGGACTACTTAACAAACA
HEVspike	AGAATCTTCTTTATGATTCTAGTGGTAATCTCTATGGCTTTAGAGATTATTTAT
	**** *** * ******** ********** ***** ** ** ** ** *** ***
BCVspike	GAACTTTTATGATTCGTAGTTGCTATAGCGGTCGTGTTTCAGCGGCCCTTTCATGCTAATT
HCVspike	GAACTTTATGATTCGTAGTTGCTATAGCGGTCGTGTTTCAGCGGCCTTTCATGCTAACT
CRCVspike	GAACTTTTATGATTCGTAGTTGCTATAGCGGTCGTGTTTCAGCGGGCTTTCACTCTAACT
HEVspike	GAACCTTTCTTATTCGTAGCTGCTATAGTGGAAGAGTTTCAGCAGTCTTTCATGCTAACT
	**** *** * ******* ******* ** * *******
BCVspike	CTTCCGAACCAGCATTGCTATTTCGGAATATTAAATGCAATTACGTTTTTAATAATACTC
HCVspike	CTTCCGAACCAGCATTGCTATTTCGGAATATTAAATGCAGTTACGTTTTTAATAATACTC
CRCVspike	CTTCCGAACCAGCATTGCTATTTCGGAATATTAAATGCAATTACGTTTTTAATAATACTC
HEVspike	CTTCTGAACCAGCTTTGATGTTTCGTAATCTTAAATGCAGCCACGTTTTTAATTATACCA
	**** ******* *** * ***** *** ******** ****

FIGURA 9 (Pagina 7 de 12)

BCVspike	TTTCACGACAGCTGCAACCTATTAACTATTTTGATAGTTATCTTGGTTGTGTTGTCAATG
HCVspike	TTTCACGACAGCTGCAACCTATTAACTATTTTGATAGTTATCTTGGTTGTGTTGTCAATG
CRCVspike	TTTCACGACAGCTGCAACCTATTAACTATTTTGATAGTTATCTTGGTTGTGTTGTCAATG
HEVspike	TTTTAAGACAAATACAGCTTGTTAATTATTTTGATAGTTACCTTGGTTGTGTTAATG
-	*** * **** * ** * * **** ********** ****
BCVspike	CTGATAATAGTACTTCTAGTGCTGTTCAAACATGTGATCTCACAGTAGGTAG
HCVspike	CTGATAATAGTACTTCTAGTGTTGTTCAAACATGTGATCTCACAGTAGGTAG
CRCVspike	CTGATAATAGTACTTCTAGTTCTGTTCAAACATGTGATCTCACAGTAGGTAG
HEV spike	CTTATAATAATACAGCTAGTGCTGTAAGTACTTGTGATTTAACCGTTGGTAGCGGCTATT
	** ****** *** **** *** ** ** ** ** ** *
BCVspike	GTGTGGATTACTCTACAAAAAGACGAAGTCGTAGAGCGATTACCACTGGTTATCGGTTTA
HCVspike	GTGTGGATTACTCTACAAAAAGACGAAGTCGTAGGGGATTACCACTGGTTATCGGTTTA
CRCVspike	GGGGGGATTACTCTACACAAAGACGAAGTCGTAGAACGATTACCACTGGTTATCGGTTTA
HEVspike	GTGTTGATTATGTTACAGCACTTAGATCACGTAGATCTTTTACTACAGGTTATCGCTTTA
	* * ***** **** * ** ****** * **** ** **
BCVspike	CTAATTTGAGCCATTTACTGTTAATTCAGTAAATGATAGTTTAGAACCTGTAGGTGGTT
HCVspike	CTAATTTTGAGCCATTTACTGTTAATTCAGTAAATGATAGTTTAGAACCTGTAGGTGGTT
CRCVspike	CTAATTTTGAGCCATTTACTGTTAATCCAGTAATGATAGTTTACACCCTGTAGGTGGTT
HEVspike	CTAATTTTGAACCATTTGCCGCTAATTTGGTAAATGATAGTATAGAACCTGTTGGTGGTT
	********* ****** * * **** ********** ** *
BCVspike	TGTATGAAATTCAAATACCTTCAGAGTTTACTATAGGTAATATGGAGGAGTTTATTCAAA
HCVspike	TGTATGAAATTCAAATACCTTCAGAGTTTACTATAGGTAATATGGAGGAGTTTATTCAAA
CRCVspike	TGTATGAAATTCAAATACCTTCAGAGTTTACTATAGGTAATATGGAGGAGTTTATTCAAA
HEVspike	TGTATGAAATACAGATACCTTCAGAGTTTACCATTGGTAATTTAGAAGAATTCATTC
	********* ** *************** ** ***** *
BCVspike	TAAGCTCTCCTAAAGTTACTATTGATTGTTCTGCTTTTGTCTGTGGTGATTATGCAGCAT
HCVspike	CAAGCTCTCCTAAAGTTACTATTGATTGTTCTGCTTTTGTCTGTGGTGATTATGCAGCAT
CRCVspike	CAAGATCTCCTAAAGTTACTATTGATTGTCCTGTTTTTTGTCTGTGGTGATTATGCAGCAT
HEVspike	CGAGTTCCCCTAAGGTTACTATAGATTGTGCTACATTTGTTGTGGTGACTATGCTGCAT
	** ** ***** ******* ****** ** ***** ****

FIGURA 9 (Pagina 8 de 12)

BCVspike	GTAAATCACAGTTGGTTGAATATGGTAGTTTCTGTGACAATATTAATGCTATACTCACAG
HCVspike	GTAAATCACAGTTGGTTGAATATGGTAGCTTCTGTGACAATATTAATGCTATACTCACAG
CRCVspike	GTAAATCACAGTTGGTTGAATATGGTAGTTTTTGTGACAATATTAATGCTATACTCACAG
HEVspike	GTAGACAACAGTTAGCTGAGTATGGTAGTTTTTGTGAGAACATTAATGCTATACTCATAG
100 CONT. CO.	*** *
	association in the second control of the sec
BCVspike	AAGTAAATGAACTACTTGACACTACACAGTTGCAAGTAGCTAATAGTTTAATGAATG
HCVspike	AAGTAAATGAACTACTTGACACTACACAGTTGCAAGTAGCTAATAGTTTAATGAATG
CRCVspike	AAGTAAATGAACTACTTGACACTACACAGTTGCAAGTAGCTAATAGTTTAATGAATG
HEVspike	AAGTAAATGAACTACTTGACACTACACAGTTGCAAGTAGCTAATAGTTTAATGAATG

BCVspike	TCACTCTTAGCACTAAGCTTAAAGATGGCGTTAATTTCAATGTAGACGACATCAATTTTT
HCVspike	TCACTCTTAGCACTAAGCTTAAAGATGGCGTTAATTTCAATGTAGACGACATCAATTTTT
CRCVspike	TCACTCTTAGCACTAAGCTTAAAGATGGCTTTAATTTCAATGTAGATGACATCAATTTTT
HEVspike	TCACCCTTAGTACTAAGATTAAGGATGGGATTAATTTCAATGTTGACGATATCAACTTCT
- 27	**** ***** ***** **** ***** ********** ** ** ** ****
BCVspike	CCCCTGTATTAGGTTGTTTAGGAAGCGATTGTAATAAAGTTTCCAGTAGATCTGCTATAG
HCVspike	CCCCTGTATTAGGTTGTTTAGGAAGCGCTTGTAATAAAGTTTCCAGCAGATCTGCTATAG
CRCVspike	CCCCTGTATTAGGTTGTTTAGGAAGCGAATGTAATAAAGTTTCCAGTAGATCTGCTATAG
HEVspike	CCTCTGTATTAGGTTGTTTAGGAAGCGAATGTAACAGAGCTTCCACTAGATCTGCTATAG
	** ************************ ***** * ** ****
BCVspike	AGGATTTACTTTTTCTAAAGTAAAGTTATCTGATGTCGGTTTTGTTGAGGCTTATAATA
HCVspike	AGGATTTACTTTTTCTAAAGTAAAGTTATCTGATGTCGGTTTCGTTGAGGCTTATAATA
CRCVspike	AGGATTTACTTTTTCTAAAGTAAAGTTATCTGATGTTGGTTTTGTTGATGCTTATAATA
HEVspike	AGGATTTACTTTTTGATAAAGTAAAATTGTCTGATGTCGGTTTTGTACAGGCCTATAATA
	************ ******** ** ******* ***** ** *
BCVspike	ATTGTACTGGAGGTGCCGAAATTAGGGACCTCATTTGTGTGCAAAGTTATAATGGTATCA
HCVspike	ATTGTACTGGAGGTGCCGAAATTAGGGACCTCATTTGTGTGCAAAGTTATAATGGTATCA
CRCVspike	ATTGTACTGGAGGTGCCGAAATTAGGGACCTCATTTGTGTGCAAAGTTATAATGGTATCA
HEVspike	ACTGCACTGGAGGAGCCGAAATTAGGGATCTCATTTGTGTGCAAAGTTATAATGGTATCA
	* ** ******* **************************

FIGURA 9 (Pagina 9 de 12)

BCVspike	AAGTGTTGCCTCCACTACTCTCAGAAAATCAGATCAGTGGATACACTTTGGCTGCTACCT
HCVspike	AAGTGTTGCCTCCACTGCTCTCAGTAAATCAGATCAGTGGATACACTTTGGCTGCCACCT
CRCVspike	AAGTGTTGCCTCCACTGCTCTCAGAAAATCAGATCAGTGGATACACTTTGGCTGCCACCT
HEVspike	AAGTGTTGCCTCCNTTGTTATCTGAAAATCAGATTAGTGGTTACACTTCGGCAGCCACCG
	************** * * ** * ******** ******
BCVspike	CTGCTAGTCTGTTTCCTCCTTGGTCAGCAGCAGCGGGGGTACCATTTTATTTA
HCVspike	$\tt CTGCTAGTCTGTTTCCTCCTTGGTCAGCAGCAGCAGGTGTACCATTTTATTTA$
CRCVspike	TTGCTAGTCTGTTTCCTCCTTGGTCAGCAGCAGCAGCGTACCATTTTATTTA
HEVspike	CTGCTAGCCTATTTCCTCCCTGGACAGCTGCAGCAGGTGTACCATTTTATTTA
	****** ** ******* *** **** ****** ******
BCVspike	AGTATCGTATTAATGGGATTGGTGTTACCATGGATGTTCTAAGTCAAAATCAAAAGCTTA
HCVspike	AGTATCGTATTAATGGGATTGGTGTTACCATGGATGTGTTAAGTCAAAATCAAAAGCTTA
CRCVspike	AGTATCGTATTAATGGTATTGGTGTTACCATGGATGTGCTAACTCAAAATCAAAAGCTTA
HEVspike '	AGTATCGTATAAATGGGCTTGGCGTCACCATGGATGTGCTAAGCCAAAACCAAAAGCTTA
	********** ***** **** ** ********* *** ****
BCVspike	TTGCTAATGCATTTAACAATGCCCTTGATGCTATTCAGGAAGGGTTTGATGCTACCAATT
HCVspike	$\tt TTGCTAATGCATTTAGCAATGCTCTTGATGCTATTCAGGAAGGGTTTGATGCTACCAATT$
CRCVspike	$\tt TTTCTAATGCATTTAACAATGCCCTTGATGCTATTCAGGAAGGGTTTGATGCTACCAATT$
HEVspike	TTGCTAGTGCATTTAACAACGCTCTTGATTCTATCCAGGAAGGGTTCGACGCAACCAATT
	** *** ******* *** **, ****** **** ******
BCVspike	CTGCTTTAGTTAAAATTCAAGCTGTTGTTAATGCAAATGCTGAAGCTCTTAATAACTTAT
HCVspike	CTGCTTTAGTTAAAATTCAAGCTGTTGTTAATGCAAATGCTGAAGCTCTTAATAACTTAT
CRCVspike	CTGCTTTAGTTAAAATTCAAGCTGTTGTTAATGCAAATGCTGAAGCTCTTAATAACTTAT
HEVspike	CTGCTTTAGTTAAAATTCAGGCTGTTGTTAATGCAAATGCTGAAGCACTTAATAACTTAT

BCVspike	TGCAACAACTCTCTAATAGATTTGGTGCTATAAGTTCTTCTTTACAAGAAATTCTATCTA
HCVspike	TGCAACAACTCTCTAATAGATTTGGTGCTATAGGTTCTTCTTTACAAGAAATTCTATCTA
CRCVspike	TGCRACAACTCTCTAATAAATTTGGTGCTATAAGTGCTTCTTTACAAGAAATTCTATCTA
HEVspike	TGCAGCAACTCTCTAACAGATTTGGTGCCATAAGTGCCTCTTTACAAGAAATTTTATCCA
	*** ********* * ******** *** ** * ******

FIGURA 9 (Pagina 10 de 12)

BCVspike	GACTTGATGCTCTTGAAGCGCAAGCTCAGATAGACAGACTTATTAATGGGCGTCTTACCG
HCVspike	GACTGGATGCTCTTGAAGCGCAAGCTCAGATAGACAGACTTATTAATGGGCGTCTTACCG
CRCVspike	GACTTGATGCTCTTGAAGCGCAAGCTCAGATAGACAGACTTATCAATGGGCGTCTTACCG
HEVspike	GGCTCGATGCTCTTGAAGCTAAAGCTCAGATAGACAGACTTATTAATGGGCGTCTCACCG
	* ** *********** ******************* ****
BCVspike	CTCTTAATGCTTATGTTTCTCAACAGCTTAGTGATTCTACACTAGTAAAATTTAGTGCAG
HCVspike	CTCTTAATGCTTATGTTCTCAACAGCTTAGTGATTCTACACTAGTAAAATTTAGTGCAG
CRCVspike	CTCTTAATGCTTATGTTTCTCAACAGCTTAGTGATTCTACACTAGTAAAATTTAGTGCAG
HEVspike	CTCTTAATGCTTATGTTTCTCAGCAGCTTAGTGATTCTACACTAGTAAAATTTAGTGCAG

BCVspike	CACAAGCTATGGAGAAGGTTAATGAATGTGTCAAAAGCCAATCATCTAGGATAAATTTTT
HCVspike	CACAAGCTATGGAGAAGGTTAATGAATGTGTCAAAAGCCAATCATCTAGGATAAATTTTT
CRCVspike	CACAAGCTATGGAGAAGGTTAATGAATGTGTCAAAAGCCAATCATCTAGGATAAATTTTT
HEVspike	CACAAGCTATTGAGAAAGTTAATGAATGTGTTAAAAGCCAATCATCTAGGATAAATTTCT
	********* ***** *********** ***********
BCVspike	GTGGTAATGGTAATCATATATCATTAGTGCAGAATGCTCCATATGGTTTGTATTTTA
HCVspike	GTGGTAATGGTAATCATATTATCATTAGTGCAGAATGCTCCATATGGTTTGTATTTTA
CRCVspike	GTGGTAATGGTAATCATATATATCATTAGTGCAGAATGCTCCATATGGTTTGTATTTTA
HEVspike	GTGGTAATGGTAATCATTATATCATTAGTACAGAATGCTCCATATGGTTTGTATTTTA

BCVspike	TCCACTTTAGCTATGTCCCTACTAAGTATGTCACTGCGAAGGTTAGTCCCGGTCTGTGCA
HCVspike	TCCACTTTAGCTATGTCCCTACTAAGTATGTCACTGCGAAGGTTAGTCCCGGTCTGTGCA
CRCVspike	TCCACTTTAGCTATGTCCCTACTAAGTATGTCACTGCGAAGGTTAGTCCCGGTCTGTGCA
HEVspike	TCCATTTTAGCTATGTCCCCACCAAGTATGTTACAGCAAAGGTTAGTCCTGGTTTGTGCA
	**** ********** ** ******* ** ******** ** ** ****
BCVspike	TTGCTGGTGATAGAGGTATAGCCCCTAAGAGTGGTTATTTTGTTAATGTAAATAACACTT
HCVspike	TTGCTGGTGATAGAGGTATAGCCCCTAAGAGTGGTTATTTTGTTAATGTAAATAATACTT
CRCVspike	TYGCAGGTGATAGAGGTATAGCTCCTAAGAGTGGTTATTTTGTTAATGTAAATAACACTT
HEVspike	TTGCTGGCGATATAGGAATATCGCCTAAGAGTGGTTATTTTATTAATGTAAATAACTCTT

FIGURA 9 (Pagina 11 de 12)

BCVspike	GGATGTTCACTGGTAGTGGTTATTACTACCCTGAACCTATAACTGGAAATAATGTTGTTG
HCVspike	GGATGTTCACTGGTAGTGGTTATTACTACCCTGAACCCATAACTGGAAATAATGTTGTTG
CRCVspike	GGATGTTCACTGGTAGTGGTTATTACTACCCTGAACCTATAACTGGAAATAATGTGGTTG
HEVspike	GGATGTTCACTGGTAGTGGCTATTACTACCCTGAACCTATAACCCAAAATAATGTTGTTG

BCVspike	TTATGAGTACCTGTGCTGTTAATTACACTAAAGCACCGGATGTAATGCTGAACATTTCAA
HCVspike	TTATGAGTACCTGTGCTGTTAACTATACTAAAGCGCCGGATGTAATGCTGAACATTTCAA
CRCVspike	TTATGAGTACCTGTGCTGTTAACTATACTAAAGCACCGGATGTAATGCTGAACATTTCAA
HEVspike	TGATGAGTACGTGTGCTGTTAATTATACTAAAGCACCGGATCTAATGCTGAACACATCGA
3CVspike	CACCCAACCTCCCTGATTTTAAGGAAGAGTTGGATCAATGGTTTAAAAACCAAACATCAG
HCVspike	CACCCAACCTCCATGATTTTAAGGAAGAGTTGGATCAATGGTTTAAAAACCAAACATCAG
CRCVspike	CACCCAACCTCCCTGATTTTAAGGAAGAGTTGGATCAATGGTTTAAAAACCAAACATTAA
HEVspike	CACCCAACCTTCCTGATTTCAAGGAAGAATTGTATCAATGGTTTAAAAACCAATCTTCAT
	,
BCVspike	TGGCACCAGATTTGTCACTTGATTATATATATGTTACATTCTTGGACCTACAAGATGAAA
HCVspike	TGGCACCAGATTTGTCACTTGATTATATAAATGTTACATTCTTGGACCTACAAGATGAAA
CRCVspike	TGGCACCAGATTTGTCACTTGATTATATAAATGTTACATTCTTGGACCTACAAGATGAAA
HEVspike	TGGCACCAGATTTGTCATTTGATTATATTAATGTTACGTTCTTGGACCTACAAGATGAAA

BCVspike	TGANTAGGTTACAGGAGGCAATAAAAGTTTTAAATCAGAGCTACATCAATCTCAAGGACA
HCVspike	TGAATAGGTTACAGGAGGCAATAAAAGTTTTAAATCAGAGCTACATCAATCTCAAGGACA
CRCVspike	TGAATAGGTTACAGGAGGCAATAAAAGTTTTAAATCATAGCTACATCAATCTCAAGGACA
HEVspike	TGAATAGGTTACAAGAAGCTATAAAAGTTCTAAATCATAGCTACATCAATCTCAAGGACA
	*********** ** ** ******** ******* *****
BCVspike	TTGGTACATATGAGTATTATGTAAAATGGCCTTGGTATGTAT
HCVspike	TTGGTACATATGAGTATTATGTAAAATGGCCTTGGTATGTAT
CRCVspike	TTGGTACATATGAATATTATGTAAAATGGCCTTGGTATGTAT
HEVspike	TTGGTACATATGAGTATTATGTGAAATGGCCTTGGTATGTAT
	*********** ******* *******************

FIGURA 9 (Pagina 12 de 12)

BCVspike	CTGGTGTAGCTATGCTTGTTTTACTATTCTTCATATGCTGTTGTACAGGATGTGGGACTA
•	
HCVspike	CTGGTGTAGCTATGCTTGTTTACTATTCTTCATATGCTGTTGTACAGGATGTGGGACTA
CRCVspike	CTGGCGTAGCTATGCTTTTACTATTCTTCATATGCTGTTGTACAGGATGTGGGACTA
HEVspike	CTGGTGTAGTTATGCTTGTTTTACTATTCTTCATATGCTGCTGTACAGGATGTGGGACTA
	**** **** *****************************
	¥
BCVspike	GTTGTTTTAAGAAATGTGGTGGTTGTTGTGATGATTATAC
HCVspike	GTTGTTTTAAGATATGTGGTGGTTGTTGTGATGATTATACTGGACACCAGG
CRCVspike	GTTGTTTTAAGAAATGCGGTGGTTGTTGTGATGATTATACTGGACATCAGG
HEVspike	${\tt GTTGTTTTAAGAAATGTGGCGGTTGTTTTGATGATTATACTGGACACCAGGAGTTTGTAA}$

BCVspike	
HCVspike	
CRCVspike	
HEVspike	TCAAAACTTCACATGACGATTAATTTCGT

FIGURA 10 (Página 1 de 5)

BCVspikepro	MFLILLISLPMALAVIGDLKCTTVSINDVDTGVPSVSTDTVDVTNGLGTYYVLDRV
HCVspikepro	MFLILLISLPTAFAVIGDLKCTTVSINDIDTGAPSISTDIVDVTNGLGTYYVLDRV
CRCVspikepr	MFLILLISLPMAFAVIGDLKCTTVSINDVDTGAPSISTDVVDVTNGLGTYYVLDRV
HEVspikepro	MFFILLITLPSVFAVIGDLKCNTSSINDVDTGVPSISSEVVDVTNGLGTFYVLDRV
CECVspikepr	MIVLVTCILLLCSYHTASSTSNNDCRQVNVTQLDGNENLIRDFLFQNFKEEGTVVVGG
,	: ***: .:.* .:.:* . : .: : ** * .
	_103
BCVspikepro	YLNTTLLLNGYYPTSGSTYRNMALKGTLLLSTLWFKPPFLSDFINGIFAKVKNTKVIKNG
HCVspikepro	${\tt YLNTTLLLNGYYPTSGSTYRNMALKGTLLLSRLWFKPPFLSDFINGIFAKVKNTKVIKKG}$
CRCVspikepr	${\tt YLNTTLLLNGYYPTSGSTYRNMALKGTLLLSTLWFKPPFLSDFIDGVFAKVKNTKVIKDG}$
HEVspikepro	${\tt YLNTTLLLNGYYPISGATFRNVALKGTRLLSTLWFKPPFLSPFNDGIFAKVKNSRFSKHG}$
CECVspikepr	${\tt YYPTEVWYNCSRTATTTAYEYFSNIHAFYFDMEAMENSTGNARGKPLLFHVHGEPVSV}$
	* - * : * . : ::: . : : : :: : : :
,	171 166 171
BCVspikepro	VMYSEFPAITIGSTFVNTSYSVVVQPHTTNLDNKLQGLLEISVCQYTMCEYPHTICHPNL
HCVspikepro	VMYSEFPAITIGSTFVNTSYSVVVQPHTTNLDNKLQGLLEISVCQYTMCEYPHTICHPNL
CRCVspikepr	${\tt VVYSEFPAITIGSTFVNTSYSVVVQPHTTNLDNKLQGLLEISVCQYTMCDYPHTMCHPNL}$
HEVspikepro	VIYSEFPAITIGSTFVNTSYSIVVKPHTSFINGNLQGFLQISVCQYTMCEYPQTICHPNL
CECVspikepr	IIYISYRDDVQHRPLLKHGLVCITESRNIDYN-SFTSSQWNSICTGNDRKIPFSVIPTDN
	::* .:::: . : .: *:* *:: .:
	179 192 210
BCVspikepro	GNRRIELWHWDTGVVSCLYKRNFTYDVNADYLYFHFYQEGGTFYAYFTDTGVVT
HCVspikepro	GNRRVELWHWDTGVVSCLYKRNFTYDVNADYLYFHFYQEGGTFYAYFTDTGVVT
CRCVspikepr	GNKRIELWHWDTGVVPCLYKRNFTYDVNADYLYSHFYQEGGTFYAYFTDTGVVT
HEVspikepro	GNQRIELWHHDTDVVSCLYRRNFTYDVNADYLYFHFYQEGGTFYAYFTDTGFVT
CECVspikepr	GTKIYGLEWNDEFVTAYISGRSYNWNINNNWFNNVTLLYSRSSTATWQHSAAYVYQGVSN
	*.: * * *: *.:.::* . **: . * :. *
	235
BCVspikepro	KFLFNVYLGTVLSHYYVMPLTCNSAMTLEYWVTPLTSKQYLLAFNQDGVIF
HCVspikepro	KFLFNVYLGTVLSHYYVLPLTCNSAMTLEYWVTPLTSKQYLLAFNQDGVIF
CRCVspikepr	KFLFHVYLGTVLSHYYVMPLTCNSAMTLEYWVTPLTFKQYLLAFNQDGVIF
HEVspikepro	KFLFKLYLGTVLSHYYVMPLTCDSALSLEYWVTPLTTRQFLLAFDQDGVLY
CECVspikepr	FTYYKLNNTNGLKTYELCEDYEYCTGYATNIFAPTVGGYIPDGFSFNNWFLLTNSSTFVS

FIGURA 10 (Página 2 de 5)

BCVspikepro	NAVDCKSDFMSEIKCKTLSIAPSTGVYELNGYTVQPIADVYRR-IPNLPDCNIEAWLNDK
HCVspikepro	NAVDCKSDFMSEIKCKTLSIAPSTGVYELNGYTVQPIADVYRR-IPNLPDCNIEAWLNDK
CRCVspikepr	NAVDCKSDFMSEIKCKTLSIAPSTGVYELNGYTVQPIADVYRR-IPNLPDCNIEAWLNDK
HEVspikepro	HAVDCASDFMSEIMCKTSSITPPTGVYELNGYTVQPVATVYRR-IPDLPNCDIEAWLNSK
CECVspikepr	GRFVTNQPLLVNCLWPVPSFGVAAQEFCFEGAQFSQCNGVFLNNTVDVIRFNLNFTADVQ
	388
BCVspikepro	SVPSPLNWERKTFSNCNFNMSSLMSFIQADSFTCNNIDAAKIYGMCFSSITIDK
HCVspikepro	SVPSPLNWERKTFSNCNFNMSSLMSFIQADSFTCNNIDAAKIYGMCFSSITIDK
CRCVspikepr	SVPSPLNWERKTFSNCNFNMSSLMSFIQADSFTCNNIDAAKIYGMCFFSITIDK
HEVspikepro	TVSSPLNWERKIFSNCNFNMGRLMSFIQADSFGCNNIDASRLYGMCFGSITIDK
CECVspikepr	SGMGATVFSLNTTGGCILEISCYNDIVSESSFYSYGEIPFGVTDGPRYCYVLYNGTALKY
	: :.:* :::::** . *: ::. ::.
	407 436 440 447
BCVspikepro	FAIPNGRKVDLQLGNLGYLQSFNYRIDTTATSCQLYYNLPAAN-VSVSRFNPSTWNRRFG
HCVspikepro	FAIPNGRKVDLQLGNLGYLQSFNYRIDTTATSCQLYYNLPAAN-VSVSRFNPSTWNRRFG
CRC.Vspikepr	FAIPNGRKVDLQMGNLGYLQSFNYRIDTTATSCQLYYNLPASN-VSISRFNPSIWNRRFG
HEVspikepro	FAIPNSRKVDLQVGKSGYLQSFNYKIDTAVSSCQLYYSLPAAN-VSVTHYNPSSWNRRYG
CECVspikepr	FGTLPPSVKEIAISKWGQFYINGYNFFSTFPIDCISFNLTTGDSGAFWTIAYTSYTEALV
	*. ::::: *: .*:::: :::*::::::::::::::::
	501
BCVspikepro	FTEQSVFKPQPVGVFTDHDVVYAQHCFKAPTNFCPCKLDGSLCVGSGSGIDAGYKNSGIG
HCVspikepro	FTEQSVFKPQPVGVFTHHDVVYAQHCFKAPTNFCPCKLDGSLCVGNGPGIDAGYKNSGIG
CRCVspikepr	FTEQSVFKPQPVGVFTDHDVVYAQHCFKAPTNFCPCKLNGSLCVGSGFGIDAGYKNSGIG
HEVspikepro	FINQSFGSRGLHDAVYSQQCFNTPNTYCPCRTSQCIGGAGTG
CECVspikepr	QVENTAIKKVTYCNSHINNIKCSQLTANLQNGFYPVASSEVGLVNKSVVLLPSFYSHTSV
	::: :* : : * :.
	525 528 540
BCVspikepro	TCPAGTNYLTCHNAAQCNCLCTPDPITSKSTGPYKCPQTKYLVGIGEHCSGLAIKS
HCVspikepro	TCPAGTNYLTCHNAAQCDCLCTPDPITSKSTGPYKCPQTKYLVGIGEHCSGLAIKS
CRCVspikepr	TCPAGTNYLTCYNANQCDCLCTPDPILSKSTGPYKCPQTKYLVGIGEHCSGLAIKS
HEVspikepro	${\tt TCPVGTTVRKCFAAVTNATKCTCWCQPDPSTYKGVNAWTCPQSKVSIQPGQHCPGLGLVE}$
CECVspikepr	NITIDLGMKRSGYGQPIASTLSNITLPMQDNNTDVYCIRSNQFSVYVHSTCKSSLWDN

FIGURA 10 (Página 3 de 5) 608 582 DYCGGNPCTCQPQAFLGWSVDSCLQGDRCN--IFANFILHDVNSGTTCSTDLQKSNTDII BCVspikepro DYCGGNPCTCQPQAFLGWSVDSCLQGDRCN--IFANFILHDVNSGTTCSTDLQKSNTDII **HCVspikepro** DYCGGNPCTCQPKAFLGWSVDSCLQGDRCN--IFANFILHGVNSGTTCSTDLQKSNTDII CRCVspikepr DDCSGNPCTCKPQAFIGWSSETCLQNGRCN--IFANFILNDVNSGTTCSTDLQQGNTNIT **HEVspikepro** NFNODCTDVLYATAVIKTGTCPFSFDKLNNYLTFNKLCLSLNPTGANCKFDVAARTRTNE CECVspikepr LGVCVNYDLYGITGQGIFVEVNATYYNSWQNLLYDSNGNLYGFRDYLTNRTFMIRSCYSG BCVspikepro LGVCVNYDLYGITGQGIFVEVNAPYYNSWQNLLYDSNGNLYGFRDYLTNRTFMIRSCYSG **HCVspikepro** LGVCVNYDLYGITGQGIFVEVNATYYNSWQNLLYDSNGNLYGFRDYLTNRTFMIRSCYSG CRCVspikepr TDVCVNYDLYGITGQGILIEVNATYYNSWQNLLYDSSGNLYGFRDYLSNRTFLIRSCYSG **HEVspikepro** QVVRSLYVIYEEGDNIVGVPSDNSGLHDLSVLHLDSCTDYN---IYGRTGVGIIRQTNST CECVspikepr .:::::: * ** 692 -695 RVSAÁFHÁNSSEPALLFRNÍKCNYVFNNTLSRQLOPINYFDSYLGCVVNADNSTSSAVQT BCVspikepro RVSAAFHANSSEPALLFRNIKCSYVFNNTLSRQLQPINYFDSYLGCVVNADNSTSSVVQT **HCVspikepro** RVSAGFHSNSSEPALLFRNIKCNYVFNNTLSRQLQPINYFDSYLGCVVNADNSTSSSVQT CRCVspikepr RVSAVFHANSSEPALMFRNLKCSHVFNYTILRQIQLVNYFDSYLGCVVNAYNNTASAVST HEVspikepro ILSGLHYTSLSGDLLGFKNVSDGVVYSVTPCDVSAQAAVIDGAIVGAMTSINSELLGLTH CECVspikepr * *:*:. . *:. * 757 758 786 CDLTVGSGYCVDYSTKRRSRRAITTGYRFTNFEPFTVNS------VNDS BCVspikepro CDLTVGSGYCVDYSTKRRSRRAITTGYRFTNFEPFTVNS------VNDS **HCVspikepro** CDLTVGSGYWGDYSTQRRSRRTITTGYRFTNFEPFTVNP------VNDS CRCVspikepr CDLTVGSGYCVDYVTALRSRRSFTTGYRFTNFEPFAANL------VNDS HEVspikepro WTTTPNFYYYSIYNTTNERTRGTAIDSNDVDCEPIITYSNIGVCKNGALVFINVTHSDGD **CECVspikepr** : . . .: **: . , 818 827 792 LÉPVGGLYEIQIPSEFTIGNMEEFIQIŚSPKVTIDCŚAFVCGDYAACKSQLVEYGSFCDN BCVspikepro LEPVGGLYEIQIPSEFTIGNMEEFIQTSSPKVTIDCSAFVCGDYAACKSQLVEYGSFCDN **HCVspikepro** LHPVGGLYEIQIPSEFTIGNMEEFIQTRSPKVTIDCPVFVCGDYAACKSQLVEYGSFCDN CRCVspikepr IEPVGGLYEIQIPSEFTIGNLEEFIQTSSPKVTIDCATFVCGDYAACRQQLAEYGSFCEN HEVspikepro VQPIS-TGNVTIPTNFTISVQVEYIQVYTTPVSIDCSRYVCNGNPRCNKLLTQYVSACQT CEÇVspikepr *:** :. *:***. :**.. . *.. *.:* * *:. :: **::***. :.*:.

FIGURA 10 (Página 4 de 5)

•	887
BCVspikepro	INAILTEVNELLDTTQLQVANSLMNGVTLSTKLKDGVNFNVDDINFSPVL
HCVspikepro	INAILTEVNELLDTTQLQVANSLMNGVTLSTKLKDGVNFNVDDINFSPVL
CRCVspikepr	INAILTEVNELLDTTQLQVANSLMNGVTLSTKLKDGFNFNVDDINFSPVL
HEVspikepro	INAILIEVNELLDTTQLQVANSLMNGVTLSTKIKDGINFNVDDINFSSVL
CECVspikepr	IEQALAMSASLENMEVDSMLFVSENALKLASVEAFNSTEHLDPIYKEWPNIGGSWLGGLK
CHCVSPIRCPI	*: * .*: .: *.:.*:::* * :.:
	_933
BCVspikepro	GCLGSDCNKVSSRSAIEDLLFSKVKLSDVG-FVEAYNNCTGGAEIRDLICVQSYNGIKVL
HCVspikepro	GCLGSACNKVSSRSAIEDLLFSKVKLSDVG-FVEAYNNCTGGAEIRDLICVQSYNGIKVL
CRCVspikepr	GCLGSECNKVSSRSAIEDLLFSKVKLSDVG-FVDAYNNCTGGAEIRDLICVQSYNGIKVL
HEVspikepro	GCLGSECNRASTRSAIEDLLFDKVKLSDVG-FVQAYNNCTGGAEIRDLICVQSYNGIKVL
CECVspikepr	DILPSHNSKRKYRSAIEDLLFDKVVTSGLGTVDEDYKRCTGGYDIADLVCAQYYNGIMVL
	. * * .: . ********* * .:* . : *:.*** :* **:*.* **** **
	977 1011 1018
BCVspikepro	PPLLSENQISGYTLAATSASLFPPWS-AAAGVPFYLNVQYRINGIGVTMDVLSQNQKLIA
HCVspikepro	PPLLSVNQISGYTLAATSASLFPPWS-AAAGVPFYLNVQYRINGIGVTMDVLSQNQKLIA
CRCVspikepr	PPLLSENQISGYTLAATFASLFPPWS-AAAGVPFYLNVQYRINGIGVTMDVLTQNQKLIS
HEVspikepro	PPLLSENQISGYTSAATAASLFPPWT-AAAGVPFYLNVQYRINGLGVTMDVLSQNQKLIA
CECVspikepr	PGVANDDKMTMYTASLAGGIALGALGGGAVAIPFAVAVQARLNYVALQTDVLNKNQQILA
	* : . :::: ** : :
	1063
BCVspikepro	NAFNNALDAIQEGFDATNSALVKIQAVVNANAEALNNLLQQLSNRF
HCVspikepro	NAFSNALDAIQEGFDATNSALVKIQAVVNANAEALNNLLQQLSNRF
CRCVspikepr	NAFNNALDAIQEGFDATNSALVKIQAVVNANAEALNNLLQQLSNKF
HEVspikepro	SAFNNALDSIQEGFDATNSALVKIQAVVNANAEALNNLLQQLSNRF
CECVspikepr	${\tt NAFNQAIGNITQAFGKVNDAIHQTSQGLATVAKALAKVQDVVNTQGQALSHLTVQLQNSF}$
	.**.:*:. * :.** .**.** .**.** **.* *
BCVspikepro	GAISSSLQEILSRLDALEAQAQIDRLINGRLTALNAYVSQQLSDSTLVKFSAAQAMEKVN
HCVspikepro	GAIGSSLQEILSRLDALEAQAQIDRLINGRLTALNAYVSQQLSDSTLVKFSAAQAMEKVN
CRCVspikepr	GAISASLQEILSRLDALEAQAQIDRLINGRLTALNAYVSQQLSDSTLVKFSAAQAMEKVN
HEVspikepro	GAISASLQEILSRLDALEAKAQIDRLINGRLTALNAYVSQQLSDSTLVKFSAAQAIEKVN
CECVspikepr	QAISSSISDIYNRLDELSADAQVDRLITGRLTALNAFVSQTLTRQAEVRASRQLAKDKVN
	.:*:.:* .* *.*.**:********** *: .: *: * * :***

FIGURA 10 (Pagina 5 de 5)

BCVspikepro	ECVKSQSSRINFCGNGNHIISLVQNAPYGLYFTHFSYVPTKYVTAKVSPGLÇIAGDRGIA				
HCVspikepro	ECVKSQSSRINFCGNGNHIISLVQNAPYGLYFIHFSYVPTKYVTAKVSPGLCIAGDRGIA				
CRCVspikepr	ECVKSQSSRINFCGNGNHIISLVQNAPYGLYFIHFSYVPTKYVTAKVSPGLCIAGDRGIA				
HEVspikepro	ECVKSQSSRINFCGNGNHIISLVQMAPYGLYFIHFSYVPTKYVTAKVSPGLCIAGDIGIS				
CECVspikepr	ECVRSQSQRFGFCGNGTHLFSLANAAPNGMVFFHTVLLPTAYETVTAWSGICASDGDRTF				
	!.*!.*****.*!!**.! ** *! *!* !** * **!* !				
BCVspikepro	PKSGYFVNVNNTWMFTGSGYYYPEPITGNNVVVMSTCAVNYTKAPDVMLNISTP				
HCVspikepro	PKSGYFVNVNNTWMFTGSGYYYPEPITGNNVVVMSTCAVNYTKAPDVMLNISTP				
CRCVspikepr	PKSGYFVNVNNTWMFTGSGYYYPEPITGNNVVVMSTCAVNYTKAPDVMLNISTP				
HEVspikepro	PKSGYFINVNNSWMFTGSGYYYPEPITQNNVVVMSTCAVNYTKAPDLMLNTSTP				
CECVspikepr	GLVVKDVQLTLFRNLDDKFYLTPRTMYQPRAATSSDFVQIEGCDVLFVNATVIDLPSIIP				
	1256 1257				
BCVspikepro	NLPDFKEELDQWFKNQTSVAPDLSLDYINVTFLDLQDEMNRLQE				
HCVspikepro	NLHDFKEELDQWFKNQTSVAPDLSLDYINVTFLDLQDEMNRLQE				
CRCVspikepr	NLPDFKEELDQWFKNQTLMAPDLSLDYINVTFLDLQDEMNRLQE				
HEVspikepro	NLPDFKEELYQWFKNQSSLAPDLSFDYINVTFLDLQDEMNRLQE				
CECVspikepr	DYIDINQTVQDILENYRPNWTVPELTIDIFNATYLNLTGEIDDLEFRSEKLHNTTVELAI				
	: *:::::::::::::::::::::::::::::::::::				
BCVspikepro	AIKVLNQSYINLKDIGTYEYYVKWPWYVWLLIGLAGVAMLVLLFFICCCTGCGTSCFKKC				
HCVspikepro	AIKVLNQSYINLKDIGTYEYYVKWPWYVWLLIGFAGVAMLVLLFFICCCTGCGTSCFKIC				
CRCVspikepr	AIKVLNHSYINLKDIGTYEYYVKWPWYVWLLIGLAGVAMLVLLFFICCCTGCGTSCFKKC				
HEVspikepro	AIKVLNHSYINLKDIGTYEYYVKWPWYVWLLICLAGVVMLVLLFFICCCTGCGTSCFKKC				
CECVspikepr	LIDNINNTLVNLEWLNRIETYVKWPWYVWLLIGLVVVFCIPLLLFCCCSTGCCG-CIGCL *.:*:::**::: * *********** :, * : **:* **.*** *:				
BCVspikepro	GGCCDDYTGHQELVIKTSHDD				
HCVspikepro	GGCCDDYTGHQELVIKTSHDD				
CRCVspikepr	GGCCDDYTGHQELVIKTSHDD				
HEVspikepro	GGCFDDYTGHQEFVIKTSHDD				
CECVspikepr	GSCCHSICSRRQFENYEPIEKVHVH				
	. or anne a re				

FIGURA 11

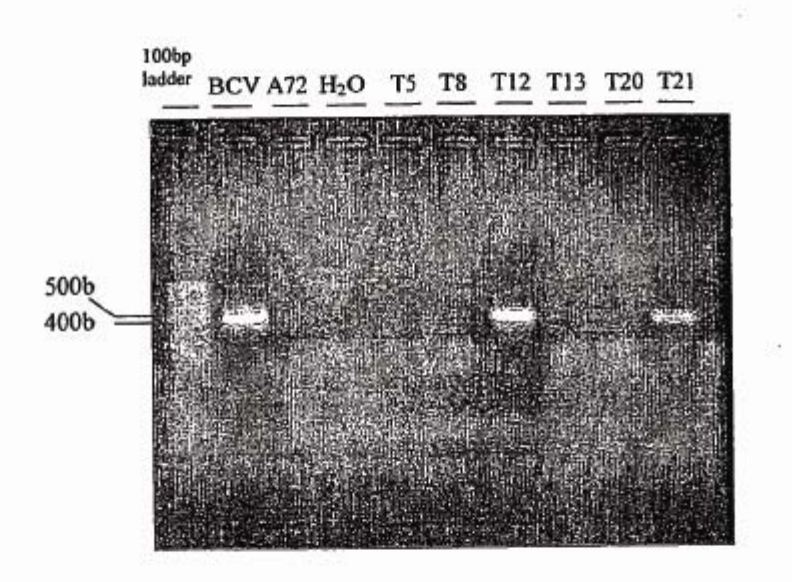
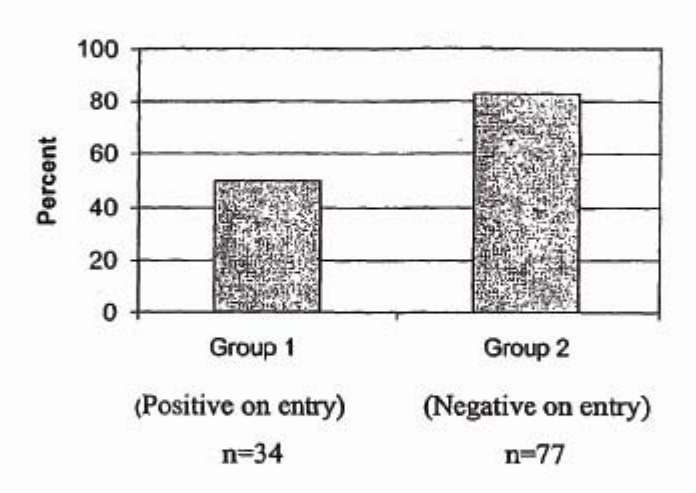


FIGURA 12



ES 2 384 445 T3

FIGURA 13

TATCGCAGCC	TTACTTTTGT	TAATGTACCA	TATGTTTATA	ATGGCTCTGC	ACANTCTACA	60
GCTCTTTGTA	AATCTGGTAG	TTTAGTTCTT	AATAACCCTG	CATATATAGC	TCGTGAAGCT	120
AATTTTGGGG	ATTATTATTA	TAAGGTTGAA	GCTGATTTCT	ATTTGTCAGG	TTGTGACGAG	180
TATATCGTAC	CACTTTGTAT	TTTTAACGGC	AAGTTTTTGT	CGAATACAAA	GTATTATGAT	240
GATAGTCAAT	ATTATTTTAA	TAAAGACACT	GGTGTTATTT	ATGGTTTCAA	TTCTACTGAA	300
ACCATTAACA	CTGGTTTTGA	TTTTAATTGT	CATTATTTAC	TTTTACCCTC	TGGTAATTAT	360
TTAGCCATTT	CAAATGAGCT	ATTGTTAACT	GTTCCTACGA	AAGCAATCTG	TCTTAATAAG	420
CGTAAGGATT	TTACGCCTGT	ACAGGTTGTT	GACTCGCGGT	GGAACAATGC	CAGGCAGTCT	480
GATAACATGA	CGGCGG					497

FIGURA 14

YRSLTFVNVP	YVYNGSAQST	ALCKSGSLVL	NNPAYIAREA	NEGDYYYKVE	ADFYLSGCDE	60
YIVPLCIFNG	KFLSNTKYYD	DSQYYFNKDT	GVIYGENSTE	TINTGFDFNC	HYLLLPSGNY	120
LAISNELLLT	VPTKAICLNK	RKDFTPVQVV	DSRWNNARQS	DNMTA		165

FIGURA 15 (Pagina 1 de 2)

CRCV	TATCGCAGCCTTACTTTTGTTAATGTACCATATGTTTATAATGGCTCTGCACAATCTACA
BCV	TATCGCAGCCTTACTTTTGTTAATGTACCATATGTTTATAATGGCTCTGCACAATCTACA
OC43	TATCGCAGCCTTACTTTTGTTAATGTACCATATGTTTATAATGGCTCTGCACAATCTACA
HECV	TATCGCAGCCTTACTTTTGTTAATGTACCATATGTTTACAATGGCTCTGCACAATCTACA
HEV	TATCGCAGTCTTACTTTAGTTAATGTGCCATACGTTTACAATGGGTCAGCTCAACCCACC
	******* ****** ***** **** **** **** ****
CRCV.	GCTCTTTGTAAATCTGGTAGTTTAGTTCTTAATAACCCTGCATATATAGCTCGTGAAGCT
BCV	GCTCTTTGTAAATCTGGTAGTTTAGTTCTTAATAACCCTGCATATATAGCTCGTGAAGCT
OC43	GCTCTTTGTAAATCTGGTAGTTTAGTCCTTAATAACCCTGCATATATAGCTCCTCAAGCT
HECV	GCTCTTTGTAAATCTGGTAGTTTAGTTCTTAATAACCCTGCATATATAGCTCGTGAAGCT
HEV	GCACTTTGTAAGTCTGGCAGTTTAATTCTTAACAATCCTGCATATATAGCCCGTGAGGCT
	** ******* ***** ***** * ***** ** ******
CRCV	AATTTTGGGGATTATTATTATAAGGTTGAAGCTGATTTCTATTTGTCAGGTTGTGACGAG
BCV	AATTTTGGGGATTATTATATAAGGTTGAAGCTGATTTTTATTTGTCAGGTTGTGACGAG
OC43	AACTCTGGGGATTATTATTATAAGGTTGAAGCTGATTTTTATTTGTCAGGTTGTGACGAG
HECV	AATTTTGGGGATTATTATAAAGGTTGAAGCTGATTTTTATTTGTCAGGTTGTGACGAG
HEV	AATGTGGGTGATTATTATTATAAGTCTGAAGCAGATTTTTCTCTCTC
	** ** ********** ***** ***** * * * *****
CRCV	TATATCGTACCACTTTGTATTTTTAACGGCAAGTTTTTGTCGAATACAAAGTATTATGAT
BCV	TATATCGTACCACTTTGTATTTTTAACGGCAAGTTTTTGTCGAATACAAAGTATTATGAT
OC43	TATATCGTACCACTTTGTATTTTTAACGGCAAGTTTTTGTCGAATACAAAGTATTATGAT
HECV	TATATCGTACCACTTTGTATTTTTAACGGCAAGTTTTTGTCGAATACAAAGTATTATGAT
HEV	TATATCGTACCACTTTGTATTTTTAATGGCAAGTTTTTGTCGAATACAAAGTATTATGAT

CRCV	GATAGTCAATATTATTTTAATAAAGACACTGGTGTTATTTAT
BCV	GATAGTCAATATTATTTAATAAAGACACTGGTGTTATTTAT
OC43	GATAGTCAATATTATTTAATAAAGACACTGGTGTTATTTAT
HECV	GATAGTCAATATTATTTAATAAAGACACTGGTGTTATTTAT
HEV	GATAGTCAATATTATTTAATAAAGACACTGGTGTTATTTAT

CRCV	ACCATTAACACTGGTTTTGATTTTAATTGTCATTATTTACTTTTACCCTCTGGTAATTAT
BCV	ACCATTACCACTGGTTTTGATTTTAATTGTCATTATTTAGTTTTACCCTCTGGTAATTAT
OC43	ACCATTACCACTGGTTTTGATCTTAATTGTTATTTAGTTTTACCCTCTGGTAATTAT
HECV	ACCATTACCACTGGTTTTGATTTTAATTGTCATTATTTAGTTCTACCCTCTGGCAATTAT
HEV	ACCATTACCACTGGTTTTGATTTTAATTGTCATTATTTAGTTCTACCCTCTGGTAATTAT
	****** ******** ******* ******* ** *****
CRCV	TTAGCCATTTCAAATGAGCTATTGTTAACTGTTCCTACGAAAGCAATCTGTCTTAATAAG
BCV	TTAGCCATTTCAAATGAGCTATTGTTAACTGTTCCTACGAAAGCAATCTGTCTTAATAAG
OC43	TTAGCCATTTCAAATGAGCTATTGTTAACTGTTCCTACGAAAGCAATCTGTCTTAATAAG
HECV	TTAGCCATTTCAAATGAGCTATTGTTAACTGTTCCTACTAAAGCAATCTGTCTTAATAAG
HEV	CTAGCCATTTCAAATGAGCTATTGTTAACTGTTCCTACTAAAGCAATCTGTCTTAATAAG

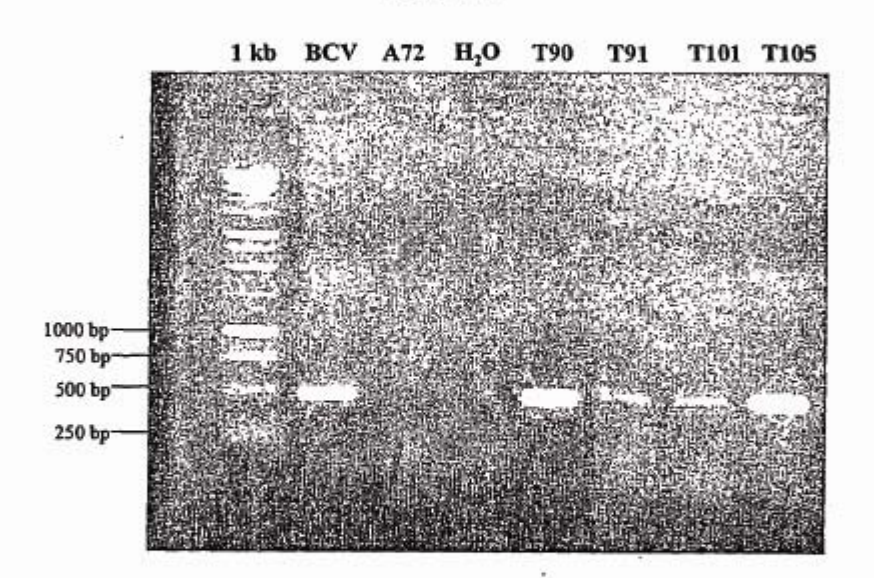
(Pagina 2 de 2)

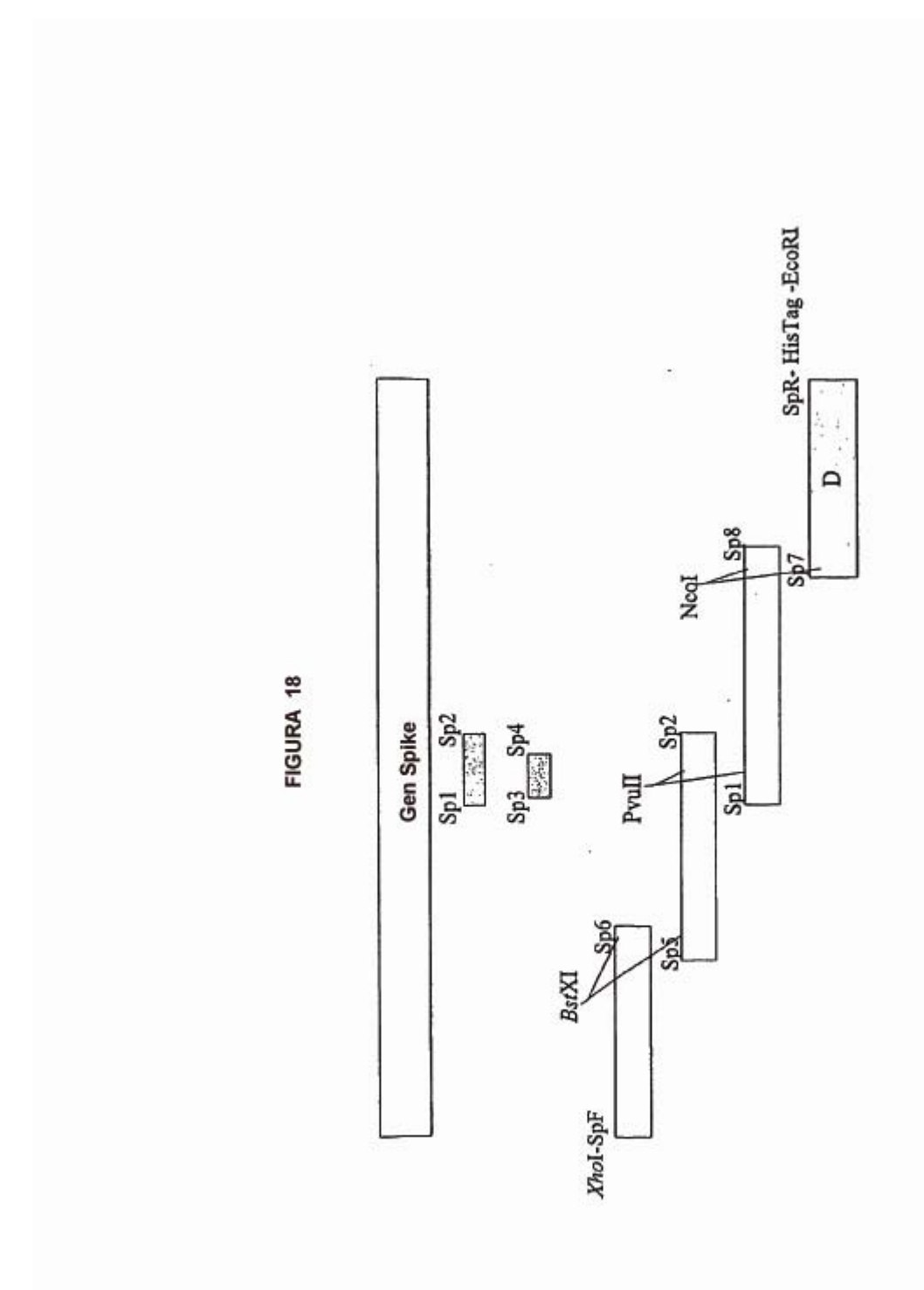
CRCV	CGTAAGGATTTTACGCCTGTACAGGTTGTTGACTCGCGGTGGAACAATGCCAGGCAGTCT
BCV	CGTAAGGATTTTACGCCTGTACAGGTTGTTGACTCTCGGTGGAACAATGCCAGGCAGTCT
OC43	CGTAAGGATTTTACGCCTGTACAGGTTGTTGATTCGCGGTGGAACAATGCCAGGCAGTCT
HECV	CGTAAGGATTTTACGCCTGTACAGGTTGTTGACTCGCGGTGGAACAATGCCAGGCAGTCT
HEV	CGTAAGGTTTTTACGCCTGTACAGGTTGTTGATTCGCGGTGGAACAATGCCAGGCAATCT
	****** ***************** ** ***********
39	
CRCV	GATAACATGACGGCGGT
BCV	GATAACATGACGGCGGT
OC43	GATAACATGACGGCGGT
HECV	GATAACATGACGGCAGT
HEV	GATAACATGACGGCAGT

FIGURA 16

	THE REPORT OF THE PROPERTY OF THE WINDS AT SECURITIES AND THE PROPERTY OF THE
CRCV	YRSLTFVNVPYVYNGSAQSTALCKSGSLVLNNPAYIAREANFGDYYYKVEADFYLSGCDE
BCV	YRSLTFVNVPYVYNGSAQSTALCKSGSLVLNNPAYIAREANFGDYYYKVEADFYLSGCDE
OC43	YRSLTFVNVPYVYNGSAQSTALCKSGSLVLNNPAYIAPQANSGDYYYKVEADFYLSGCDE
HECV	YRSLTFVNVPYVYNGSAQSTALCKSGSLVLNNPAYIAREANFGDYYYKVEADFYLSGCDE
HEV	YRSLTLVNVPYVYNGSAOPTALCKSGSLILNNPAYIAREANVGDYYYKSEADFSLSGCDB
	****** :****** ****** :******* :** ******
CRCV	YIVPLCIFNGKFLSNTKYYDDSQYYFNKDTGVIYGFNSTETINTGFDFNCHYLLLPSGNY
BCV	YIVPLCIFNGKFLSNTKYYDDSQYYFNKDTGVIYGLNSTETITTGFDFNCHYLVLPSGNY
OC43	YIVPLCIFNGKFLSNTKYYDDSQYYFNKDTGVIYGLNSTETITTGFDLNCYYLVLPSGNY
HECV	YIVPLCIFNGKPLSNTKYYDDSQYYFNKDTGVIYGLNSTETITTGFDFNCHYLVLPSGNY
HEV.	YIVPLCIFNGKFLSNTKYYDDSQYYFNKDTGVIYGLNSTETITTGFDFNCHYLVLPSGNY
****	***********************************
CRCV	LAISNELLLTVPTKAICLNKRKDFTPVOVVDSRWNNAROSDNMTA
BCV	LAISNELLLTVPTKAICLNKRKDFTPVOVVDSRWNNAROSDNMTA
OC43	LAISNELLLTVPTKAICLNKRKDFTPVQVVDSRWNNARQSDNMTA
HECV	LAISNELLLTVPTKAICLNKRKDFTPVQVVDSRWNNARQSDNMTA
HEV	LAISNELLLTVPTKAICLNKRKVFTPVQVVDSRWNNARQSDNMTA

FIGURA 17





REFERENCIAS CITADAS EN LA DESCRIPCIÓN

Este listado de referencias citadas por el solicitante tiene como único fin la conveniencia del lector. No forma parte del documento de la Patente Europea. Aunque se ha puesto gran cuidado en la compilación de las referencias, no pueden excluirse errores u omisiones y la OEP rechaza cualquier responsabilidad en este sentido.

Documentos de patente citados en la descripción

• US 6057436 A **[0012]**

5

25

45

55

- US 6372224 A, Miller [0012]
- WO 9816643 A [0140]
- 10 Literatura no de patente citada en la descripción
 - Coronviridae. Cavanagh et al. Virus Taxonomy, 6th Report of the International Committee on Taxonomy of Viruses. Springer-Verlag Wein, 407-411 [0013]
 - **Pearson WR.** Rapid and sensitive sequence comparison with FASTP and FASTA. *Methods Enzymol.*, 1990, vol. 183, 63-98 **[0020]**
- Sambrook et al. Molecular Cloning, a Laboratory Manual. Cold Spring Harbor Laboratory Press, 2001 [0106]
 - Lu et al. J. Org. Chen., 1981, vol. 46, 3433 [0107]
 - Saiki et al. Science, 1988, vol. 239, 487-491 [0125]
 - Compton. Nature, 1991, vol. 350, 91-92 [0131]
- *AIDS,* 1993, vol. 7 (2), S108 **[0131]**
 - Walker et al. Nucl. Acids Res., 1992, vol. 20, 1691-1696 [0131]
 - Balaguer et al. Quantification of DNA sequences obtained by polymerase chain reaction using a bioluminescence adsorbent. *Anal. Bioclzem.*, 1991, vol. 195, 105-110 [0133]
 - **Dilesare et al.** A high-sensitivity electrochemiluminescence- based detection system for automated PCR product quantitation. *BioTechniques*, 1993, vol. 15, 152-157 **[0133]**
 - Saiki et al. Science, 1988, vol. 239, 487-491 [0145]
 - Cohen et al. Proc. Natl. Acad. Sci. USA, 1972, vol. 69, 2110 [0148]
 - Sambrook et al. Molecular Cloning, A Laboratory Manual. Cold Spring Harbor Laboratory, 2001 [0148]
 - Sherman et al. Methods In Yeast Genetics, A Laboratory Manual. Cold Spring Harbor, 1986 [0148]
- 30 Beggs. *Nature*, 1978, vol. 275, 104-109 [0148]
 - Luchansky et al. Mol. Microbiol., 1988, vol. 2, 637-646 [0150]
 - Becker; Guarente. Methods Enzyinol., 1990, vol. 194, 182 [0151]
 - Southern. J. Mol. Biol., 1975, vol. 98, 503 [0155]
 - Berent et al. Biotech., 1985, vol. 3, 208 [0155]
- Canine infectious tracheobronchitis, Short review: tos de perrera. **Appel, M.**; **Binn L.N.** Virus infections of carnivores. Elsevier Science Publishers, 1987, 201-211 [0249]
 - Bemis, D.A.; Carmichael, L.E.; Appel, M.J. Naturally occurring respiratory disease in a kennel caused by Bordetella bronchiseptica. *Cornell Vet.*, 1977, vol. 67, 282-93 [0249]
- Binn, L.N.; Alford, J. P.; Marchwicki, R. H.; Keefe, T.J.; Beattie, R. J.; Wall, H.G. Studies of respiratory disease in random-source laboratory dogs: viral infections in unconditioned dogs. *Lab Anim Sci.*, 1979, vol. 29, 48-52 [0249]
 - Binn, L. N.; Eddy, G. A.; Lazar, E. C.; Helms, J.; Murnane, T. Viruses recovered from laboratory dogs with respiratory disease. *Proc Soc Exp Biol Med*, 1967, vol. 126, 140-5 [0249]
 - Chilvers, M. A.; McKean, M.; Rutman, A.; Myint, B. S.; Silverman, M.; O'Callaghan, C. The effects of coronavirus on human nasal ciliated respiratory epithelium. *Eur Respir J.*, 2001, vol. 18, 965-70 [0249]
 - Ditchfield, J.; Macpherson, L. W.; Zbitnew, A. Association of a canine adenovirus (Toronto A 26/61) with an outbreak of laryngotracheitis ("kennel, cough"). *Can. Vet. Jour.*, 1962, vol. 3, 238-247 [0249]
 - Felsenstein, J. PHYLIP-Phylogeny Inference Package (Version 3.2c). *Cladistics*, 1989, vol. 5, 164-166 **[0249]**
- Ignjatovic, J.; Sapats, S. Avian infectious bronchitis virus. Rev Sci Tech., 2000, vol. 19, 493-508 [0249]
 Karpas, A.; King, N.W.; Garcia, F.G.; Calvo, F.; Cross, R.E. Canine tracheobronchitis: Isolation and characterization of the agent with experimental reproduction of the disease. Proc Soc Exp Biol Med., 1968,

vol. 127, 45-52 **[0249]**

- Keil, D.J.; Fenwick, B. Role of Bordetella bronchiseptica in infectious tracheobronchitis in dogs. *J Am Vet Med Assoc.*, 1998, vol. 15, 200-7 [0249]
- Lou, T.Y.; Wenner, H.A. Natural and experimental infection of dogs with reovirus, type1: pathogenicity of the strain for other animals. *Am.J.Hyg.*, 1963, vol. 77, 293-304 [0249] Makela, M.J.; Puhakka ,T.; Ruuskanen, O.; Leinonen, M.; Saikku, P.; Kimpimaki, M.; Blomqvist, S.; Hyypia, T.; Arstila, P. Viruses and bacteria in the etiology of the common cold. *J Clin Microbiol.*, 1998, vol. 36, 539-42 [0249]
- Page, R.D.M. Treeview: An application to display phylogenetic trees on personal computers. *Computer Applications in the Biosciences*, 1996, vol. 12, 357-358 **[0249]**
 - **Pearson WR.** Rapid and sensitive sequence comparison with FASTP and FASTA. *Methods Enzymol.*, 1990, vol. 183, 63-98 **[0249]**

ES 2 384 445 T3

- Pensaert M; Callebaut P; Vergote J. Isolation of a porcine respiratory, non-enteric coronavirus related to transmissible gastroenteritis. *Vet Q.*, July 1986, vol. 8 (3), 257-61 [0249]
- Randolph JF; Moise NS; Scarlett JM; Shin SJ; Blue JT; Bookbinder PR. Prevalence of mycoplasmal and ureaplasmal recovery from tracheobronchial lavages and prevalence of mycoplasmal recovery from pharyngeal swab specimens in dogs with or without pulmonary disease. *Am J Vet Res.*, March 1993, vol. 54 (3), 387-91 [0249]

5

10

- Spaan W; Cavanagh D; Horzinek MC. Coronavirus: structure and genome expression. *J Gen Virol.*, December 1988, vol. 69, 2939-52 [0249]
- Stephensen CB; Casebolt DB; Gangopadhyay NN. Phylogenetic analysis of a highly conserved región of the polymerase gene from 11 coronavirus and development of a consensus polymerase Caín reaction assay. Virus Res., April 1999, vol. 60 (2), 181-9 [0249]
- Storz J; PurdyCW; Lin X; BurrellM; Truax RE; Briggs RE; Frank GH; Loan RW. Isolation of respiratory bovine coronavirus, other cytocidal viruses, and Pasteurella spp from cattle involved in two natural outbreaks of shipping fever. *J Am Vet Med Assoc.*, 15 May 2000, vol. 216 (10), 1599-604 [0249]
- Tennant BJ; GaskellRM; JonesRC; Gaskell CJ. Studies on the epizootiology of canine coronavirus. *Vet Rec.*, 02 January 1993, vol. 132 (1), 7-11 [0249]
 - Thompson JD; Gibson TJ; Plewniak F; Jeanmougin F; Higgins DG. The Clusta1X windows interface: flexible strategies for multiple sequence alignment aided by quality analysis tools. *Nucleic Acids Res.*, 15 December 1997, vol. 25 (24), 4876-82 [0249]